



Universitatea
Transilvania
din Braşov

ŞCOALA DOCTORALĂ INTERDISCIPLINARĂ

Facultatea: Silvicultură și Exploatari Forestiere

Ing. Adrian-Cosmin GHIMBĂŞAN

POSSIBILITĂȚI DE OBȚINERE A PLANURILOR CADASTRALE PE
SUPRAFEȚE RESTRÂNSE FOLOSIND TEHNICILE
FOTOGRAMMETRIEI DIGITALE DE LA ÎNĂLȚIME DE ZBOR
MICĂ

POSSIBILITIES TO OBTAIN CADASTRAL PLANS FOR LIMITED
SURFACES USING DIGITAL PHOTOGRAMMETRIC
TECHNIQUES FROM LOW HEIGHT FLY

REZUMAT/ABSTRACT

Conducător științific

Prof.dr.ing. Iosif VOROVENCII

BRAȘOV, 2019

D-lui (D-nei)

COMPONENTA

Comisiei de doctorat

Numită prin ordinul Rectorului Universității Transilvania din Brașov

Nr. din

PREȘEDINTE:

Prof. univ. dr. ing. Stelian Alexandru BORZ
Prodecan Facultatea de Silvicultură și Exploatare
Forestiere
Universitatea *Transilvania* Brașov

CONDUCĂTOR ȘTIINȚIFIC:

Prof. univ. dr. ing. Iosif VOROVENCII
Universitatea *Transilvania* din Brașov

REFERENȚI:

Conf. univ. dr. ing. Adrian SAVU
Universitatea Tehnică de Construcții București
Cercet. șt. gr. I dr. ing. Dănuț CHIRA
Institutul Național de Cercetare Dezvoltare în Silvicultură
„Marin Drăcea”
Conf. univ. dr. ing. Cristian Cornel TEREȘNEU
Universitatea *Transilvania* din Brașov

Data, ora și locul susținerii publice a tezei de doctorat:

Data, ora, sala

Eventualele aprecieri sau observații asupra conținutului lucrării vă rugăm să le transmiteți în timp util, pe adresa ghimbasan.adrian.cosmin@unitbv.ro

Totodată vă invităm să luați parte la ședința publică de susținere a tezei de doctorat.

Vă mulțumim.

Prefață

Problema realizării cadastrului în România, ca obligație comunitară și problemă de interes național, este de actualitate datorită lipsei unei evidențe digitale complete a tuturor imobilelor de pe cuprinsul țării. Rezolvarea acesteia presupune demararea unor lucrări complexe, consumatoare de resurse economice și de timp, scopul fiind obținerea planului cadastral digital.

Dezvoltările din ultimele decenii ale tehnicii, tehnologiei și programelor de prelucrare au influențat pozitiv progresul din multe domenii de activitate, printre care se încadrează și tehnologia UAV, care a făcut un salt deosebit. Rezultatele folosirii UAV-urilor echipate cu camere digitale performante sunt spectaculoase, materializându-se în prima etapă în ortofotoplanuri care pot fi exploatate în vederea obținerii de planuri cadastrale cu o precizie ridicată. Astfel, utilizarea cele două tehnologii, UAV și *fotogrammetria digitală*, poate veni în sprijinul programelor derulate de ANCPPI în vederea înregistrării în sistemul integrat de cadastru și carte funciară a unui număr cât mai mare de imobile.

Realizarea cercetărilor și elaborarea tezei de doctorat care au subiectul legat de obținerea planurilor cadastrale pe suprafețe restrânse folosind tehnicile fotogrammetriei digitale de la înălțime de zbor mică au avut loc sub riguroasa îndrumare a coordonatorului științific prof. univ. dr. ing. Iosif VOROVENCII, căruia îi adresez întreaga mea recunoștință și sincere mulțumiri pentru îndrumare, ajutor, bunăvoință și disponibilitate acordate pe parcursul școlii doctorale, cât și la finalizarea și redactarea tezei de doctorat. Având în vedere că sunt primul doctorand îndrumat de distinsul profesor, sunt conștient de eforturile deosebite pe care dânsul le-a făcut pentru ca datele și informațiile cuprinse în teza de doctorat să se situeze la cel mai înalt nivel, iar pentru aceasta doresc să îl asigur de toată considerația și prețuirea mea.

Adresez domnilor prof. univ. dr. ing. Stelian Alexandru BORZ, conf. univ. dr. ing. Cornel Cristian TEREȘNEU și conf. univ. dr. ing. Irinel GREȘIȚĂ, în calitate de membri ai comisiei de îndrumare, respectuoase mulțumiri și alese sentimente de înaltă prețuire pentru profesionalism, ajutor și disponibilitate acordate pe parcursul studiilor doctorale și finalizării tezei.

Pentru efortul și răbdarea de a-mi analiza teza de doctorat, precum și pentru sugestiile și valoroasele recomandări, aduc mulțumiri referenților oficiali domnului conf. dr. ing. Cristian Cornel TEREȘNEU, domnului conf. dr. ing. Adrian SAVU și domnului cercet. șt. gr. I dr. ing. Dănuț CHIRA.

Calde mulțumiri aduc domnului prof. univ. dr. ing. Alexandru Ioan CURTU, decanul Facultății de silvicultură și exploatare forestiere din cadrul Universității Transilvania din Brașov, pentru condițiile asigurate pe tot parcursul pregătirii, începând cu anii studenției și până la finalizarea tezei de doctorat. De asemenea, mulțumesc tuturor cadrelor didactice din Departamentul de exploatare forestiere, amenajarea pădurilor și măsurători terestre ale acestei facultăți de prestigiu din țara noastră care au contribuit la dezvoltarea mea profesională și nu numai.

În final, dar nu în ultimul rând, îi îmbrățișez pe părinți și le mulțumesc pentru răbdarea și înțelegerea de care au dat dovadă, încurajările și susținerea permanentă în decursul acestor ani de muncă și sacrificii.

Așa cum orice lucrare nu poate fi înfăptuită fără ajutorul și îngăduința lui Dumnezeu, închei mulțumindu-I pentru sănătatea, puterea și ascultarea rugilor în momentele de cumpănă.

Brasov,
Iulie 2019

Autorul,

CUPRINS

pag.rezumat/pag. teză

TITLUL LUCRĂRII	I
FOAIE DE GARDĂ.....	II
PREFAȚĂ.....	III
CUPRINS.....	V
LISTA DE ABREVIERI	IX
I. INTRODUCERE	1/1
1.1. Evidența cadastrală în România.....	1/1
1.1.1. Aspecte generale	1/1
1.1.2. Cadastrul general	-/3
1.1.3. Publicitatea imobiliară	-/5
1.2. Cadrul legislativ și organizatoric. Fondul funciar al României.....	-/6
1.2.1. Cadrul legislativ și organizatoric	-/6
1.2.2. Fondul funciar al României	-/7
1.3. Planul cadastral clasic și planul cadastral digital	-/8
1.3.1. Aspecte generale	-/8
1.3.2. Conținutul planului cadastral de bază și de ansamblu.....	-/9
1.3.3. Planul cadastral digital	-/11
1.4. Stadiul actual al cunoștințelor privind evidențele cadastrale	2/12
1.4.1. Cadastrul și Publicitatea Imobiliară la nivel european.....	2/12
1.4.1.1. Aspecte generale	2/12
1.4.1.2. Sistemul de Cadastru și Publicitate Imobiliară din fostele țări URSS	-/15
1.4.1.3. Sistemul de Cadastru și Publicitate Imobiliară din Norvegia.....	-/18
1.4.1.4. Sistemul cadastral din Germania	-/20
1.4.2. Cadastrul și Publicitatea Imobiliară în România	3/22
1.4.2.1. Cadastrul românesc în perioada 1970 - 1989	3/22
1.4.2.2. Cadastrul și Publicitatea Imobiliară după anul 1989	3/24
II. SCOPUL, OBIECTIVELE ȘI METODELE DE CERCETARE.....	4/29
2.1. Scopul și obiectivele cercetărilor	4/29
2.1.1. Actualitatea temei	4/29
2.1.2. Scopul și obiectivele urmărite.....	5/30
2.2. Localizarea cercetărilor	5/30
2.3. Materile folosite	6/32
2.3.1. Aparatură utilizată.....	6/32
2.3.1.1. Instrumente folosite pentru determinările terestre	6/32
2.3.1.2. Tehnica UAV folosită la preluarea imaginilor digitale.....	6/35
2.3.1.3. Componenta hardware.....	8/36
2.3.2. Componentele software utilizate	8/37
2.4. Metode folosite	8/38
III.SISTEMELE UAV ÎN CULEGEREA DE DATE PENTRU LUCRĂRILE CADASTRALE.....	9/40
3.1. Aspecte generale.....	9/40
3.2. Tipuri de UAV.....	10/42
3.3. Echipamente și tipuri de senzori	-/46
3.3.1. Senzori de cartografiere.....	-/46
3.3.2. Sistemul integrat GNSS/IMU	-/51
3.4. Aplicațiile UAV-urilor în cadastru.....	13/56
IV.SISTEMELE GNSS ÎN LUCRĂRILE CADASTRALE	14/59
4.1. Generalități.....	14/59
4.2. Tipuri de sisteme satelitare	-/60
4.2.1. Sistemul NAVSTAR-GPS	-/60
4.2.2. Sistemul GLONASS	-/63
4.2.3. Sistemul Galileo	-/65
4.2.4. Sistemul Beidou	-/67
4.3. Metode de determinare a poziției cu ajutorul sistemului GNSS	-/68

4.3.1. Clasificarea metodelor de poziționare	-/68
4.3.2. Principii și metode de poziționare	-/69
4.3.2.1. Principiul de poziționare	-/69
4.3.2.2. Metode de poziționare	-/72
4.4. Rețeaua națională de stații GNSS.....	-/75
4.4.1. Necesitate și stadiul realizării	-/75
4.4.2. Rețeaua națională de stații permanente GNSS (RN-SGP).....	-/77
V. ÎNTOCMIREA PLANULUI CADASTRAL PENTRU INTRAVILANUL DIN ZONA TEST	
CRIZBAV.....	15/79
5.1. Aspecte generale.....	15/79
5.2. Culegerea datelor pe cale terestră	15/80
5.2.1. Realizarea rețelei de îndesire și de ridicare	15/80
5.2.2. Culegerea datelor folosind sistemul GNSS și stația totală	-/82
5.2.3. Calculul rețelei de ridicare.....	-/84
5.2.4. Ridicarea detaliilor	-/86
5.2.5. Redactarea planului pe baza datelor culese pe cale terestră	-/87
5.3. Realizarea reperajului fotogrammetric	16/88
5.3.1. Proiectarea și marcarea reperilor fotogrammetrici	16/88
5.3.2. Observații GNSS pentru determinarea poziției spațiale a reperilor	18/90
5.3.3. Analiza determinărilor GNSS	18/91
5.3.3.1. Analiza valorilor medii.....	18/91
5.3.3.2. Analiza diferențelor	21/95
5.4. Planificarea zborului și achiziționarea imaginilor cu UAV-ul.....	26/102
5.4.1. Planificarea zborului	26/102
5.4.2. Achiziționarea imaginilor aeriene	-/105
5.5. Prelucrarea imaginilor aeriene și întocmirea ortofotoplanurilor	28/106
5.5.1. Fluxul obținerii ortofotoplanului.....	28/106
5.5.2. Importul imaginilor aeriene.....	-/109
5.5.3. Orientarea imaginilor și calibrarea camerei	-/109
5.5.4. Identificarea structurilor invariante	-/111
5.5.5. Realizarea modelului digital al suprafeței și ortorectificarea imaginilor	-/112
5.5.6. Mozaicarea imaginilor ortorectificate.....	-/113
5.5.7. Obținerea ortofotoplanurilor pentru locația Crizbav.....	30/114
5.6. Analiza calității ortofotoplanurilor	32/119
5.7. Realizarea planului cadastral având ca suport ortofotoplanul.....	36/125
5.7.1. Întocmirea planului cadastral prin vectorizare.....	36/125
5.7.2. Identificarea și delimitarea categoriilor de folosință	-/128
5.7.3. Identificarea imobilelor	-/131
5.7.4. Posibilități în poziționarea construcțiilor.....	-/133
5.7.5. Compararea planului cadastral cu baza de date eTerra 3	37/135
5.7.5.1. Deplasări parțiale, totale și medii.....	37/135
5.7.5.2. Evaluarea suprafețelor prin vectorizare și corelarea cu deplasările totale	40/141
5.8. Concluzii	41/142
VI. ÎNTOCMIREA PLANULUI PARCELAR PENTRU FONDUL FORESTIER DIN ZONA TEST	
ȘINCA.....	42/145
6.1. Introducere	42/145
6.2. Culegerea datelor pe cale terestră	-/146
6.3. Proiectarea, marcarea și determinarea reperilor fotogrammetrici.....	43/148
6.4. Planificarea zborului și achiziționarea imaginilor cu UAV-ul.....	43/150
6.5. Prelucrarea imaginilor aeriene și întocmirea ortofotoplanurilor	44/152
6.6. Analiza calității ortofotoplanurilor	46/154
6.6.1. Analiza vizuală a calității ortofotoplanurilor	46/154
6.6.2. Analiza preciziei ortofotoplanurilor	46/157
6.7. Realizarea planului parcelar având ca suport ortofotoplanul	49/160
6.7.1. Întocmirea planului parcelar	49/160
6.7.2. Identificarea categoriilor de terenuri și delimitarea categoriilor de folosință	-/163
6.7.3. Compararea planului parcelar cu baza de date GIS din amenajamentul silvic.....	50/166
6.7.3.1. Deplasări parțiale, totale și medii.....	50/166
6.7.3.2. Identificarea și analiza suprafețelor	52/171
6.8. Concluzii	53/173
VII. CONCLUZII ȘI CONTRIBUȚII PERSONALE	54/175

7.1. Concluzii privind rezultatele obținute.....	54/175
7.2. Contribuții personale.....	55/179
BIBLIOGRAFIE	57/181
ANEXE	-/195
Anexa 1 - Raportul Agisoft Photoscan pentru UAT-ul Crizbav cu reperi fotogrammetrici	-/196
Anexa 2 - Raportul Agisoft Photoscan pentru UAT-ul Crizbav fără reperi fotogrammetrici	-/203
Anexa 3 - Extras din planul cadastral vectorizat	-/210
Anexa 4 - Raportul Agisoft Photoscan pentru UAT-ul Șinca fără reperi fotogrammetrici	-/211
Anexa 5 - Raportul Agisoft Photoscan pentru UAT-ul Șinca cu reperi fotogrammetrici	-/218
Anexa 6 - Extras din planul parcelar vectorizat	-/225
Summary	64/226
CURRICULUM VITAE	65/227

LISTA DE ABREVIERI

AACR - Autoritatea Aeronautică Civilă Română
AAT - Automatic Aerial Triangulation (Aerotriangulație automată)
AdV - Arbeitsgemeinschaft der Vermessungsverwaltungen der Länder der Bundesrepublik Deutschland (Asociația Administrațiilor de Monitorizare a Republicii Federale Germania)
AFIS® - Official geodetic points information system (Sistemul de informații oficial al punctelor geodezice)
ALB - Registrul automatizat
ALKIS® - Official Cadastral Information System (Sistemul de informații cadastral oficial)
ALKIS® - Bază de date topografice (în sistemul german)
ANCPI - Agenția Națională de Cadastru și Publicitate Imobiliară
APIA - Agenția de Plăți și Intervenții în Agricultură
ASIFT - Affin Scale Invariant Feature Transform (Transformarea invariantă afină a scării)
ATKIS® - Authoritative Topographic-Cartographic Information System (Sistemul informațional al autorității topo-cartografice)
BAA - Bundle Adjustment Algorithms (Algoritmi de compensare în bloc)
BCPI - Biroul de Cadastru și Publicitate Imobiliară
BIRD - Banca Internațională pentru Reconstrucție și Dezvoltare
BRIEF - Robust Independent Elementary Features (Transformarea invarianță robustă)
CNC - Centrul Național de Cartografie
CSOC - Consolidated Space Operations Center (Centrul consolidat al operațiunilor spațiale)
DMC - Digital Modular Camera (Cameră digitală modulară)
EGNOS - European Geostationary Navigation Overlay Service (Serviciul geostaționar mixt de navigare)
ESA - European Spatial Agency (Agenția spațială europeană)
ESRI - Environmental Systems Research Institute (Institutul de cercetări sistematice a mediului)
EUREF - Regional Reference Frame Sub-Commission for Europe (Codul de referință regional - subcomisia pentru Europa)
GCP - Ground Control Points (Reperi fotogrammetrici)
GIS - Geographic Information System (Sistem de informații geografice)
GLONASS - Globalnaya Navigacionnaya Sputnikovaya Sistema (Sistemul global de navigație pentru națiune)

GNSS - Global Navigation Satellite System (Sistemul global de navigație prin satelit)

GPS - Global Positioning System (Sistemul global de poziționare)

GPU - Graphics Processing Unit (Unitatea grafică de procesare)

GSD - Ground Sample Distance (Rezoluția spațială)

GSM - Global System for Mobile Communications (Sistemul global pentru comunicații mobile)

HDOP - Horizontal Dilution of Precision (Diluarea preciziei în plan orizontal)

HRMS - Horizontal Root Mean Square (Eroarea medie pătratică orizontală)

IGFCOT - Institutul de Geodezie, Fotogrametrie, Cartografie și Organizarea Teritoriului

IGS - International GPS Geodynamic Service (Serviciul internațional geodynamic GPS)

IMU - Inertial Measurement Unit (Unitatea inerțială de măsurare)

INSPIRE - Infrastructure for Spațial Informațion in Europe (Infrastructura pentru informații spațiale în Europa)

LiDAR - Light Detection And Ranging (Detectarea și măsurarea luminii)

LPIS - Land Parcel Identification System (Sistemul de identificare a parcelelor agricole)

MCA - Multiple Camera Array (Cameră multi-cadru)

MDS - Modelului Digital al Suprafeței

MDT - Modelul Digital al Terenului

MVS - Multi-Video Stereo

NAVSTAR - Navigational Satellite Timing and Ranging (Sistemul american de poziționare)

NGA - National Geospatial Intelligence Agency (Agenția națională geospațială)

NSDI - National Spatial Data Infrastructure (Infrastructura națională de date spațiale)

OCOTA - Oficiul de Cadastru și Organizarea Teritoriului Agricol

OCPI - Oficiul de Cadastru și Publicitate Imobiliară

ONCGC - Oficiului Național de Cadastru, Geodezie și Cartografie

PDOP - Position (3D) Dilution of Precision (Diluția 3D a preciziei)

PNCCF - Programul Național de Cadastru și Carte Funciară

ppm - părți per milion

RGNS - Rețeaua Geodezică Națională Spațială

ROMPOS - Romanian Position Determination System (Sistemul românesc de poziționare)

RMSE - Root Mean Square Error (Eroarea medie pătratică)

RTK - Real Time Kinematic (Determinări în timp real)

SAPOS® - Satellite Positioning Service of the German National Survey (Serviciul de poziționare german)

SfM - Structure from Motion (Structuri din mișcare)

SIFT - Scale Invariant Feature Transform (Transformarea invariant a scării)

SURF - Speeded Up Robust Features (Transformarea rapidă robustă)

TDA - Terenuri cu Destinație Agricolă

TDF - Terenuri cu Destinație Forestieră

TDH - Terenuri aflate permanent sub ape

TDI - Terenuri aflate în intravilan

TDS - Terenuri cu Destinație Specială

TIN - Triangulated Irregular Network (Rețeaua neregulată de triunghiuri)

UAT - Unitate Administrativ Teritorială

UAV - Unmanned Aerial Vehicle (Vehicul aerian fără pilot)

UE - Uniunea Europeană

URSS - Uniunea Republicilor Sovietice Socialiste

VDOP - Vertical Dilution of Precision (Diluarea preciziei în plan vertical)

VRMS - Vertical Root Mean Square (Eroarea medie pătratică în plan vertical)

VRS - Virtual Reference Station (Stații de referință virtual)

WGS 84 - World Geodetic System 1984 (Sistemul global geodezic 1984)

CONTENT

THESIS'S TITLE	I
FRONT PAGE	II
PREFACE.....	III
CONTENT	V
LIST OF ABBREVIATIONS.....	IX
I. INTRODUCTION	1/1
1.1. Cadastral evidence in Romania	1/1
1.1.1. General aspects	1/1
1.1.2. General Cadaster	-/3
1.1.3. Land Registry.....	-/5
1.2. Legal and organizational frame. Romanian Land Resources.....	-/6
1.2.1. Legal and organizational frame	-/6
1.2.2. Romanian Land Resources	-/7
1.3. Classical Cadastral Plan and Digital Cadastral Plan	-/8
1.3.1. General aspects	-/8
1.3.2. Content of Basic and General Cadastral Plan	-/9
1.3.3. P Digital Cadastral Plan.....	-/11
1.4. Present stage of knowledge regarding cadastral evidences.....	2/12
1.4.1. Cadaster and Land Registry at European level.....	2/12
1.4.1.1. General aspects	2/12
1.4.1.2. System of Cadaster and Land Registry in former Soviet countries	-/15
1.4.1.3. System of Cadaster and Land Registry in Norway.....	-/18
1.4.1.4. Cadastral System in Germany.....	-/20
1.4.2. Cadaster and Land Registry in Romania	3/22
1.4.2.1. Romanian Cadaster in the period 1970 - 1989	3/22
1.4.2.2. Cadaster and Land Registry after 1989.....	3/24
II. PURPOSE, OBJECTIVES AND RESEARCH METHODS	4/29
2.1. Purpose and research objectives.....	4/29
2.1.1. Present of subject.....	4/29
2.1.2. Purpose and objectives followed.....	5/30
2.2. Location of researches	5/30
2.3. Materials used	6/32
2.3.1. Equipment used	6/32
2.3.1.1. Instruments used for terrestrial determinations.....	6/32
2.3.1.2. UAV technique used for taking digital images.....	6/35
2.3.1.3. Hardware components	8/36
2.3.2. Software components used.....	8/37
2.4. Methods used.....	8/38
III.UAV SYSTEMS IN COLLECTING DATA FORCADASTRAL WORKS.....	9/40
3.1. General aspects	9/40
3.2. Types of UAV	10/42
3.3. Equipment and types of sensors	-/46
3.3.1. Mapping sensors	-/46
3.3.2. GNSS/IMU integrated system	-/51
3.4. UAV's applications in cadaster	13/56
IV.GNSS SYSTEMS IN CADASTRAL WORKS.....	14/59
4.1. General aspects	14/59
4.2. Types of Satellite Systems	-/60
4.2.1. NAVSTAR-GPS System.....	-/60
4.2.2. GLONASS System	-/63
4.2.3. Galileo System.....	-/65
4.2.4. Beidou System.....	-/67
4.3. Methods of determining the position using GNSS System	-/68
4.3.1. Classification of placement methods	-/68
4.3.2. Principles and methods of placement.....	-/69

4.3.2.1. Placement principle	-/69
4.3.2.2. Placement methods	-/72
4.4. National network of GNSS Stations	-/75
4.4.1. Necessity and stage of achievement	-/75
4.4.2. National Network of GNSS Permanent Stations GNSS (RN-SGP).....	-/77
V. MAKING THE ORTHOPHOTO FOR THE BUILD-UP RESEARCH AREA OF CRIZBAV	15/79
5.1. General aspects	15/79
5.2. Collecting data on terrestrial way	15/80
5.2.1. Making the thickening and development network	15/80
5.2.2. Collecting data using GNSS System and the Total Station.....	-/82
5.2.3. Determination of development network	-/84
5.2.4. Development of details	-/86
5.2.5. Making the plan based on data collected on terrestrial way.....	-/87
5.3. Making the photogrammetric register	16/88
5.3.1. Projecting and marking the ground control points	16/88
5.3.2. GNSS observations for determining the space position of ground points	18/90
5.3.3. Analysis of GNSS determinations	18/91
5.3.3.1. Analysis of average values.....	18/91
5.3.3.2. Analysis of differences.....	21/95
5.4. Planning the flight and taking images with UAV.....	26/102
5.4.1. Planning the flight	26/102
5.4.2. Taking aerial images	-/105
5.5. Processing the aerial images and making the orthophotos	28/106
5.5.1. The flux in obtaining the orthophoto	28/106
5.5.2. Import of aerial images	-/109
5.5.3. Orientation of images and camera calibration.....	-/109
5.5.4. Identification of invariant structures	-/111
5.5.5. Making the digital model of surface and orthorectification of images	-/112
5.5.6. Inlay of orthorectified images	-/113
5.5.7. Obtaining the orthophotos for Crizbav location.....	30/114
5.6. Analysis of orthophotos from the qualitative point of view	32/119
5.7. Making the cadastral plan based on the orthophoto	36/125
5.7.1. Making the cadastral plan by vectorization	36/125
5.7.2. Identification and determination of categories of use.....	-/128
5.7.3. Identification of real estate's.....	-/131
5.7.4. Possibilities for positioning the constructions.....	-/133
5.7.5. Comparing the cadastral plan with eTerra 3 database	37/135
5.7.5.1. Partial, total and average displacements	37/135
5.7.5.2. Assessment of surfaces by vectorization and correlation with total displacements ..	40/141
5.8. Conclusions.....	41/142
VI.MAKING THE PLOT PLAN FOR THE FORESTRY REAL ESTATES FROM THE STUDIED AREA	
 OF ŞINCA	42/145
6.1. Introduction.....	42/145
6.2. Collecting data on terrestrial way	-/146
6.3. Projecting, marking and determining the ground control points.....	43/148
6.4. Planning the flight and taking images with UAV.....	43/150
6.5. Processing the aerial images and making the orthophotos	44/152
6.6. Analysis of orthophotos from the qualitative point of view	46/154
6.6.1. Visual analysis of orthophotos from the qualitative point of view.....	46/154
6.6.2. Precision analysis of orthophotos	46/157
6.7. Making the plot plan based on the orthophoto	49/160
6.7.1. Making the plot plan.....	49/160
6.7.2. Identification of categories of lands and determination of categories of use	-/163
6.7.3. Comparing the plot plan with GIS database of working plan	50/166
6.7.3.1. Partial, total and average displacements	50/166
6.7.3.2. Identification and analysis of surfaces	52/171
6.8. Conclusions.....	53/173
VII. CONCLUSIONS AND PERSONAL CONTRIBUTIONS	54/175
7.1. Conclusions regarding the results obtained.....	54/175
7.2. Personal contributions.....	55/179
BIBLIOGRAPHY	57/181

ANNEXES	-/195
Annex 1 - Agisoft Photoscan Report for Crizbav Territorial and Administrative Division with ground control points.....	-/196
Annex 2 - Agisoft Photoscan Report for Crizbav Territorial and Administrative Division without ground control points	-/203
Annex 3 - Excerpt from the vectorized cadastral plan	-/210
Annex 4 - Agisoft Photoscan Report for Şınca Territorial and Administrative Division without ground control points.....	-/211
Annex 5 - Agisoft Photoscan Report for Şınca Territorial and Administrative Division with ground control points.....	-/218
Annex 6 - Excerpt from the vectorized plot plan	-/225
Summary	58/226
CURRICULUM VITAE.....	59/227

I. INTRODUCERE

1.1. Evidența cadastrală în România

1.1.1. Aspecte generale

Dezvoltarea demografică și economică a impus valorificarea terenurilor prin realizarea pe acestea de construcții destinate utilizării lor ca locuințe, spații de producție, care să răspundă cât mai fidel cerințelor umane, dar și ca edificii social-culturale, industriale, instalații de transport ș.a. Indiferent de categoria terenurilor și destinația construcțiilor, acestea reprezintă bunuri imobile de valoare în cadrul unui teritoriu administrativ, motiv pentru care este necesară înregistrarea acestora în vederea asigurării unei evidențe care să cuprindă constituirea dreptului de proprietate și posibilitatea transmiterii acestuia, stabilirea cuantumului taxelor și impozitelor echitabile ș.a. Realizarea unei asemenea evidențe presupune, în prezent, executarea a două categorii de lucrări complexe, legate organic între ele (Tămăioagă și Tămăioagă, 2008):

- *de cadastru*, ce urmăresc atât determinări cantitative, prin măsurători specifice, cât și calitative asupra imobilelor, inclusiv evaluarea lor;
- *de publicitate imobiliară*, respectiv înscrierea în registre publice a bunurilor *imobiliare* precum și a unor drepturi, acte și fapte juridice legate de constituirea, transmiterea sau stingerea acestor drepturi.

Această activitate de evidență a bunurilor imobile este absolut necesară pentru asigurarea unei bune desfășurări a unor relații economice libere, consolidate și concurențiale, dar și a organizării societății din punct de vedere al raporturilor sociale în cadrul tuturor statelor aparținente Uniunii Europene și nu numai (Boș, 2003a). Această evidență trebuie să vizeze totalitatea proprietăților funciare, atât în ceea ce privește starea materială a imobilelor din întregul fond funciar (mărime, calitate) cât și situația juridică a acestora.

Ca noțiune generală, cadastrul cuprinde totalitatea lucrărilor executate în vederea realizării unei evidențe actualizate a tuturor imobilelor (terenuri cu sau fără construcții) din cuprinsul țării (Boș, 2003a). Activitatea care presupune operarea tuturor modificărilor apărute în evidențele de cadastru este numită *întreținerea cadastrului* (Boș, 2003a). Întocmirea unei asemenea evidențe necesită desfășurarea unui complex de lucrări tehnice (măsurători topo-cadastrale), economice (evaluarea și bonitarea terenurilor) și juridice (închirierea de acte), care se concretizează în final printr-o documentație cadastrală - planuri și registre (Boș, 2003a).

Obiectivele principale ale sistemului modern de evidență funciară corespund activităților pe care le desfășoară, respectiv (Boș, 2003a):

- *furnizarea* de informații de ordin tehnic, economic și juridic referitoare la imobile;
- *opozabilitatea* drepturilor bazate pe documente de constituire sau modificare (transfer, stingere ș.a.) a acestor drepturi;
- *menținerea* sistemului de impozitare corectă și a pieței imobiliare;
- *garantarea* securității tranzacțiilor imobiliare și facilitarea creditului ipotecar.

Cadastrul și Publicitatea imobiliară constituie cele două componente de bază din structura evidenței cadastrale din țara noastră. Acestea asigură rolul tehnic și respectiv cel legislativ, conducând prin îmbinare la un sistem complet și unitar de o importanță deosebită: „Cadastrul și Cartea funciară formează un sistem unitar și obligatoriu de evidență tehnică, economică și juridică, de importanță națională, a tuturor imobilelor de pe întregul teritoriu al țării” (Legea 7/1996).

Deși se întrepătrund, activitățile celor două componente ale evidenței cadastrale urmăresc stabilirea unei conexiuni determinate de funcții clar definite, întrucât (Boș, 2003a):

- *cadastrul general* pune la dispoziție datele tehnice necesare întocmirii documentelor de publicitate imobiliară (identificatorul unic al parcelei, categoria de folosință, suprafața ș.a.);
- *publicitatea imobiliară* transmite cadastrului schimbările juridice intervenite spre a fi operate pe planuri și hărți.

În esență, obiectivul cadastrului și publicității imobiliare vizează prevenirea și rezolvarea unor posibile probleme precum cele legate de consituirea și apărarea dreptului de proprietate în fața instituțiilor de stat ca arbitru și garant al acestui drept, stabilirea taxelor și impozitelor în vigoare ș.a. Ambele instituții, atât cea a cadastrului cât și cea a publicității imobiliare, îmbină activități bine definite, fiind indispensabile unui stat modern, aspecte ce vor fi dezvoltate pe larg în capitolele viitoare.

1.4. Stadiul actual al cunoștințelor privind evidențele cadastrale

1.4.1. Cadastrul și Publicitatea Imobiliară la nivel european

1.4.1.1. Aspecte generale

Evoluția instituțională în domeniul cadastrului, serviciilor, precum și definiția cadastrului diferă de la o țară la alta datorită influenței culturii, istoriei și diferitelor motive sociale (EuroGeographics, 2011). În Europa Centrală și de Est, evidențele cadastrale prezentate sub forma bazelor GIS sunt recunoscute ca instrumente de susținere a registrului funciar și asigură drepturile de proprietate, precum și prosperitatea economică la nivel social, facilitând dezvoltarea durabilă (Remetey-Fülöpp, 2004).

În conformitate cu datele EuroGeographics, în Europa noțiunea de „cadastru” are mai multe funcții și cuprinde date legate de cadastru, dar și de „publicitate imobiliară”. Conținutul cadastrului în țările membre UE este mai mult sau mai puțin definit în legislația fiecărei țări. De asemenea, și procentul de înregistrare al imobilelor diferă de la o țară la alta (fig. 1.1), (EuroGeographics, 2011).

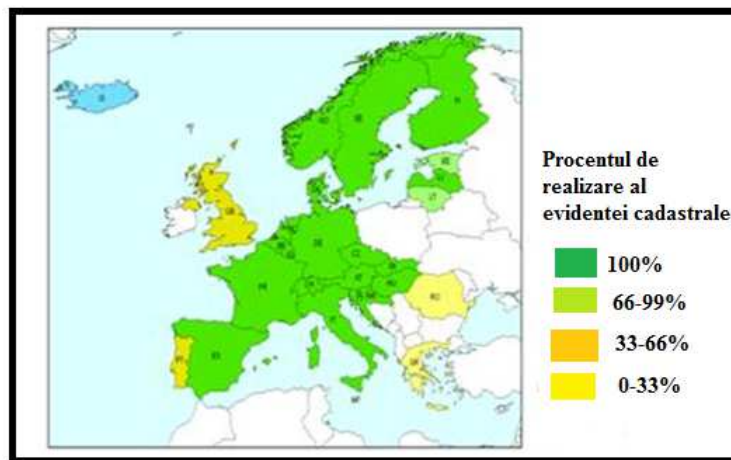


Fig. 1.1. Situația înregistrării imobilelor din Uniunea Europeană (EuroGeographics; PCC, 2007)
Situation of real estates registration in the European Union

În ceea ce privește sistemele informatice folosite la realizarea bazelor de date cadastrale, la nivel european predomină programele ESRI (Esri, 2011). Totodată, organizația EuroGeographics Cadastre, din cadrul rețelei de schimb a informațiilor legate de înregistrarea terenurilor, facilitează schimbul „celor mai bune practici” pentru a ajuta membrii săi să realizeze cadastrul și înregistrarea terenurilor în concordanță cu politicile UE (EuroGeographics, 2012a). Scopul este de a sprijini factorii de decizie ai organizațiilor membre EuroGeographics și a altor părți interesate în crearea unor infrastructuri eficiente de date spațiale (Eurogeographics, 2012b).

Majoritatea țărilor din UE și chiar țările nordice sau foste țări ale URSS au finalizat procesul de înregistrare al tuturor terenurilor, indiferent de destinația lor și sunt în etapa în care și-au canalizat resursele pentru întreținerea cadastrului și trecerea la cadastrul 3D. În acest sens, aceste țări au cunoscut o dezvoltare rapidă și consolidată, deoarece cunoașterea situației terenurilor a conferit deținătorilor drepturilor de proprietate încredere și siguranță în gestiunea proprietăților.

Actualmente, în țara noastră sunt înregistrate aproximativ 31% din totalul de imobile (martie 2019), un procent mic în comparație cu celelalte țări din UE sau din afara acesteia (www.ancpi.ro). Din această cauză este necesară cunoașterea modalităților prin care alte țări cu statut socio-economic asemănător țării noastre au reușit finalizarea lucrărilor cadastrale, dar și a modului de întreținere.

1.4.2. Cadastrul și Publicitatea Imobiliară în România

1.4.2.1. Cadastrul românesc în perioada 1970 - 1989

Metoda folosită pentru obținerea planurilor corespunzătoare anilor '80 a necesitat existența aparatelor de restituție cu ajutorul cărora s-a putut obține un stereomodel general constituit din succesiunea stereogramelor individuale legate între ele și între acestea și teren prin reperajul terestru de la capetele benzii de zbor (Chițea et al., 2003).

Operația de stereorestituție a presupus realizarea restituției planimetrice, fiecare detaliu fiind urmărit pe modelul optic cu marca stereoscopică. Elementele de altimetrie au fost redată prin curbe de nivel restituite una câte una (Rusu, 1974).

1.4.2.2. Cadastrul și Publicitatea Imobiliară după anul 1989

După anul 1989 s-au făcut încercări de obținere a unor produse cartografice la nivel național pe calea fotogrammetriei aeriene digitale. Una dintre aplicațiile aerofotogrammetriei digitale în agricultura din țara noastră o constituie programul „Recunoaște parcela” prin sistemul LPIS inițiat de ANCPI la cererea APIA. În cadrul acestui program s-au preluat imagini aeriene între anii 2003-2005 prin intermediul a 7 proiecte aerofotogrammetrice diferite.

În urma achiziționării de imagini s-au întocmit ortofotoplanuri digitale la scara 1:5000, cu rezoluția spațială de 0,5 metri, redactate în sistemul de proiecție Stereografic 1970 pe elipsoidul Krasovski și având o precizie de $\pm 1,5$ metri. Procentul de acoperire cu ortofotoplanuri a fost de 98,8% din fondul funciar al țării din care circa 97,0% sunt imagini ce au corespuns calitativ și circa 1,8% au fost returnate datorită calității slabe (Vorovencii, 2010). Din procentul de 1,8% o parte din acestea au fost reperlucrate iar pentru cealaltă parte s-a refăcut zborul în întregime și s-au prelucrat imaginile. Pentru procentul de 1,2% imaginile lipsesc.

Pe baza acestor planuri s-a făcut recunoașterea loturilor de teren folosite de fermierii români precum și controlul prin sondaje privind suprafețele declarate, control realizat prin măsurarea parcelelor utilizând tehnica GNSS. Deși realizate în scop agricol, aceste ortofotoplanuri au fost folosite și de ANCPI și OCPI-uri în perioada 2006-2007 când s-a introdus obligativitatea folosirii sistemului Stereografic 1970 în realizarea lucrărilor cadastrale.

În anii 2008, 2009, 2010, 2012, 2016 și 2018 s-au realizat alte ortofotoplanuri, dar care nu acoperă întreg teritoriul național. Ortofotoplanurile sunt folosite azi de către ANCPI și OCPI-urile aflate în subordine pentru localizarea și verificarea lucrărilor cadastrale întocmite de specialiștii din domeniu. Precizia acestora este din ce în ce mai bună, dar comparate între ele, prezintă unele diferențe datorită rezoluției spațiale și, probabil, a metodei de întocmire alese.

Necesitatea realizării și extinderii procesului de înregistrare a imobilelor este stringentă și din acest motiv țara noastră a făcut demersuri în perioada 2011-2013 pentru implementarea unui alt proiect denumit CESAR. Proiectul a avut drept scop restructurarea și revigorarea agriculturii la nivel național prin sprijinului financiar acordat de UE. În cadrul proiectului CESAR s-a avut în vedere realizarea cadastrului sistematic în 50 de UAT-uri distribuite pe tot cuprinsul țării. Dintre acestea numai 22 au fost finalizate la finele anului 2016, depășindu-se termenul cu 3 ani (www.ancpi.ro).

Ca o continuare a programului CESAR, datorită necesității urgente înregistrării imobilelor, a fost instituit PNCCF 2015-2023. Programul a fost implementat prin intermediul Legii cadastrului și publicității imobiliare nr 7/1996, republicată, și aprobat prin Hotărârea Guvernului nr. 294/2015.

Finanțarea programului se poate realiza folosind trei surse principale, iar acestea sunt: venituri proprii ale ANCPI, fonduri externe nerambursabile de la UE și alocări din bugetul UAT-urilor. Scopul programului este de a înregistra gratuit, în sistemul de cadastru și carte funciară, toate imobilele din țară (terenuri și construcții), până în anul 2023 (Hotărârea de Guvern 294/2015).

Efectiv, conform metodologiei din cadrul PNCCF lucrările de cadastru și înregistrare sistematică încep prin Ordin al directorului general al ANCPI și presupun parcurgerea unor etape de lucru clar stabilite în legislație, a căror finalitate este înscrierea în evidențele de cadastru a tuturor imobilelor, indiferent de felul sau natura proprietății. Conform informațiilor obținute de pe site-ul ANCPI, până acum s-a terminat introducerea cadastrului în 59 UAT-uri, iar pentru alte 179 UAT-uri lucrările sunt în curs de derulare. Astăzi, cadastrul din țara noastră este în situația în care 31% (martie 2019) din totalul de imobile sunt înregistrate în sistemul național de referință, având geometrie disponibilă în baza de date a ANCPI (§ 1.5.1.1).

Înregistrarea imobilelor în sistemul național de referință, prin intermediul cadastrului sistematic a fost posibilă din anul 2007 până în anul 2016 cu ajutorul platformei cunoscută sub denumirea de *eTerra 2* care a fost implementată la nivel național. Funcțiile acestei platforme permiteau inserarea poligoanelor ce defineau terenurile și construcțiile la care se puteau adăuga diferite date referitoare la suprafața din acte și măsurată, categoria de folosință, destinația construcțiilor, numărul de nivele ș.a. Din luna noiembrie a anului 2016 s-a trecut la înregistrarea imobilelor în sistemul național de referință prin intermediul platformei *eTerra 3*. Spre deosebire de *eTerra 2*, această versiune este superioară ca randament deoarece dă posibilitatea autorităților să lucreze direct pe serverul central al ANCPI, iar modificările care afectează imobilele pot fi vizualizate în timp real.

Necesitatea acestor două programe a fost motivată de obligativitatea țărilor care fac parte din UE să pună la dispoziția persoanelor interesate o bază de date comună, actualizată, referitoare la imobilele de pe cuprinsul țărilor. Directiva care face referire la aceste aspecte a fost adoptată în mai 2007 și este cunoscută sub numele de INSPIRE 2007/2/CE, constituind un eveniment important în UE (www.ancpi.ro). INSPIRE se bazează pe o infrastructură de date spațiale întreținută și actualizată de toate cele 27 de state membre ale UE. Infrastructura pusă la dispoziție cuprinde 34 de teme de date spațiale și reprezintă suportul necesar punerii în aplicare a politicilor de protecție a mediului (www.geoportal.ancpi.ro)

Una dintre cele mai utile aplicații realizată conform directivei INSPIRE este *Imobile eTerra*, aplicație cunoscută și sub numele de *geoportalul ANCPI*. Această aplicație permite tuturor utilizatorilor vizualizarea imobilelor care au geometrie înregistrată în sistemul național de referință Stereografic 1970, fără o logare prealabilă. Mai mult decât atât, aplicația permite și aflarea numărului cărții funciare și a numărului cadastral alocat în urma documentațiilor cadastrale întocmite de specialiștii din domeniu.

Alături de aceste realizări, o altă mare realizare din țara noastră a fost crearea rețelei ROMPOS. Rețeaua este formată din 73 de stații permanente de diferite categorii (A, B, C și D) care oferă corecții în timp real în vederea determinării directe pe teren a coordonatelor punctelor direct în sistemul național de referință folosind tehnica GNSS, metoda RTK. Accesul la serviciile ROMPOS nu mai sunt gratuite din luna martie a anului 2019, furnizarea corecțiilor către receptoarele echipamentelor GNSS făcându-se pe baza unui abonament lunar sau anual (www.ancpi.ro).

II. SCOPUL, OBIECTIVELE ȘI METODELE DE CERCETARE

2.1. Scopul și obiectivele cercetărilor

2.1.1. Actualitatea temei

Actualmente, în țara noastră, sistemul de evidență bazat pe cadastru și publicitatea imobiliară nu răspunde cerințelor comparativ cu standardele internaționale, datorită utilizării de către acestea a unor baze de date neunitare și incomplete. Standardele internaționale din domeniul cadastrului și publicității imobiliare se referă la existența unei baze de date complete și unitare a tuturor imobilelor care să cuprindă geometria acestora definită prin coordonate și date descriptive. Deocamdată, la noi, nu există o astfel de bază de date finalizată, puține imobile având geometrie înregistrată.

Toate aceste neajunsuri pot fi eliminate prin operațiunea de introducere a cadastrului general, care presupune un ansamblu de lucrări de anvergură la nivel național efectuate cu ajutorul unor echipamente cu randament superior, precum și personal calificat. Deși demersurile făcute până în prezent în acest sens sunt relativ reduse, trebuie ținut seama de faptul că întârzierea introducerii cadastrului la nivel național conduce la efecte negative atât pentru sectoarele economice și sociale, cât și pentru alinierea noastră la standardele evidențelor deja existente în UE (Ghimbășan, 2013a). În prezent nu se poate imagina un regim democratic performant, o economie modernă și dinamică, dar mai ales un stat de drept consolidat fără un sistem eficient de cadastru și publicitate imobiliară, care să garanteze dreptul de proprietate înscris în Constituție.

Prin programul elaborat de ANCPI (§ 1.4.2.2.) s-au început demersurile pentru implementarea cadastrului pentru o serie de UAT-uri, iar în cazul localităților care nu se încadrează în criteriile stabilite, a fost propusă realizarea cadastrului general exclusiv în extravilanul localităților, pe sectoare cadastrale (Ordonanța de Urgență 35/2016). Această abordare diferențiată, pentru care nu există norme clare de implementare, precum și lipsa unei metodologii de soluționare a situațiilor generate de starea de fapt a cadastrului din țara noastră, necesită implicarea și folosirea noilor tehnologii (GNSS, stații totale, fotogrammetrie digitală) în colectarea de date geospațiale pentru toate imobilele de pe cuprinsul țării.

2.1.2. Scopul și obiectivele urmărite

Scopul cercetărilor constă în stabilirea posibilităților de utilizare a tehnicii UAV la culegerea de date geospațiale și a fotogrammetriei digitale în prelucrarea imaginilor, în vederea întocmirii de planuri cadastrale pentru terenurile din fondul forestier și din intravilanul localităților rurale. Dată fiind diversitatea situațiilor existente la noi în țară, s-a ales spre studiere cea mai complexă problemă din zona extensivă, acesta fiind dată de fondul forestier.

Obiectivul principal al tezei este întocmirea de planuri cadastrale pe suprafețe restrânse care să folosească la realizarea cadastrului terenurilor din fondul forestier și din intravilanul localităților rurale, având ca suport ortofotoplanurile digitale, utilizând cele două tehnologii de vârf din domeniu, UAV și fotogrammetria digitală, care să respecte, dar să și vină în sprijinul programelor actuale derulate de ANPI în vederea înregistrării în baza de date națională a unui număr cât mai mare de imobile.

Obiectivele specifice ale cercetărilor se referă, în principal, la:

1. Stabilirea unei variante de lucru legată de achiziționarea datelor în teren prin intermediul tehnicilor terestre (stație totală și GNSS) și aeriene (UAV) folosite la întocmirea ortofotoplanurilor;
2. Obținerea ortofotoplanurilor cu rezoluție ridicată pe suprafețe restrânse, ca suport pentru întocmirea planurilor cadastrale, și analizarea preciziei acestora;
3. Exploatarea ortofotoplanurilor în scopul obținerii planurilor cadastrale și parcelare;
4. Analiza calității planurilor cadastrale și parcelare întocmite și compararea cu bazele de date oficiale.

2.2. Localizarea cercetărilor

Având în vedere scopul și obiectivele lucrării au fost alese două locații, urmându-se ca fiecare dintre ele să satisfacă următoarele cerințe: să facă parte din fondul forestier și din intravilanul unei localități rurale; să existe date oficiale cu care să poată fi comparate rezultatele obținute din cercetări; să fie reprezentative din punctul de vedere al amplasării suprafețelor, tipului de teren, detaliilor planimetrice ș.a. și cîte o locație aleasă a necesitat întocmirea de produse cartografice diferite și anume plan cadastral și plan arhitectural.

Pentru întocmirea planului cadastral digital din intravilanul localității, zona luată în studiu se găsește între $45^{\circ} 48' 50''$ și $45^{\circ} 48' 5''$ latitudine nordică și $25^{\circ} 28' 07''$ și $25^{\circ} 28' 37''$ longitudine estică și face parte din UAT Crizbav din județul Brașov (fig. 2.1). În această zonă au fost realizate și recepționate lucrări de cadastru prin programul CESAR, aceste date constituind referințe pentru rezultatele cercetărilor. Zona cuprinde strada principală și imobilele care au ieșire în această stradă aflate de o parte și de alta a străzii. În total s-au cules date de pe o suprafață de aproximativ 72 ha, în care s-au ales pentru studiu aproximativ 100 imobile pe care se regăsesc circa 300 construcții cu diferite destinații.

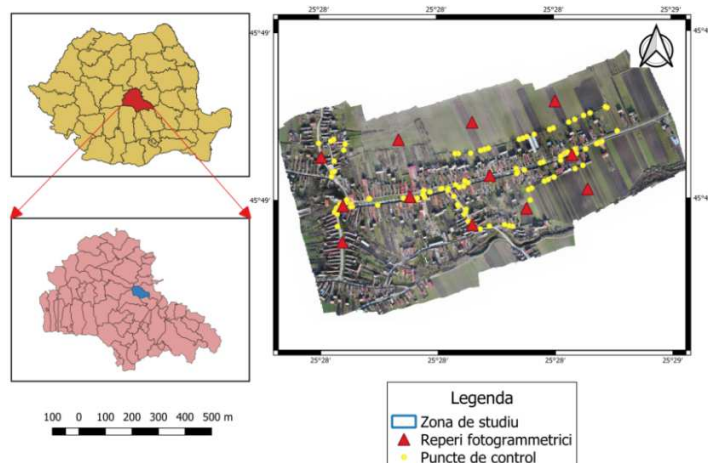


Fig. 2.1. Localizarea cercetărilor pentru locația în UAT Crizbav
Localization for the researches within UAT Crizbav

Pentru realizarea planului parcelar digital s-a ales o suprafață de studiu de aproximativ 131 ha localizată între 45° 46' 28" și 45° 45' 57" latitudine nordică, respectiv 25° 16' 32" și 25° 16' 7" longitudine estică. Zona cuprinde suprafețe din fondul forestier, dar și din fondul agricol care se află pe teritoriul UAT Șinca (fig.2.2). Terenul cu destinație forestieră face parte din unitatea de producție I Mîra Perșani, unitatea amenajistică 88, arboretul fiind alcătuit din amestecuri de fâgete cu carpen. Terenurile cu destinație agricolă fac parte din tarlăua 46 și au categoria de folosință pășune, cele mai multe dintre acestea fiind delimitate de liziera pădurii care delimitează natural aceste suprafețe.

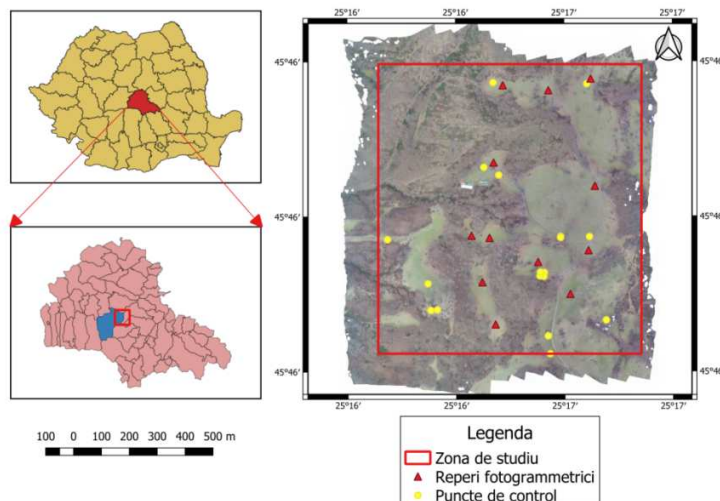


Fig. 2.2. Localizarea cercetărilor din UAT Șinca
Researches localization within UAT Șinca

2.3. Materiale folosite

2.3.1. Aparatură utilizată

2.3.1.1. Instrumente folosite pentru determinările terestre

Tehnica de poziționare GNSS s-a folosit la determinarea coordonatelor reperelor fotogrammetrici și a punctelor rețelei de îndesire. Determinările au fost realizate cu un receptor GNSS AS TECH PROMARK 800, care permite determinarea poziției spațiale a unui punct de interes folosind metoda statică sau metoda RTK. Sistemul asigură poziționarea rapidă cu o precizie ridicată în funcție de metoda de lucru, condițiile și de numărul de stații de referință la care se conectează sistemul, având diferite caracteristici tehnice (www.spectaprecision.com).

Realizarea rețelei de ridicare și măsurarea detaliilor s-a făcut cu ajutorul stației totale din seria Leica TCR, folosindu-se în timpul lucrului echipament auxiliar (trepied, prisme ș.a.) (fig. 2.4). Modelul folosit a fost Leica TCR 410C, care face parte dintr-o clasă superioară și asigură o precizie de $\pm 2''$ la măsurarea unghiurilor și de $\pm 5\text{mm} + \text{ppm}$ pentru distanțe. Specificațiile tehnice ale aparatului utilizat sunt reduse de caracteristicile constructive performante, (www.leica-geosystems.com).

2.3.1.2. Tehnica UAV folosită la preluarea imaginilor digitale

Pentru preluarea imaginilor aeriene s-a utilizat un vehicul aerian fără pilot de tip UAV DJI Phantom 4 PRO, echipat cu senzori de poziționare (GNSS și unitate inerțială de navigație IMU) și cu senzori de cartografiere (cameră aerofoto-digitală) (fig. 2.5), (tab. 2.3). Acesta este un quadcopter care are capacitate autonomă de zbor, putând fi controlat manual la decolare și aterizare, prin control radio; la altitudinea de zbor este controlat în mod automat de sistemul GNSS.

Phantom 4 PRO este echipat cu un sistem GNSS cu semnalul în simplă frecvență (L1) și asigură o precizie estimată între 5-10 m. Cu ajutorul sistemului GNSS s-au determinat coordonatele centrelor de perspectivă (X, Y, Z) ale imaginilor aeriene, iar cu unitatea IMU s-au stabilit unghiurile pentru cele trei axe (ω - unghiul de înclinare

pe axa X, φ - unghiul de înclinare pe axa Y și k - unghiul de rotire pe axa Z). Astfel, după realizarea zborului au fost cunoscute pozițiile centrelor de perspectivă ale imaginilor și înclinările fiecărei imagini din momentul preluării lor.



Fig. 2.5. UAV-ul DJI Phantom 4 PRO și cu dotările acestuia
UAV DJI Phantom 4 PRO with its facilities

Alte caracteristici ale UAV-ului și camerei digitale folosite sunt prezentate în tabelul 2.3.

Tabelul 2.3. Caracteristicile UAV-ului și ale camerei digitale (www.dji.com)
UAV's and digital cameras features

Caracteristici	Observații
Altitudine maximă de zbor	6000 m (limitată la 300 m)
Distanța de zbor maximă	5 Km
Timp maxim de zbor	28 minute
Viteza maximă de zbor	20 m/s
Senzori disponibili	GNSS/ Accelerometru / Barometru / Giroscop / Stabilizare
Rezoluție în sistem fotografic	4000x3000
Rezoluție în sistem video	UHD: 4096x2160 (4K) 24 / 25p 3840x2160 (4K) 24 / 25 / 30p 2704x1520 (2.7K) 24 / 25 / 30p FHD: 1920x1080 24 / 25 / 30 / 48 / 50 / 60 / 120p HD: 1280x720 24 / 25 / 30 / 48 / 50 / 60p
Senzor video	1/2.3" Pixeli efectivi:12 M
Lentile	FOV 94° 20 mm (40 mm format echivalent) f/2.8 focus la ∞
Sistem de stabilizare	DJI 3-axe
Tip GNSS	NAVSTAR/GLONASS
Sistemul Smart Return Home	Oferă UAV-ului siguranța de întorcere și evitarea oricărui obstacol ce îi apare în direcția de zbor
Comunicare	FCC Compliant: 3.1 mi (5 km); CE Compliant: 2.2 mi (3.5 km) (fără obstacole și interferențe)
Capacitatea bateriei	5350 mAh

2.3.1.3. Componenta hardware

Pentru prelucrarea imaginilor digitale și întocmirea ortofotoplanurilor s-a folosit un calculator cu un procesor foarte puternic, care a permis procesarea cantității mari de informație conținută în imaginile digitale. Principalele caracteristici ale calculatorului sunt: două procesoare *Intel Xeon E5 2.10GHz*, două plăci video *3071MB NVIDIA GeForce GTX 780* și RAM-ul de *64 GB DDR3, 802MHz*

În vederea realizării planurilor cadastrale, efectuării analizelor și elaborării tezei s-a folosit un laptop cu următoarele specificații: 4GB RAM DDR3, procesor i5-6200U de 2.3 GHz, 2.4 GHz, placa video Intel(R) HD Graphics 520, placa de bază LENOVO 80MX.

2.3.2. Componentele software utilizate

Folosirea aparaturii moderne în preluarea datelor din teren a condus, implicit, la utilizarea programelor cu care a fost dotată aceasta, dar și programe pentru prelucrare. În acest sens, având în vedere operațiile realizate au fost folosite următoarele programe:

1. Descărcarea datelor din receptorul ASHTECH PROMARK 800 s-a făcut cu ajutorul programului *Mobile Device*.
2. Descărcarea datelor din stația totală s-a realizat cu programul *Leica Geo Office*, iar compensarea drumurilor s-a făcut cu *Toposys*.
3. Editarea datelor s-a realizat cu ajutorul programului *AutoCAD 2006*, un program specializat care înglobează toate funcțiile necesare realizării produselor cartografice.
4. Planificarea zborului cu ajutorul UAV-ului și preluarea imaginilor digitale s-a realizat cu programul *PIX 4D*.
5. Obținerea ortofotoplanului pe baza imaginilor digitale s-a realizat cu programul *Agisoft Photoscan* specializat în prelucrarea imaginilor pentru obținerea modelelor tridimensionale și a produselor ortorectificate. Agisoft Photoscan este un program de modelare 3D bazată pe imagini, utilizat pentru crearea de structuri 3D profesionale și de calitate. Fundamentat pe tehnologia de vârf, de reconstrucție 3D din mai multe imagini, acest produs folosește imagini preluate pe cale aeriană (sau terestră), fiind eficient atât în condiții controlate de utilizator, cât și în condiții necontrolate (www.agisoft.com).
6. Prelucrarea și transformarea produselor obținute cu ajutorul Agisoft Photoscan în alte produse mai ușor de manevrat s-a realizat folosind programul *Global Mapper*.

2.4. Metode folosite

Metodologia de lucru care implică utilizarea tehnologiilor menționate (GNSS, stația totală, UAV) a presupus parcurgerea următoarelor etape:

- *recunoașterea suprafețelor de teren* luate în studiu;
- *stabilirea numărului și amplasamentului* reperilor fotogrammetrici;
- *efectuarea de observații GNSS* asupra reperilor fotogrammetrici;
- *efectuarea de observații GNSS* pentru punctele care servesc ca rețea de sprijin;
- *realizarea de măsurători* cu ajutorul stației totale;
- *preluarea imaginilor digitale* folosind UAV-ul echipat cu cameră digitală;
- *întocmirea ortofotoplanurilor* pentru cele două zone studiate;
- *verificarea preciziei* ortofotoplanurilor;
- *obținerea planului cadastral* pentru imobilele din intravilanul localității rurale;
- *obținerea planului parcelar* pentru terenurile din fondul forestier;
- *analiza principalilor factori* care condiționează precizia ortofotoplanurilor.

În vederea atingerii scopului și obiectivelor enunțate s-a apelat la următoarele metode:

- ridicări aerofotogrammetrice realizate cu tehnica UAV;
- determinări cu tehnica GNSS prin folosirea procedurii RTK cu conectarea la o singură stație de referință și modul VRS;
- ridicări terestre prin realizarea de drumuri combinate cu radieri;
- prelucrarea determinărilor GNSS, a imaginilor digitale preluate prin tehnica UAV și a măsurătorilor terestre prin folosirea unor programelor specializate (§ 2.3.2);

- statistice, în vederea analizării datelor culese.
- analiza datelor și interpretarea rezultatelor în vederea stabilirii unor concluzii obiective asupra elementelor urmărite.

Schema de desfășurare a lucrărilor care înglobează cele două tehnici de colectare a datelor geospațiale, măsurătorile terestre și fotogrammetria aeriană, este prezentată în figura 2.6.

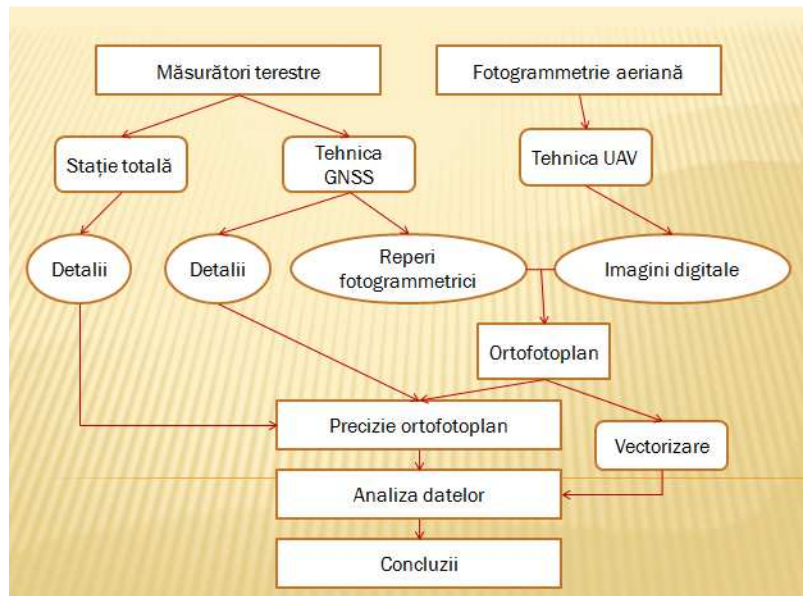


Fig. 2.6. Schema de desfășurare a lucrărilor din UAT-ul Șinca și UAT-ul Crizbav
Development scheme of works from UAT Șinca and UAT Crizbav

Lucrările s-au desfășurat plecând de la RGNS, cu ajutorul căreia s-au determinat coordonatele reperilor fotogrammetrici care au fost folosiți și ca puncte ale rețelei de îndesire. Pe baza rețelei de îndesire s-a realizat, în continuare, rețeaua de ridicare, constituită din drumuri care să permită ridicarea detaliilor.

Pentru determinarea coordonatelor reperilor fotogrammetrici și îndesirea rețelei de sprijin s-a folosit metoda de măsurare RTK. Această metodă oferă precizii apropiate de cea statică, coordonatele fiind determinate în timp real direct în Stereografic 1970. Metoda este destul de folosită, necesită timpi de observație scurți, precizia este ridicată, existând numeroase servicii dezvoltate în multe țări care vin în sprijinul utilizatorilor acestei metode. Aceste servicii furnizează corecții în timp real prin radio sau folosind un sistem global pentru comunicații mobile GSM.

III. SISTEMELE UAV ÎN CULEGEREA DE DATE PENTRU LUCRĂRILE CADASTRALE

3.1. Aspecte generale

Dezvoltarea economiei are loc într-un mod continuu și alert, necesitând utilizarea de noi produse și tehnologii pentru a răspunde nevoilor și cerințelor umane legate de cadastru și urbanism. Această dezvoltare tehnologică este simțită din ce în ce mai mult și în domeniul cadastrului, în special la culegerea datelor geo-spațiale. Astfel, aeronavele ușoare de tipul UAV-urilor au început să fie utilizate din ce în ce mai mult în lume în scopuri de cartografiere, deoarece zborul este complet autonom și permite preluarea de imagini din zona studiată în mod automat. Costul redus și fezabilitatea zborului automat pot fi considerate ca fiind principalele avantaje ale acestei tehnologii în aplicațiile fotogrammetrice. Dacă UAV-urile dispun și de sistemul GNSS/IMU imaginile pot fi preluate conform unui proiect de zbor prestabilit și pot fi determinați direct parametrii de orientare exterioară (X, Y, Z, ω , ϕ , k) ai centrului de perspectivă. În tot mai multe studii realizate există tendința folosirii UAV-urilor în detrimentul platformelor aeriene clasice datorită avantajelor aduse de costuri și precizie comparabilă.

Deși au multe avantaje, UAV-urile nu înlocuiesc în întregime aeronavele tradiționale folosite în scopuri fotogrammetrice. Astfel, în cazul în care se dorește studierea unei suprafețe întinse de teren este recomandată

folosirea platformelor aeriene dotate cu camere metrice. Aceste platforme pot fi echipate cu diverși senzori de cartografiere printre care și LiDAR, care permit achiziționarea de date geospațiale ce pot fi folosite la obținerea modelului digital al suprafeței (Ghimbășan et al., 2013b; Ghimbășan et al., 2015). În general, principalele neajunsuri ale folosirii aeronavelor clasice sunt legate de: dificultăți în a obține autorizația de zbor, stabilitatea platformei datorită înălțimii mari de zbor, siguranța zborurilor, stabilitatea configurației blocului de imagini (Grața et al., 2014).

Începutul fotogrammetriei aeriene a fost făcut prin folosirea baloanelor, considerate cele mai vechi platforme de observare aeriană. În acest sens vin în sprijin fotografiile aeriene preluate deasupra Parisului în 1858 de Tournachon de la bordul unui balon cu aer cald. Mai târziu, datorită simplificării tehnologiei camerei de fotografiere, în privința reducerii greutateii și mărimii, s-au folosit alte mijloace, cum ar fi zmeele (utilizat de meteorologul englez E.D Archibald în 1882) și rachetele (utilizate de către inventatorul suedez Alfred Nobel în 1897) pentru a realiza fotografii aeriene.

De atunci și până în prezent, platformele cu aripi fixe sau rotative, cu un singur sau mai multe rotoare, pilotate de la distanță sau autonome, au fost folosite ca UAV-uri în scopuri fotogrammetrice. Dintre acestea, cele pilotate de la distanță sau autonome au deschis cu adevărat calea folosirii ulterioare a acestora în fotogrammetrie.

În prezent, utilizarea UAV-urilor în fotogrammetrie este în curs de dezvoltare, iar cele mai multe informații cu privire la noile progrese și descoperiri din domeniu vin de la rezultatele publicate de principalele centre de cercetare din întreaga lume. De exemplu, Colomina și Molina (2014) descriu evoluția și stadiul tehnicii sistemelor aeriene fără pilot din domeniul fotogrammetriei și teledetecției cu accent pe reglementări, sisteme de achiziție, de navigare și orientare.

3.2. Tipuri de UAV

UAV-urile folosite în lume sunt de construcții diferite și pot îndeplini multiple sarcini, în funcție de scopul urmărit. Acestea pot fi clasificate după tipul tipul aripilor folosite la ascensiune și deplasare. Astfel, UAV-urile pot fi: (1) uni-rotor, (2) multi-rotor, (3) cu aripă fixă și (4) cu aripă fixă hibrid.

UAV-ul uni-rotor, mai puțin răspândit, folosește un singur rotor pentru zbor și un rotor pentru a controla direcția (fig. 3.1). Acestea sunt asimilate elicopterelor cu echipaj. Un elicopter cu un singur rotor beneficiază de o eficiență mult mai mare față de un multi-rotor deoarece poate fi alimentat de un motor cu ardere internă, aspect care îi poate prelungi considerabil durata de zbor. Sistemul este mai eficient decât un UAV multi-rotor dacă lama rotorului este mai mare și se rotește mai lent. În plus, pot transporta încărcături grele pe distanțe destul de lungi (de ex. un scanner laser LiDAR) și au o rezistență îndelungată la utilizare. Dezavantajele acestui tip de UAV sunt legate de complexitatea sistemului, costul mai ridicat de producție și mentenanță.



Fig. 3.1. Tipuri de UAV-uri uni-rotor realizate în diferite forme constructoare
Types of unicopter UAV made in different construction forms

UAV-urile multi-rotor sunt cele care folosesc două sau mai multe elice pentru ascensiune și deplasare (fig. 3.2). Din categoria UAV-urilor multi-rotor face parte și UAV-ul folosit în prezenta cercetare. Ele sunt folosite la obținerea imaginilor digitale într-o perioadă de timp scurtă și pe suprafețe mai mici. Utilizarea unor astfel de aparate

constituie cea mai simplă și ușoară opțiune pentru a avea un “ochi în cer”, deoarece oferă un control sporit asupra detaliului înregistrat fiind de preferat pentru scopuri cartografice. De asemenea, pot fi folosite la urmărirea comportării în timp a construcțiilor cu destinație specială. Mai mult, pot fi lansate și aduse la aterizare foarte ușor, nefiind necesare dispozitive speciale.

Dezavantajele UAV-urilor multi-rotor sunt rezistența și viteza limitată, ceea ce le face nepotrivite pentru cartografiere aeriană pe suprafețe mari sau monitorizare și inspecție pe distanțe lungi, cum ar fi cazul conductelor, drumurilor și liniilor electrice. De asemenea, aceste tipuri de UAV-uri necesită un consum mare de energie. În aceste condiții zborul este limitat la aproximativ 20-30 de minute, UAV-ul fiind dotat cu o cameră digitală.

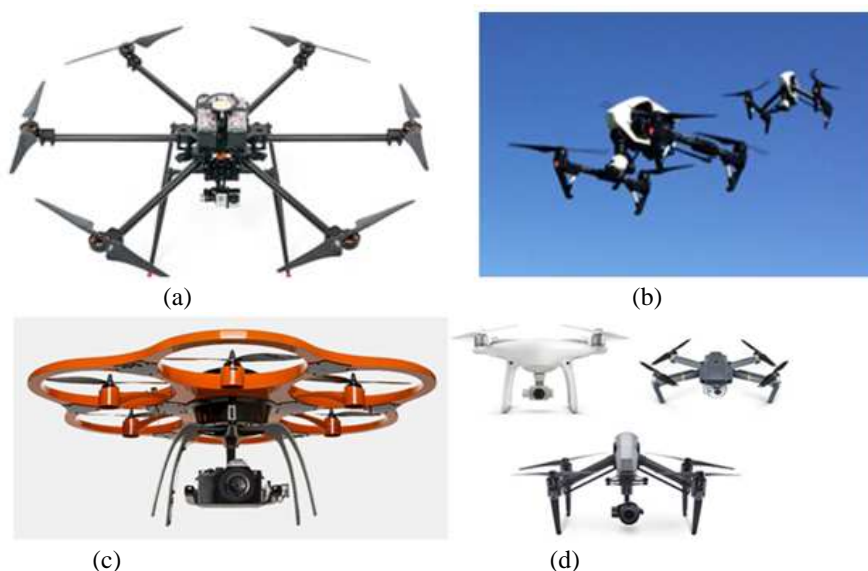


Fig. 3.2. Tipuri de UAV-uri multi-rotor cu camere digitale fotogrammetrice:

a, c – hexacopter; b, d – quadcopter;

Types of multi-rotor UAVs with photogrammetric digital cameras:

a, c – hexacopter; b, d – quadcopter;

UAV-urile cu aripă fixă, spre deosebire de cele cu aripile rotative, utilizează o aripă pentru a permite ascensiunea și deplasarea (fig. 3.3). Din acest motiv, ele folosesc energia doar pentru a avansa, nu și pentru a se menține în aer, aspect la care UAV-urile uni-rotor sau multi-rotor sunt în dezavantaj. Ca atare, acest tip de UAV poate să acopere distanțe mai lungi și, implicit, suprafețe mai mari. În plus, se pot folosi ca sursă de alimentare și motoarele cu ardere internă, putând astfel să rămână în aer timp de 16 ore sau chiar mai mult.

Principalul dezavantaj al unui UAV cu aripă fixă este incapacitatea lui de a zbura la punct fix. De asemenea, lansarea și aterizarea sunt mult mai dificile deoarece, în funcție de mărimea acestora, este nevoie de un sistem de lansare special pentru a le trimite în aer și o pistă, o parașută sau o plasă pentru a le recupera în siguranță. Alte dezavantaje sunt legate de costul mai mare și de greutatea privind controlul în timpul zborului datorită vitezei ridicate.



Fig. 3.3 Tipuri de UAV-uri cu aripă fixă:

a – eBee; b – Threed;

Types of UAVs with fixed wing:

a – eBee; b – Threed;

UAV-urile cu aripă hibridă, îmbină cele două tehnologii, adică aripă fixă cu multi-rotor (fig. 3.4). Acestea permit decolarea și aterizarea pe verticală, zborul la punct fix și zborul pe distanțe și suprafețe mari. De asemenea, au capacitate ridicată de transport putând fi dotate cu senzori de dimensiuni mai mari și cu greutate mai ridicată.



Fig. 3.4. UAV-uri hibride cu aripă fixă
Hybrid UAVs with fixed wing

O altă clasificare a UAV-urilor se poate realiza după altitudinea de zbor, raza de acțiune și încărcătura utilă. În acest sens, UAV-urile se pot împărți în următoarele categorii (fig. 3.5): mini UAV (MUAV), UAV tactic (TUAV), UAV cu decolare/aterizare verticală (VTOL), UAV de altitudine medie/rază mare de acțiune (MALE), UAV de altitudine înaltă/rază mare de acțiune (HALE).

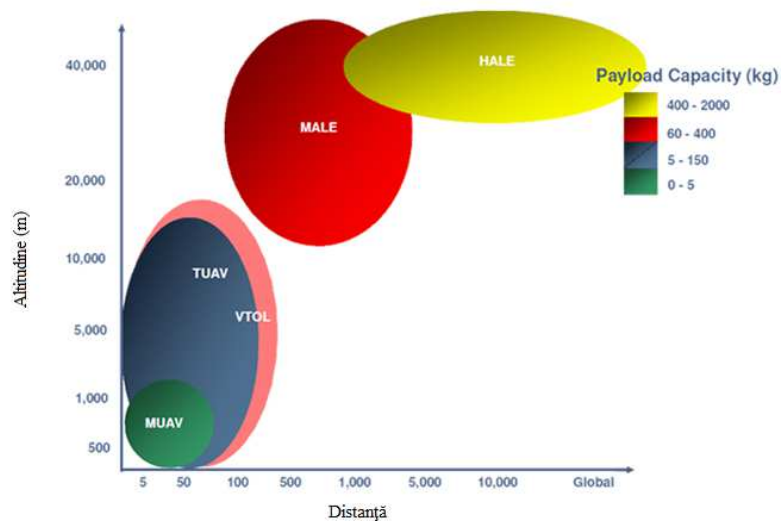


Fig. 3.5. Clasificarea UAV-urilor după altitudinea de zbor, raza de acțiune și încărcătura utilă (www.helicam.ro)
UAVs classification according to flight, range and disposable load

Fiecare dintre aceste UAV-uri au diferite caracteristici și specificații tehnice, putând fi folosite în diverse aplicații fotogrammetrice.

3.4. Aplicațiile UAV-urilor în cadastru

Noul trend în culegerea datelor geospațiale folosite în cadastru pentru întocmirea ortofotoplanurilor, indiferent de tipurile de terenuri și de categoria de folosință, este utilizarea imaginilor aeriene preluate cu UAV-uri. În acest sens, au fost realizate o serie de studii care au urmărit aplicabilitatea și acuratețea unor astfel de produse cartografice.

Manyoky et al. (2011) au folosit un UAV de tip Falcon 8 echipat cu o cameră digitală Panasonic Lumix DMC-LX3 pentru preluare de imagini aeriene în vederea întocmirii de planuri cadastrale. Aceștia au comparat rezultatele obținute privind planurile întocmite pe baza imaginilor aeriene și cele întocmite prin metodele tradiționale de achiziție a datelor. Cunningham et al. (2011) prezintă rezultatele privind utilizarea UAV-ului în cadastru, luând ca zonă de studiu o suprafață rurală din Alaska. Rezultatele obținute de aceștia, în multe cazuri apropiate de preciziile oferite de măsurătorile terestre, sugerează că folosirea UAV-urilor poate fi o alternativă eficientă sub raportul randamentului lucrărilor.

Studiul realizat de van Hinsberg et al. (2013) prezintă utilizarea UAV-ului pentru preluarea de imagini aeriene pe baza cărora s-au stabilit limitele cadastrale ale parcelelor cu o precizie de până la 3 cm, similar cu precizia obținută prin măsurători topografice clasice. Eyndt și Volkmann (2013) susțin că UAV-ul poate prelua imagini aeriene cu o precizie foarte ridicată și, în multe situații, poate fi o alternativă avantajoasă de înlocuire a măsurătorile topografice clasice.

Harwin și Lucieer (2012) au folosit stereofotogrammetria digitală și imagini preluate deasupra unei suprafețe de coastă din sud-estul Tasmaniei (Australia) de un micro-UAV multirotor. Concluzia la care au ajuns a fost că metoda propusă conduce la obținerea unei precizii de 1-3 cm, suficientă pentru monitorizarea eroziunilor de coastă de ordin subdecimetric. O astfel de precizie este foarte bună și la întocmirea planurilor cadastrale pe baza imaginilor preluate cu UAV-urile. Studii în domeniul măsurătorilor și aplicațiilor cadastrale cu rezultate asemănătoare au fost realizate și de Cunningham et al. (2011); Manyoky et al. (2011); Cramer et al. (2013) și Barnes et al. (2014).

Sheilla (2016) obține un ortofotoplan cu precizia planimetrică de 2,8 cm pe baza imaginilor preluate cu UAV, pe care l-a folosit în stabilirea limitelor unor terenuri fără construcții aflate într-o zonă intravilană. Tot pe baza unui zbor realizat cu un sistem UAV, Kędzierski et al. (2015) obține un ortofotoplan cu o precizie de 10 cm în care detaliile sunt identificate cu o abatere standard cuprinsă între 40 cm și 1,02 m, mult mai slabă comparativ cu alte rezultate în care s-au aplicat metodologii asemănătoare.

Într-un studiu realizat de Chandraratne (2016) se prezintă o metodologie de lucru în care sunt comparate suprafețele mai multor loturi obținute prin măsurători realizate cu o stație totală cu suprafețele vectorizate deduse dintr-un ortofotoplan de precizie, diferența fiind de până la 8% din suprafețele determinate pe cale terestră, considerate de referință. De asemenea, din compararea coordonatelor celor două tipuri de determinări s-a obținut o valoare medie a diferențelor de 5,5 cm.

Precizia obținută la delimitarea limitelor parcelelor cadastrale folosind imaginile aeriene preluate cu UAV este apropiată de precizia obținută prin măsurători topografice clasice, unele studii prezentând o precizie de 10 cm (Deok-In Kim et al., 2014), sub 8 cm (Sang Min și Jae One, 2016), de 5 cm (Meouche et al., 2016), iar altele chiar mai bune. Precizia de 10 cm obținută de astfel de produse cartografice este suficientă pentru măsurarea construcțiilor și pentru măsurarea limitelor parcelelor cadastrale (Kurczynski et al., 2016).

În unul din cele mai actuale studii realizate de Crommelinck et al. (2018) a fost analizată posibilitatea folosirii ortofotoplanului în stabilirea limitei drumurilor față de categoriile de folosință învecinate, rezultatele obținute fiind în medie de 10 cm față de valoarea de referință. Într-un studiu realizat anterior, care a implicat folosirea tehnologiei UAV, s-a ajuns la concluzia că ortofotoplanurile obținute pe baza imaginilor preluate cu UAV-uri pot fi folosite la stabilirea limitelor dintre proprietăți și delimitarea detaliilor în proporție de 80% (Crommelinck et al., 2017).

La fel de recent ca studiul anterior, Yusoff et al. (2018) aduc în discuție influența altitudinii de zbor și a reperilor fotogrammetrici asupra preciziei detaliilor înregistrate într-un ortofotoplan obținut cu ajutorul imaginilor digitale preluate cu un UAV DJI Phantom 4. Concluzia la care s-a ajuns arată faptul că, cu cât înălțimea de zbor scade, eroarea de determinare a coordonatelor ce definesc limitele și detaliile scade.

La nivel internațional au fost realizate și alte studii (Khairul et al., 2012; Skarlatos et al., 2013; Francisco et al., 2017) care au avut la bază tehnica UAV cu rezultate deosebite în obținerea ortofotoplanului ca produs principal. În acestea au fost descrise metodologii de lucru privind folosirea sau nu a reperilor fotogrammetrici în procesul georeferențierii, dar și influența pe care o are numărul acestora asupra preciziei produsului cartografic. Rezultatele au arătat că, pentru atingerea unor precizii ridicate, este nevoie de folosirea reperilor fotogrammetrici în procesul de obținere al ortofotoplanului sau altor produse derivate.

Pe plan național s-au făcut diverse încercări de folosire a UAV-urilor echipate cu senzori digitali în scopul obținerii produselor cartografice. Pe această linie se înscrie și TEAMNET S.A., care și-a dezvoltat propriul UAV pe care l-a folosit în preluarea de imagini digitale pentru amenajarea fondului forestier și realizarea cadastrului sistematic (www.teamnet.ro).

Studiul realizat de Munteanu (2012) a presupus folosirea ortofotoplanurilor în vederea realizării planurilor cadastrale în fondul agricol din extravilanul localităților. Rezultatele obținute, prin compararea datelor obținute prin vectorizarea ortofotoplanurilor cu datele culese prin măsurători clasice, au fost bune sub aspectul preciziei, încadrându-se în normele tehnice în vigoare.

Palamariu et al. (2015) au folosit un UAV Dji Phantom, o cameră digitală Nikon Coolpix L810 nemetrică și o stație totală Leica TCR 805 pentru a concepe o metodologie de lucru în vederea realizării cadastrului 3D pentru intravilanul unei zone rurale de la noi din țară. Studiul realizat nu a cuprins și rezultate referitoare la precizii de poziționare a detaliilor și nu a adus în discuție limitările folosirii metodologiei propuse.

Un alt studiu pe plan național a fost realizat de Oniga et al. (2018). Acesta a avut ca scop determinarea preciziei ortofotoplanurilor la care se poate ajunge folosind un număr diferit de reperi fotogrammetrici. Rezultatele la care au ajuns arată că pentru obținerea unui ortofotoplan de precizie este nevoie de amplasarea unui reper fotogrammetric la 200 m².

IV. SISTEMELE GNSS ÎN LUCRĂRILE CADASTRALE

4.1. Generalități

Măsurătorile terestre privite ca un ansamblu de lucrări geo-topo-fotogrammetrice au ca obiect reprezentarea pe planuri și hărți, în format analogic sau digital a unor suprafețe, acestea putând varia ca întindere de la câteva sute de metri pătrați până la teritorii de nivel continental. Astfel, pentru obținerea unei reprezentări cartografice, se impune stabilirea poziției detaliilor urmărite în cadrul unui sistem de referință.

Detaliile topografice sunt constituite din puncte de contur pentru care trebuie definită poziția acestora folosind un set de coordonate. După conținut sau numărul de elemente luate în considerare poziționarea unui punct într-un sistem de referință poate fi unidirecțională (Z), plană (2D) și spațială sau tridimensională (3D). Poziționarea unidirecțională se face luând în calcul înălțimea (Z) punctului, în timp ce pentru reprezentările 2D și 3D se iau în considerare coordonatele X și Y, respectiv X, Y și Z. Fiecare dintre cele trei variante de poziționare sunt definite la rândul lor de un set de coordonate specific modalității de reprezentat, sistemul de coordonate depinzând de regiunea sau teritoriul din care face parte suprafața.

Tehnologiile de poziționare au cunoscut o continuă evoluție, iar în prezent factorul decisiv care le diferențiază este dat de precizia lor. Dezvoltarea continuă și rapidă a tehnologiei ultimelor decenii a făcut posibilă realizarea unor sisteme de poziționare care au la bază măsurarea timpului și care, prin crearea unor segmente suplimentare, au condus la determinarea direct pe teren, în timp real, a coordonatelor unui punct cu precizii din ce în ce mai ridicate.

Aceste tehnologii s-au perfecționat de-a lungul mai multor ani și a implicat schimbări referitoare la accesibilitate și utilizare în legislația, dar și eforturi economice deloc neglijabile. Efectiv, pentru a ajunge în faza determinării coordonatelor unui punct în timp real folosind sistemul satelitar de poziționare globală GNSS s-au lansat mai multe constelații de sateliți de diferite generații și capacități (segmentul aerian), s-au realizat segmente de control care să monitorizeze sateliții lansați și s-a perfecționat aparatura destinată segmentului utilizator.

V. ÎNTOCMIREA PLANULUI CADASTRAL PENTRU INTRAVILANUL DIN ZONA TEST CRIZBAV

5.1. Aspecte generale

Întocmirea planurilor cadastrale pentru imobilele din intravilanul localităților din mediul rural a devenit o problemă de actualitate odată cu demararea PNCCF. Din acest motiv și nu numai, este necesară utilizarea tuturor tehnologiilor pentru creșterea randamentului lucrărilor de cadastru, care să fie eficiente sub raport tehnic (să ofere precizie ridicată) și economic (costuri reduse de întreținere și exploatare). Având în vedere suprafețele întinse pentru care trebuie realizate lucrările, dar și necesitatea tot mai stringentă a acestora, folosirea tehnologiei UAV și a fotogrammetriei digitale pot fi o soluție în culegerea datelor și realizarea planurilor cadastrale în format digital.

Pentru determinarea preciziei care se poate obține prin tehnica UAV s-au folosit ca referință înregistrările oficiale realizate în cadrul programului CESAR pentru o zonă din intravilanul localității Crizbav (§ 2.2.). Tehnologia UAV are la dispoziție a permis achiziționarea imaginilor digitale necesare întocmirii ortofotoplanului, iar cu ajutorul celorlalte echipamente de măsurat (sistem GNSS și stație totală) s-au determinat pozițiile punctelor care să servească realizării și verificării acestuia.

La baza realizării planului cadastral în format digital prin metodologia de lucru propusă stă operația de vectorizare a detaliilor identificate pe ortofotoplan (garduri, construcții, drumuri, răzoare ș.a.) urmată de atribuirea datelor descriptive ce le însoțesc (categorii de folosință, destinații de construcție ș.a.). În final, prin confruntarea părții grafice rezultată din vectorizare cu datele descriptive culese de pe teren și din actele justificative referitoare la imobil se poate genera planul cadastral digital și, prin consecință, cel analogic în diferite formate. De asemenea, prin compararea diferitelor seturi de date, se poate exprima un punct de vedere obiectiv asupra calității lucrărilor anterior recepționate.

5.2. Culegerea datelor pe cale terestră

5.2.1. Realizarea rețelei de îndesire și de ridicare

Rețeaua geodezică de îndesire reprezintă infrastructura pe care se sprijină ridicările în plan, punctele acesteia servind ca bază și control în desfășurarea măsurătorilor terestre. Necesitatea realizării ei se impune datorită faptului că rețeaua geodezică națională spațială, încadrată în rețeaua europeană, nu asigură densitatea optimă dezvoltării lucrărilor ulterioare, punctele fiind prea rare și îndepărtate. În această situație se înscrie și suprafața supusă studiului, motiv pentru care s-a impus îndesirea rețelei geodezice existente conform normelor tehnice în vigoare.

Proiectarea și alegerea punctelor trebuie să conducă la îndesirea rețelei geodezice naționale cu respectarea unor condiții care să asigure:

- *densitatea corespunzătoare*, de 1 punct/5 km² în extravilan și 1 punct/ km² în intravilan, în funcție de detaliile existente;
- *precizie ridicată* de determinare, cu abatere standard de cel mult de ± 5 cm la poziționarea planimetrică, specifică planurilor cadastrale 2D;
- *structură complexă* ce cuprinde atât punctele vechi ale rețelei geodezice bornate, stațiile permanente GNSS, cât și punctele noi marcate la sol;
- *omogenitatea rețelei*, asigurată prin repartizarea uniformă a punctelor în zona de lucru și determinarea în bloc a acestora.

Efectiv, pentru alegerea poziției punctelor care să servească ca rețea de sprijin în vederea ridicării detaliilor, s-a folosit un ortofotoplan de ediție 2006 pe care s-au proiectat punctele rețelei astfel încât acestea să potă fi folosite și ca reperi fotogrammetrici.

Poziția definitivă a punctelor s-a obținut folosind tehnologia GNSS prin respectarea unor condiții cunoscute din literatura de specialitate în funcție de situația întâlnită pe teren (Chițea et al., 2011):

- *alegerea unor locuri dominante*, care ar permite utilizarea punctelor ca vize de orientare;
- *asigurarea orizontului liber*, respectiv a unghiului de 15°, cu păstrarea distanței față de obstacolele înalte;
- *evitarea apropierii* de instalații electrice de mare putere (transformatoare, linii de înaltă tensiune);
- *plasarea punctelor în perechi*, cu vizibilitate între ele, acolo unde lipsesc alte vize de orientare, pentru realizarea drumurilor.

În final, având în vedere și necesitățile impuse prin obiectivele urmărite s-au mai amplasat două puncte suplimentare, celelalte două puncte fiind deja proiectate și materializate la sol pentru a servi ca reperi

fotogrammetrici. Marcarea punctelor noi din rețeaua de îndesire s-a realizat folosind buloane și borne de construcție specială care să asigure durabilitate în timp (fig. 5.1).



Fig. 5.1. Marcaje folosite pentru materializarea punctelor din rețeaua de sprijin și de ridicare
a – borne de tip Feno; b – buloane metalice
*Markings used for the materialization of points for the support and raise network
a – Feno bollard; b – metallic bolts*

Poziționarea tuturor detaliilor din zona de studiu a presupus realizarea rețelei de ridicare ale cărei trasee au fost încadrate obligatoriu și pe puncte ale rețelei de sprijin care, în unele cazuri, au coincis cu reperii fotogrammetrici. Pentru control și precizie ridicată s-a urmărit ca drumuirea să se închidă pe puncte de coordonate cunoscute, lucru care să permită compensarea acesteia. Alegerea punctelor de drumuire s-a făcut urmărind traseele proiectate și fixând amplasamentul fiecărei stații în funcție de condițiile întâlnite în teren, care să asigure vizibilități spre:

- *punctul din spate și din față*, spre a da vizele reciproce între stații;
- *punctele caracteristice* ce definesc detaliile din teren.

În același timp s-a ținut cont ca amplasamentul efectiv, stabilit cu atenție deosebită pe teren, să fie ales în locuri ferite de circulație spre a nu fi distruse. Materializarea pe teren a punctelor din rețeaua de ridicare s-a realizat folosind aceleași buloane metalice de construcție specială ca în cazul punctelor din rețeaua de sprijin (fig. 5.1).

5.3. Realizarea reperajului fotogrammetric

5.3.1. Proiectarea și marcarea reperilor fotogrammetrici

Planificarea determinărilor GNSS a implicat, în primă fază, stabilirea poziției aproximative a punctelor care vor servi ca reperii fotogrammetrici și apoi a modului de lucru, a sesiunilor de realizare a observațiilor și a timpilor de staționare. Acești reperii fotogrammetrici ale căror coordonate au fost determinate în sistemul național de proiecție Stereografic 1970 realizează legătura dintre teren și imagine.

Proiectarea amplasării reperilor fotogrammetrici s-a făcut pe baza unui proiect întocmit la birou folosind ortofotoplanul ediția 2006. La alegerea locației reperilor s-a ținut cont de asigurarea unei acoperiri cât mai mare cu semnal, evitându-se arborii și construcțiile înalte din zona antenei. De asemenea, s-au avut în vedere (Vorovencii, 2010): numărul minim de reperii, distribuția uniformă a acestora ținându-se cont de natura reliefului și a detaliilor din zona analizată, obligativitatea amplasării de reperii la marginea suprafeței și la capetele benzilor ș.a. În urma proiectării s-au stabilit 12 reperii pentru intravilanul localității Crizbav (fig. 5.6).



Fig. 5.6. Amplasarea și distribuția reperilor fotogrammetrici proiectați în zona studiată
Location and distribution of GCPs in the area studied

După stabilirea poziției aproximative a punctelor pe ortofotoplan, coordonatele acestor puncte au fost descărcate din proiect și încărcate în receptorul GNSS ASHTECH PROMARK 800 pentru a fi trasate pe teren, poziția definitivă a acestora stabilindu-se pe teren în funcție de situația întâlnită și a obstacolelor din imediata apropiere. Comparativ cu poziția aproximativă stabilită prin proiect la birou și trasarea efectuată pe teren, s-a determinat că diferențele la proiectare nu au depășit 10 m.

După stabilirea poziției definitive a reperilor s-a trecut la marcarea acestora. Marcarea pe teren s-a făcut folosind buloane metalice pentru zona din intravilanul localității (asfalt) și borne de construcție specială pentru zona din afara acesteia (teren agricol) (fig. 5.7). La amplasarea reperilor fotogrammetrici s-a avut în vedere ca aceștia să poată fi staționați și cu stația totală.

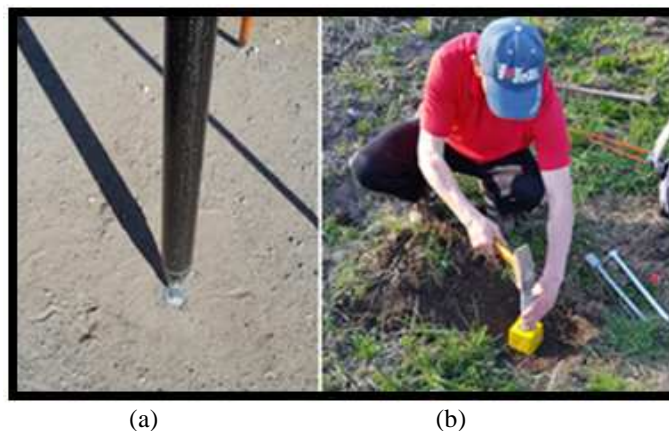


Fig. 5.7. Punctele de coordonate cunoscute folosite în cazul reperilor fotogrammetrici
a – în asfalt; b – în teren agricol
*Known coordinates points used for GCPs:
a – in asphalt; b – in infield*

Înainte de a se executa zborurile cei 12 reperi fotogrammetrici, materializați la sol prin buloane metalice și borne feno, au fost reidentificați și semnalizați. Pentru fondul agricol semnalizarea reperilor s-a făcut cu scânduri de lemn vopsite la partea superioară în alb și așezate în formă de cruce, iar pentru intravilan prin figuri desenate pe asfalt cu ajutorul unor șabloane, astfel încât reperi să fie ușor identificați pe imaginile digitale (fig. 5.8).



(a) (b)
 Fig. 5.8. Semnalizarea reperilor fotogrammetrici:
 a – în fond agricol; b – pe asfalt
Markings used for GCPs:
 a – in agricultural fond; b – on asphalt

Prin folosirea reperilor fotogrammetrici alături de coordonatele centrelor de perspectivă determinate cu dispozitivul GNSS/IMU se asigură orientarea integrată a senzorului și conduce la o creștere substanțială a preciziei produsului cartografic.

5.3.2. Observații GNSS pentru determinarea poziției spațiale a reperilor

Realizarea observațiilor GNSS asupra reperilor fotogrammetrici s-a efectuat prin metoda RTK prin parcurgerea următoarelor etape:

- *instalarea sistemului GNSS format din controler și receptor* în stație pe un trepied, care a permis calarea lui și centrarea pe punctul matematic al bornei;
- *pornirea sistemului și efectuarea setărilor corespunzătoare* referitoare la denumirea fișierului, metoda de lucru folosită ș.a.;
- *măsurarea înălțimii* antenei de-a lungul verticalei și salvarea ei în memorie;
- *verificarea stării* acumulatorului și memoriei receptorului;
- *corespondența parametrilor* configurați între stațiile fixe și cele mobile.

Observațiile GNSS pentru zona studiată reprezentată de intravilanul localității Crizbav s-au realizat în trei zile diferite corespunzătoare datelor 01.04.2017, 08.04.2017 și 10.04.2017; acestea au corespuns celor trei moduri de realizare a observațiilor. În prima zi de realizare a observațiilor s-a ales modul de lucru RTK prin metoda VRS, iar pentru fiecare din cei 12 reperi fotogrammetrici s-au făcut 3 sesiuni de determinări corespunzătoare timpilor de observație de 2 minute, 5 minute și 10 minute. După realizarea fiecărui set de observații s-a efectuat o reinițializare a sistemului GNSS. În celelalte două zile s-au făcut observații în modul de lucru RTK, pentru cei 12 reperi fotogrammetrici, prin conectarea la o stație de referință, respectiv Sfântul Gheorghe – SFGH (08.04.2017) și Făgăraș – FAGĂ (10.04.2017), în fiecare situație repetându-se procedeul de lucru realizat în cazul metodei VRS.

5.3.3. Analiza determinărilor GNSS

5.3.3.1. Analiza valorilor medii

Mediile efectuate asupra observațiilor GNSS au privit în special indicatorii de precizie reprezentați de eroarea medie pătratică în plan orizontal HRMS și eroarea medie pătratică în plan vertical VRMS. S-au luat în calcul doar acești doi indicatori ai preciziei deoarece sunt legați direct de precizia în plan orizontal, respectiv în plan vertical. În ambele cazuri abaterea standard are un interval de încredere de 95 %, ceea ce înseamnă că măsurătorile se situează în limitele indicate cu o probabilitate de 95 %.

Pentru determinarea celei mai precise metode de determinare s-a realizat media valorilor corespunzătoare aceluiași timp de observație cu relația:

$$\overline{HRMS - VRS}_{2\min} = \frac{\sum_{i=1}^n HRMS_{i2\min}}{n} \quad (5.1)$$

unde: $\sum_{i=1}^n HRMS_{i2\min}$ - suma valorilor observației de 2 minute corespunzătoare metodei VRS pentru toți reperii fotogrammetrici;

n- numărul reperilor fotogrammetrici.

Această metodă de calcul s-a aplicat inclusiv indicatorului VRMS, calculele realizându-se și pentru timpii de observație de 5 minute și 10 minute și pentru conectarea la stațiile SFGH și FĂGĂ. În tabelul 5.2. sunt prezentate rezultatele obținute.

Tabelul 5.2. Valorile medii ale indicatorilor de precizie HRMS și VRMS pentru aceeași bază
Average values of accuracy indicators HRMS and VRMS for the same base

Timp/indicator	Mod de conectare					
	VRS		FĂGĂ		SFGH	
	HRMS (m)	VRMS (m)	HRMS (m)	VRMS (m)	HRMS (m)	VRMS (m)
2 minute	0,0121	0,0148	0,0151	0,0225	0,0135	0,0201
5 minute	0,0122	0,0155	0,0150	0,0225	0,0135	0,0203
10 minunte	0,0121	0,0149	0,0149	0,0223	0,0135	0,0206

Legat de timpul de observare necesar obținerii unei precizii ridicate, ținându-se cont și de randamentul lucrărilor, s-au însumat valorile indicatorilor HRMS, respectiv VRMS pentru timpii de observare de 2 minute, 5 minute și 10 minute luând în calcul toate metodele de conectare și s-au împărțit la numărul reperilor fotogrammetrici. În acest caz s-a folosit relația:

$$\overline{HRMS}_{2\min} = \frac{(HRMS_{VRS})_{i2\min} + (HRMS_{SFGH})_{i2\min} + (HRMS_{FAGA})_{i2\min}}{n} \quad (5.2)$$

unde: $(HRMS_{VRS})_{i2\min}$ - media valorilor observației de 2 minute corespunzătoare metodei VRS pentru toți reperii fotogrammetrici;

$(HRMS_{SFGH})_{i2\min}$ - media valorilor observației de 2 minute corespunzătoare conectării la baza SFGH pentru toți reperii fotogrammetrici;

$(HRMS_{FAGA})_{i2\min}$ - media valorilor observației de 2 minute corespunzătoare conectării la baza FĂGĂ pentru toți reperii fotogrammetrici;

n- numărul reperilor fotogrammetrici.

Rezultatele obținute sunt prezentate în tabelul 5.3.

Tabelul 5.3. Valorile medii ale indicatorilor de precizie în funcție de timpii de observație
Average values of accuracy indicators according to the observation times

Timp/indicator	HRMS (m)	VRMS (m)
2 minute	0,0148	0,0144
5 minute	0,0150	0,0146
10 minute	0,0147	0,0145

Pentru a observa dacă amplasarea celor 12 reperi fotogrammetrici în intravilanul sau extravilanul localității influențează precizia determinărilor s-au calculat medii globale pentru toți timpii de observație luând în considerare cele două locații de amplasare. Analiza s-a realizat pentru cei 4 reperi fotogrammetrici aparținând zonei din extravilan și cei 8 reperi fotogrammetrici din zona de intravilan. În calculul valorilor medii nu s-a mai ținut cont de timpul de observare, ci doar de metoda de conectare (tab. 5.4).

Tabelul 5.4. Valorile medii ale indicatorilor HRMS și VRMS pentru cele trei metode de conectare în funcție de amplasamentul reperilor fotogrammetrici
Average values of accuracy indicators HRMS and VRMS for the three connection methods according to the emplacement of GCPs

Locație/indicator	Metodă conectare					
	VRS		FĂGĂ		SFGH	
	HRMS (m)	VRMS (m)	HRMS (m)	VRMS (m)	HRMS (m)	VRMS (m)
Intravilan	0,0125	0,0166	0,0155	0,0244	0,0139	0,0204
Extravilan	0,0122	0,0130	0,0144	0,0197	0,0137	0,0203

Valorile medii calculate în funcție de obiectivul urmărit servesc la analiza preciziei oferite de cele trei moduri de conectare și indicarea timpului de observare optim pentru atingerea unei precizii corespunzătoare (Ghimbășan și Vorovencii, 2019a). Pentru că în studiul valorilor medii s-a luat în considerare și amplasamentul reperilor fotogrammetrici, s-a urmărit analizarea influenței factorilor externi asupra preciziei de poziționare. În urma rezultatelor obținute (tab. 5.2, 5.3 și 5.4) se pot afirma următoarele:

(1) Metoda de poziționare prin conectarea în modul VRS a asigurat rezultatele cele mai bune. Pentru toți timpii de observație indicatorii de precizie medii calculați au valori mai scăzute decât celelalte moduri de conectare (SFGH și FĂGĂ) (tab. 5.2).

(2) Între timpii de observație de 2 minute și 10 minute diferențele indicatorilor de precizie HRMS și VRMS sunt minime, de nivel subcentrimetric (tab. 5.3). Din acest motiv, luând în calcul problema randamentului lucrărilor topo-geo-fotogrammetrice în concordanță cu precizia necesară cerută de normativele în vigoare, care prevăd ca poziționarea să se realizeze în intervalul de ± 10 cm în intravilan și ± 50 cm în extravilan, se poate considera ca fiind suficient un timp de observație de 2 min. Această constatare este confirmată și de rezultatele prezentate în tabelul 5.2.

(3) Amplasamentul reperilor fotogrammetrici trebuie bine stabilit luând în calcul condițiile din teren. În cazul de față densitatea detaliilor din teren, corelată cu condițiile ce trebuie respectate au condus la amplasarea reperilor în zonele cu detalii mai puține. În aceste condiții s-a constatat că precizia determinării poziției reperilor fotogrammetrici din zona intravilană este mai slabă comparativ cu precizia de determinare a reperilor din zona extravilană (tab. 5.4). Acest lucru poate fi explicat de existența construcțiilor sau altor detalii de diferite înălțimi care au influențat calitatea determinărilor GNSS. La acestea s-a mai adăugat existența unor suprafețe reflectorizante care au accentuat efectul reflexiei multiple.

(4) Din studiile valorilor medii calculate (tab. 5.2 și tab. 5.4) se poate observa că diferențele de precizie și distanța la care se găsește stația permanentă față de zona de lucru. Lungimea vectorilor rezultați din conectarea la stația de referință FĂGĂ este de aproximativ 38 km, în timp ce lungimea vectorilor în cazul stației SFGH este de 25 km. Din studiile efectuate de alți cercetători (Căbălan et al., 2009; Meilin et al., 2012; Aykut et al., 2015) se cunoaște faptul că există o legătură invers proporțională între lungimea vectorului și precizia obținută. Rezultatele obținute în determinarea reperelor fotogrametrice se aliniază rezultatele pe plan național și internațional.

5.3.3.2. Analiza diferențelor

Pentru analiza diferențelor obținute și a indicatorilor de precizie s-au calculat și două tipuri de diferențe: (1) între datele preluate în perioade de timp diferite pentru același mod de conectare; (2) între datele provenite din conectarea în cele trei moduri. Scopul acestor determinări este de a studia influența timpului de observare asupra preciziei coordonatelor (Ghimbășan și Vorovencii, 2019a).

Aceste diferențe au fost calculate luând în considerare concluziile la care s-a ajuns studiind valorile medii pentru indicatorii de precizie RMS și VRMS prin conectarea în cele trei moduri (V S, SFGH și FĂGĂ) cu timpii de observare de 2 minute, 5 minute și 10 minute. În toate situațiile valoarea de referință a constituit coordonatele și valorile indicatorilor de precizie obținute pentru metoda de conectare în modul RS pentru cei trei timpi de observație.

Datele obținute au fost analizate grafic și tabelar în vederea stabilirii relațiilor legături. Astfel, din diferențele efectuate, pentru aceeași bază și baze diferite, au fost obținute diferite legături între variabilele analizate (fig. 5.10, 5.11, 5.12 și 5.13).

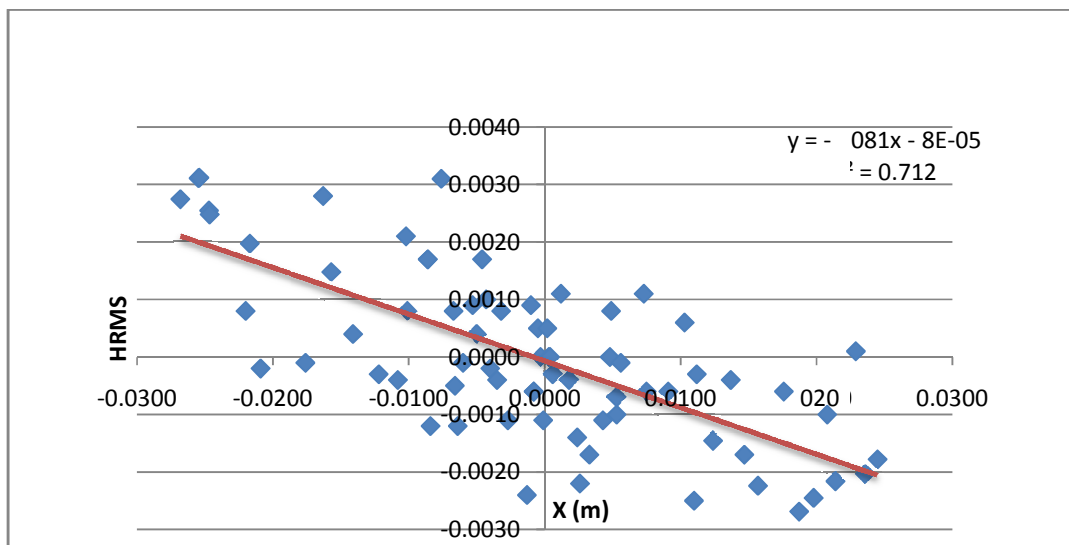


Fig. 5.10. Relația dintre diferențele coordonatei X și indicatorul HRMS folosind același mod de conectare

Regression between the difference of coordinate and RMS indicator using the same connection modality

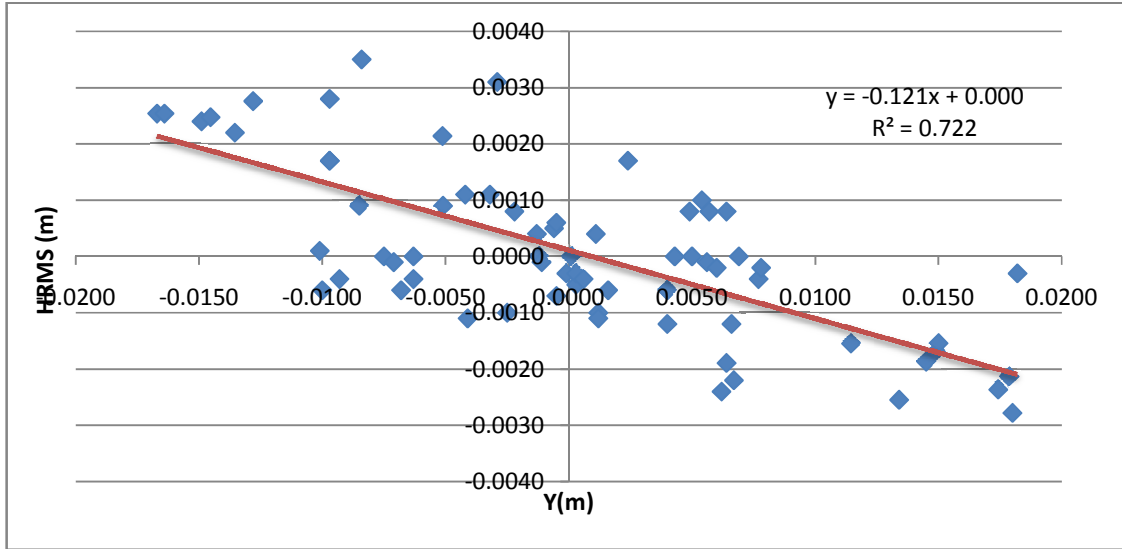


Fig. 5.11. Relația dintre diferențele coordonatei Y și indicatorul HRMS folosind același mod de conectare
Regression between the difference Y coordinate and HRMS indicator using the same connection modality

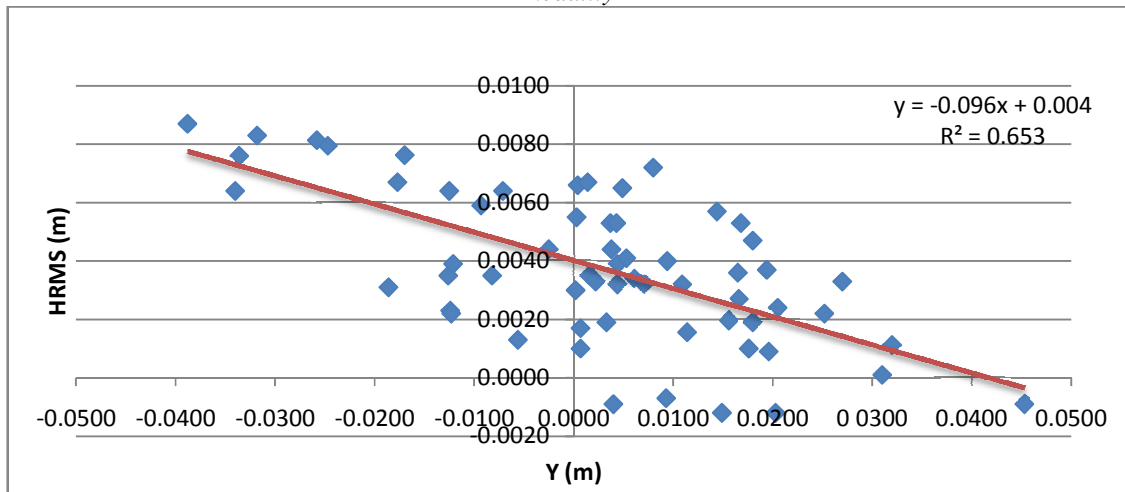


Fig. 5.12. Relația dintre diferențele coordonatei Y și HRMS folosind moduri de conectare diferite
Regression between the difference of Y coordinate and HRMS using different connecting modalities

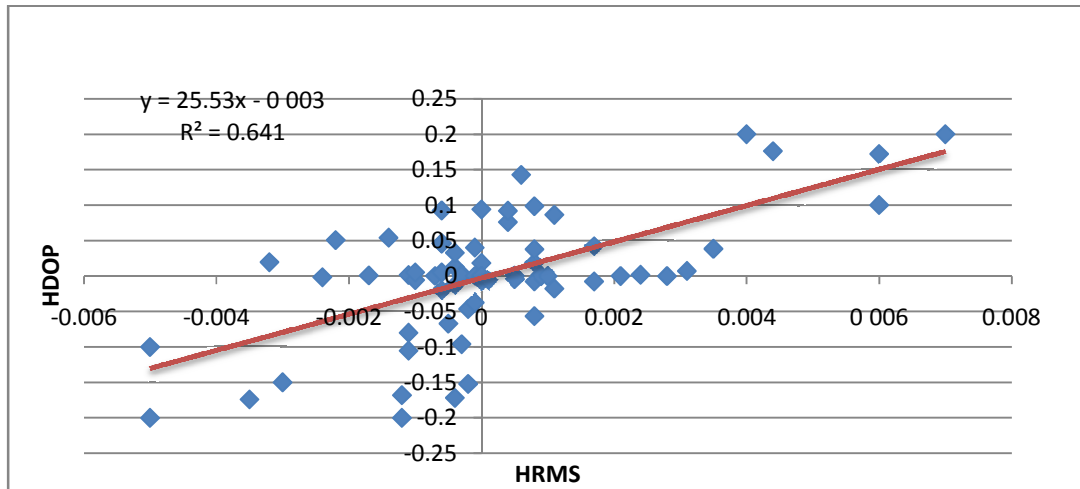


Fig. 5.13. Relația dintre diferențele indicatorilor HRMS și HDOP folosind același mod de conectare
Regression between differences of HRMS and HDOP indicators using the same connecting modality

Pe baza datelor folosite s-a calculat coeficientul de determinare (R^2) corespunzător tuturor diferențelor luate în considerare, iar rezultatele obținute au fost sintetizate sub formă tabelară (tab. 5.5).

Tabelul 5.5. Coeficienții de determinare în cazul diferitelor analizate
Determination coefficients for the differences analyzed

Nr.crt.	Diferențe (coordonată-indicator sau indicator-indicator)	Coeficient de determinare (R^2)	
		Diferențe aceeași bază	Diferențe baze diferite
1	X - HRMS	0,71	0,12
2	Y - HRMS	0,72	0,65
3	Z - VRMS	0,68	0,13
4	HR IS - HDOP	0,64	0,27
5	VR IS - VDOP	0,67	0,66

De asemenea, tot pe baza diferențelor efectuate au fost realizate și alte analize grafice luând în calcul cele două tipuri de diferențe (aceleași bază și baze diferite) efectuate pentru cei 12 repere fotogrammetrici. Reprezentanțele s-au realizat pentru seturile de coordonate X, Y și Z corespunzătoare celor trei tipuri de observație (fig. 5.14, 5.15 și 5.16).

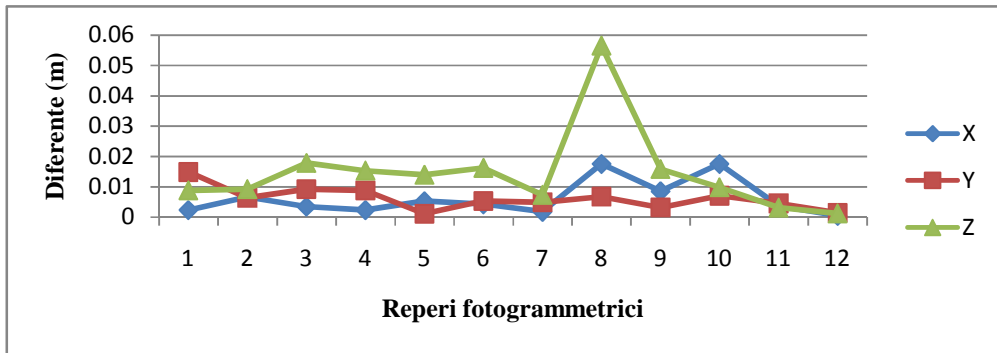


Fig. 5.14. Diferențele coordonatelor X, Y, Z între timpii de observație 2 minute și 10 min pentru metoda VRS
Differences of X, Y, Z coordinates between the observation times of 2 minutes and 10 minutes through VRS method

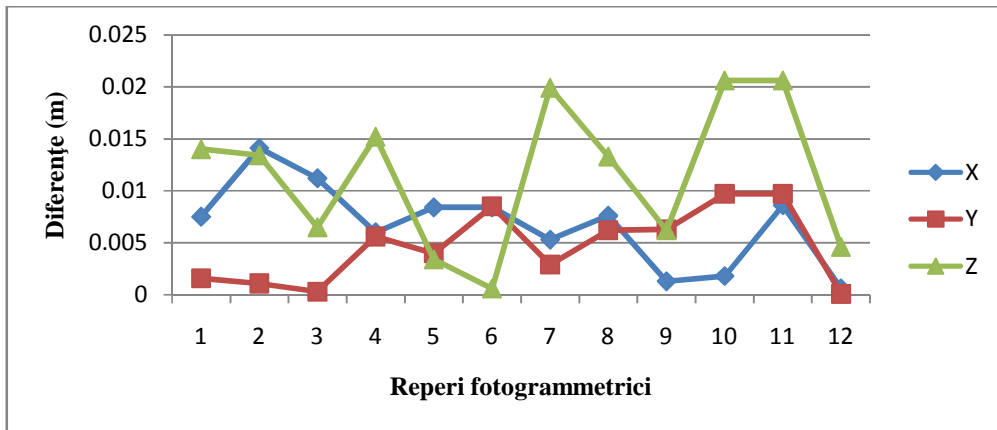


Fig. 5.15. Diferențele coordonatelor X, Y, Z între timpii de observație 5 minute și 10 minute pentru metoda SFGH
Differences of X, Y, Z coordinates between the observation times of 5 minutes and 10 minutes for SFGH method

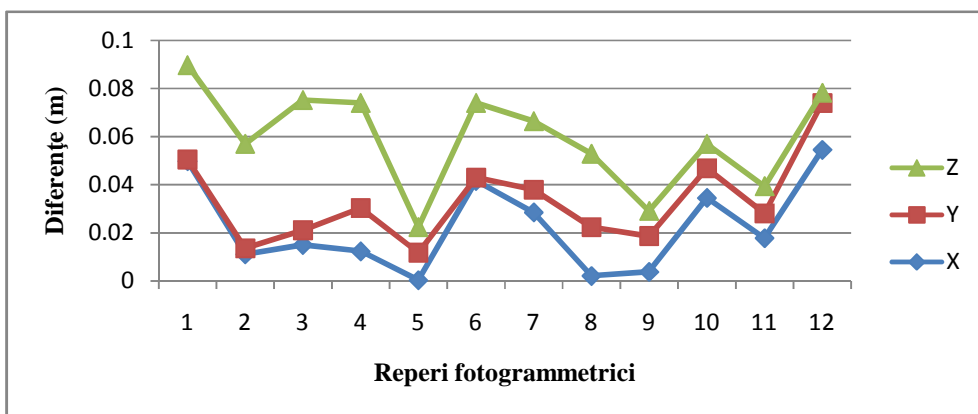


Fig. 5.16. Diferențele coordonatelor X, Y, Z între metodele SFGH și VRS pentru timpul de observație de 10 minute
Differences of X, Y, Z coordinates between SFGH and VRS methods for the observation time of 10 minutes

Urmărind același raționament au fost întocmite reprezentări grafice și pentru indicatorii de precizie HRMS, VRMS (fig. 5.17 și 5.18).

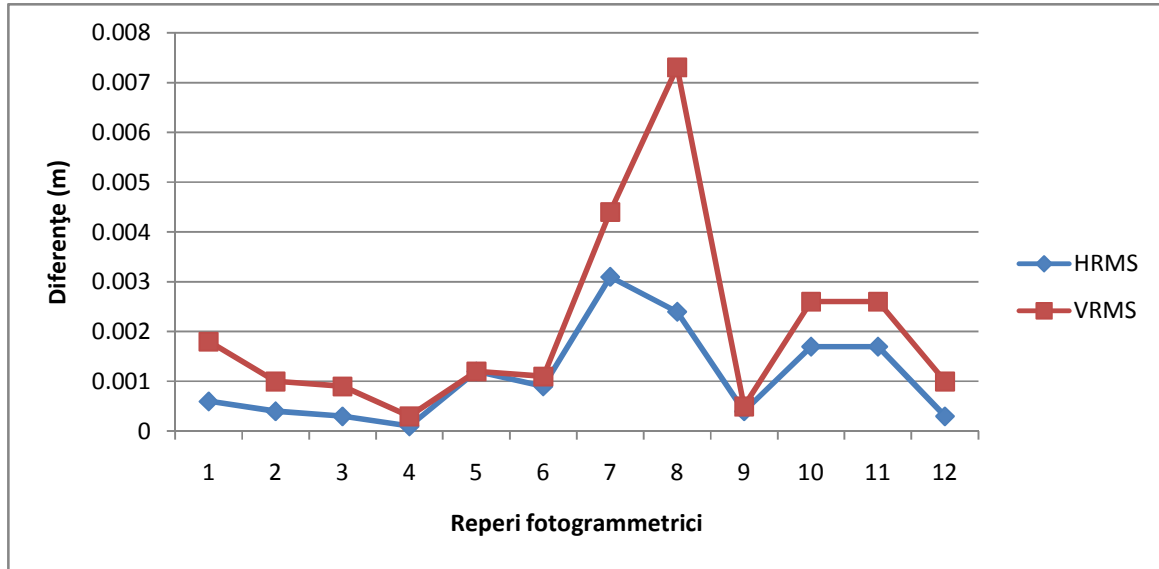


Fig. 5.17. Diferențele indicatorilor HRMS și VRMS între timpii de observație 5 minute și 10 minute metoda SFGH

Differences of HRMS and VRMS indicators between the observation times of 5 minutes and 10 minutes using SFGH method

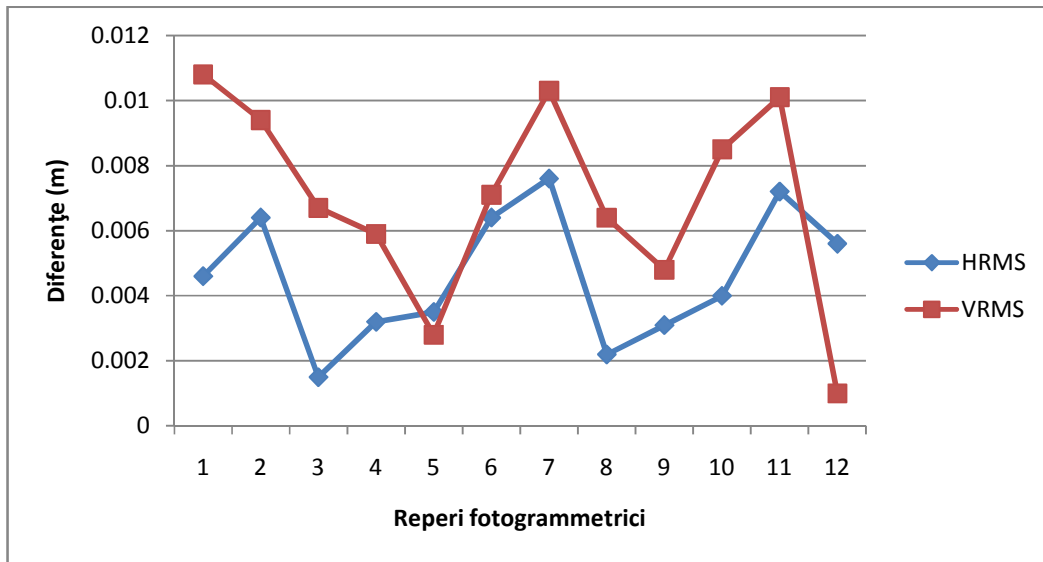


Fig. 5.18. Diferențele indicatorilor HRMS și VRMS între metodele SFGH și VRS pentru timpul de observație de 5 minute

Differences of HRMS and VRMS indicators between SFGH and VRS methods for the observation time of 5 minutes

Împărțirea diferențelor realizate în cele două grupe și studierea valorilor coeficienților de determinare obținuți, împreună cu reprezentările grafice oferă o imagine de ansamblu asupra celor trei moduri de conectare prezentate în cercetări, dar și asupra celor trei timpi de observare. Astfel, din analiza diferențelor se pot trage următoarele concluzii:

- în cazul diferențelor pentru aceeași bază majoritatea coeficienților de determinare au valori ridicate, ceea ce indică existența unei dependențe între variabilele luate în considerare (tab. 5.5).
- în situația folosirii de baze diferite, valorile coeficienților de determinare sunt scăzute, de la această tendință făcând excepție diferențele calculate pentru Y – HRMS și VRMS – VDOP (tab. 5.5). Valorile mici ale coeficienților de determinare în această situație pot fi explicate de momentul diferit al efectuării observațiilor în timpul zilei. Observațiile au fost realizate în trei zile diferite (trei sesiuni), corespunzătoare fiecărei metode, ceea ce a însemnat o constelație satelitară și condiții de mediu diferite. De asemenea, mărimea vectorilor de la punctul staționat până la stația de referință și calitatea semnalului au fost diferite putând influența precizia determinărilor.
- valorile mari ale coeficienților s-au constatat în cazul folosirii aceluiași mod de conectare. În acest caz, diferențele s-au calculat pentru observații care au avut la bază conectări la aceeași stație, deci care au implicat același vector. În celălalt caz, al diferențelor între baze diferite, mărimea vectorilor folosiți la determinarea coordonatelor a variat de la câțiva zeci de metri în cazul metodei VRS, la aproximativ 25 km în cazul stației SFGH și circa 36 km în cazul stației FĂGĂ.
- panta dreptelor de regresie este negativă sau pozitivă. În cazul diferențelor care au vizat coordonatele X, Y și indicatorii preciziei HRMS, VRMS, HDOP, VDOP și PDOP panta dreptei este negativă, fapt ce indică existența unei legături de inversă proporționalitate între aceste mărimi (fig. 5.10, 5.11 și 5.12). Pentru celelalte diferențe luate în considerare (HRMS – HDOP și VRMS – VDOP) există o dependență directă, iar acest lucru este indicat de panta pozitivă a dreptei de corelație (fig. 5.13). Aceasta înseamnă că odată cu creșterea valorii HRMS crește și valoarea HDOP-ului.
- graficele realizate pentru diferențele dintre coordonatele X, Y, Z indică faptul că, în toate situațiile, variația diferențelor pentru Z este mai ridicată decât pentru coordonatele planimetrice X și Y (fig. 5.14, 5.15 și 5.16). Acest lucru este arătat și de graficele realizate pentru diferențele indicatorilor de precizie HRMS și VRMS (fig. 5.17 și 5.18). Aceasta confirmă faptul că determinarea cotelor prin tehnica GNSS se realizează cu o precizie mai scăzută decât în cazul coordonatelor planimetrice, fapt sesizat și în alte studii (Tachiki et al., 2005, Tereșneu et al., 2014).

5.4. Planificarea zborului și achiziționarea imaginilor cu UAV-ul

5.4.1. Planificarea zborului

Pentru determinarea parametrilor de zbor s-a folosit programul PIX 4D compatibil cu UAV-ul DJI Phantom 4 PRO. Programul PIX 4D a permis planificarea directă pe teren a traseului de zbor, setarea acoperirilor longitudinale și transversale dintre imagini, vitezei de zbor, unghiului de înclinare al axei de fotografiere și un control total autonom de la decolarea până la aterizarea UAV-ului. Pentru a obține imagini aproape nadirale s-a urmărit ca axa de fotografiere să fie, pe cât posibil, verticală, evitându-se preluarea de imagini laterale. Datorită necesității folosirii porțiunilor centrale ale imaginilor în obținerea ortofotoplanului, unde influența diferenței de nivel este mai mică, s-a setat o acoperire longitudinală între imagini de 80% și o acoperire transversală între benzile adiacente de 70%. Alegerea unor astfel de suprapuneri este deosebit de avantajoasă în comparație cu 66% și 33% acoperire longitudinală și transversală la zborurile realizate cu camere analogice. Avantajul se transpune prin faptul că sunt preluate mai multe imagini asupra aceluiași detaliu, ceea ce conferă o imagine perspectivă clară și nu o imagine laterală sau ușor laterală. De asemenea, folosirea programului de prelucrare a imaginilor aeriene necesită o acoperire (longitudinală și transversală) cât mai mare. Viteza de zbor de a fost determinată automat de program la 4m/s în funcție de caracteristicile suprafeței de zbor și parametrii setați.

Controlul autonom al UAV-ului s-a realizat prin sistemul GNSS în simplă frecvență cu care a fost echipat și care a avut rolul de a controla mișcările UAV-ului după efectuarea tuturor setărilor, de la decolare până la aterizare. Pe lângă rolul de control al UAV-ului, sistemul GNSS a avut rolul de a înregistra coordonatele geografice exprimate în sistemul WGS 89 ale centrelor de perspectivă din momentul preluării imaginilor.

Programul folosit a permis vizualizarea unei hărți asemănătoare aplicației cunoscute *Google Maps* și trasarea unui poligon care a descris zona de zbor a UAV-ului. În cadrul acestei zone s-a ales un traseu de zbor optim astfel încât zona descrisă să fie acoperită în întregime cu imagini digitale. Mai mult decât atât, programul a permis și vizualizarea în timp real a progresului făcut de UAV de-a lungul benzilor de zbor și a datelor privind capacitatea bateriei, intensitatea semnalului GNSS, numărul de sateliți conectați la sistemul UAV, viteza de zbor, înălțimea de zbor, distanța de la UAV până la punctul de decolare/aterizare și dimensiunile suprafeței de zbor. După efectuarea zborului, conform planului de zbor și setărilor efectuate, programul PIX 4D a asigurat afișarea unui raport referitor la zborul efectuat (fig. 5.20).

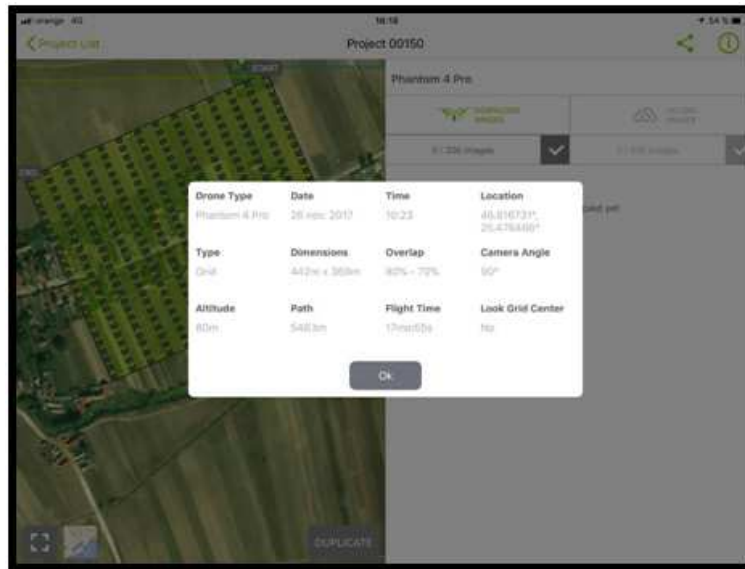


Fig. 5.20. Raportul afișat de programul PIX 4D după terminarea zborului în care sunt specificate principalele date
Report displayed by PIX 4D software after the end of flight where the main data are specified

Măsurile de siguranță impuse prin construcția UAV-ului și programul de control, au determinat mărirea suprafeței de înregistrat. Din această cauză, pentru a putea fi acoperită întreaga suprafață de studiu s-au executat patru zboruri separate, cu zone de suprapunere între ele, astfel încât, în momentul prelucrării imaginilor, să existe o suprapunerea de cel puțin 70% între benzile vecine ale fiecărui bloc fotogrammetric. Pentru fiecare zonă s-a realizat un plan separat de zbor (fig. 5.21).



Fig. 5.21. Traseul liniilor de zbor proiectate cu programul PIX 4D suprapuse pe imaginea din Google Maps pentru zona studiată la Crizbav
Flight paths designed by PIX 4D software overlapped on the image from Google Maps for the area studied in Crizbav

5.5. Prelucrarea imaginilor aeriene și întocmirea ortofotoplanurilor

5.5.1. Fluxul obținerii ortofotoplanului

Obținerea unui ortofotoplan pe baza imaginilor digitale preluate cu camere digitale nemetrice presupune parcurgerea a cinci etape, unele dintre acestea fiind specifice tehnicii SfM (fig. 5.23). Fluxul de lucru al tehnicii SfM implementat în programele specializate pentru prelucrarea imaginilor digitale, printre care și programul Agisoft PhotoScan, a urmărit parcurgerea primelor trei etape (Smith et al., 2016).

Prima etapă implică (1) identificarea și suprapunerea trăsăturilor comune într-un set de imagini folosind algoritmul SIFT și (2) implementarea algoritmului de compensare BAA pentru estimarea structurii 3D a zonei studiate precum și pentru estimarea parametrilor de orientare interioară și exterioară ai camerei. În această etapă are loc și o filtrare a identificărilor și suprapunerilor greșite, rezultatul fiind un *nor rar de puncte 3D* la o scară arbitrară.

A doua etapă presupune (1) aducerea în scară și georeferențierea norului de puncte folosind reperii fotogrammetrice de coordonate cunoscute, distribuiți pe zona studiată și (2) optimizarea norului de puncte, proces prin care parametrii camerei și punctele 3D sunt ajustate în vederea minimizării erorilor. Prin minimizarea erorilor se obține o structură 3D optimă și sunt optimizați parametrii camerei aducând imaginea digitală în poziția din momentul înregistrării (Triggs et al., 2000).

A treia etapă implică folosirea algoritmilor de unire a imaginilor prin tehnica MVS aplicați norului rar de puncte scalat și georeferențiat. În această etapă sunt folosiți parametrii camerei și poziția 3D a punctelor, toate ajustate în etapa anterioară, iar rezultatul este un *nor dens de puncte 3D*. După parcurgerea celor trei etape specifice tehnicii SfM care, în general, se realizează în intervale mari de timp în funcție de caracteristicile calculatorului utilizat, se poate trece și la următoarele etape care nu presupun timpi mari de execuție.

A patra etapă constă în generarea MDS. Acesta se obține din norul de puncte dens, folosind uneltele de lucru specifice fiecărui program de prelucrare a imaginilor digitale. Indiferent de tipul programului în această etapă se formează așa numitul model de poligoane bazat pe anumite clase de puncte care conduce la obținerea unei rețele neregulate de triunghiuri TIN.

A cincea etapă în obținerea ortofotoplanului este ortorectificarea, care necesită cunoașterea de informații precise despre suprafață pentru a înlătura distorsiunile proiective din imaginea originală (Koeva et al., 2016). Suprafața necesară poate fi obținută folosind MDT sau MDS. Dacă se folosește MDT-ul atunci produsul ortorectificat se numește ortofotoplan „normal”, iar dacă se folosește MDS-ul rezultatul ortorectificării este ortofotoplanul „adevărat” (true-orthophoto) (Koeva et al., 2016). Prin ortorectificare, imaginea digitală aeriană, care este o proiecție perspectivă, este transformată într-o proiecție ortogonală, conformă cu principiile topografice. Practic, prin ortorectificare sunt înlăturate efectele provocate de înclinarea camerei aerofotogrammetrice și cele provocate de diferențele de nivel. Pentru obținerea ortofotoplanului este obligatorie existența norului dens de puncte în vederea realizării unei ortorectificări precise și pentru înlăturarea completă a distorsiunilor provocate de relief.

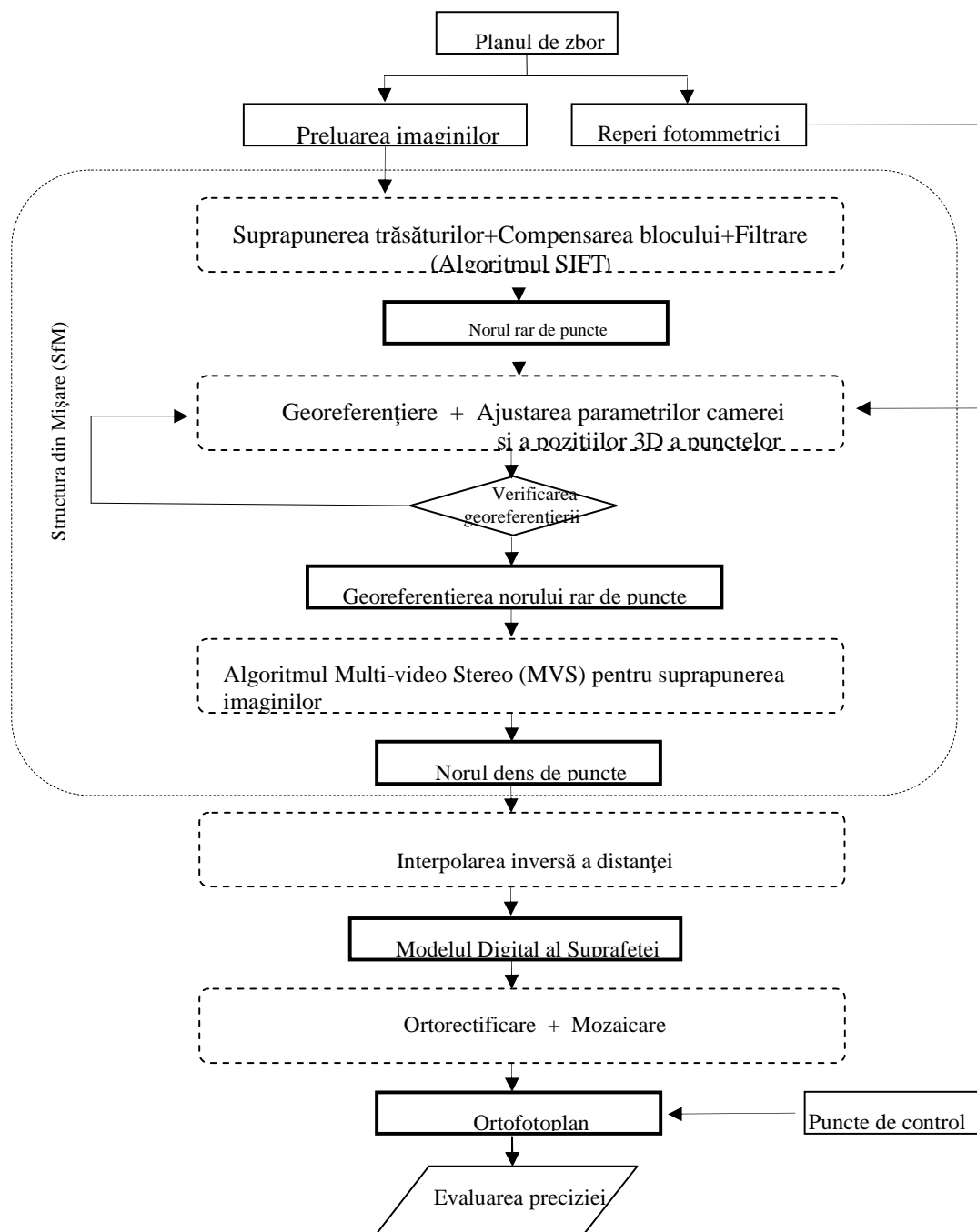


Fig. 5.23 Fluxul de lucru pentru ortho-geo-rectificarea imaginilor digitale folosind tehnica Structurii din Mișcare (SfM) (Ghimbășan și Vorovencii, 2019c)

Working flow for ortho-geo-rectification of digital images using Movement Structure technique (SfM)

5.5.7. Obținerea ortofotoplanurilor pentru locația Crizbav

Obținerea ortofotoplanului cu ajutorul programului Agisoft Photoscan a avut la bază abordarea de tip SfM. Etapele parcurse și descrise anterior sunt prezentate în continuare cu referire directă la locația Crizbav.

Importul datelor s-a realizat prin încărcarea în programul de prelucrare a celor 1293 imagini dispuse pe 42 benzi aflate în formatul *.jpg*.

Definirea sistemului de coordonate, prin alegerea punctului Dealul Piscului 1970, s-a realizat în vederea folosirii sistemului de proiecție Stereografic 1970. Acest proces determină o transcalcare automată a coordonatelor centrelor de perspectivă ale imaginilor din momentul înregistrării, determinate în sistemul WGS 89, în sistemul Stereografic 1970.

Alinierea imaginilor, care practic reprezintă operația de orientare a acestora din fotogrammetria clasică, s-a realizat în mai multe etape. Prima etapă a implicat identificarea și suprapunerea trăsăturilor comune din imagini folosind algoritmul SIFT și implementarea BAA pentru estimarea structurii 3D a zonei studiate precum și pentru estimarea parametrilor de orientare interioară și exterioară a camerei. Unirea imaginilor a fost importantă pentru reconstrucția geometriei rețelei imaginii precum și pentru îndeșirea ulterioară a norului de puncte. Pentru a înlătura eventualele identificări și suprapuneri greșite dintre imagini s-a folosit filtrarea, rezultând un nor rar de puncte 3D la o scară arbitrară. În funcție de natura reliefului, de precizia urmărită și de resursele calculatorului folosit s-a optat în alinierea imaginilor pentru opțiunea High. Rezultatul obținut a fost un nor format din 786943 puncte, procesul de aliniere durând 48 min (fig. 5.26)



Fig. 5.26. Norul rar de puncte obținut în urma procesului de aliniere al imaginilor
Sparse point cloud obtained following the alignment of images

A doua etapă a presupus aducerea la scară și georeferențierea norului de puncte prin intermediul reperilor fotogrammetrici de coordonate cunoscute. Aceștia au fost inserați dintr-un fișier *.txt* realizat anterior care conține coordonatele spațiale X, Y și Z și denumirea lor. Deoarece prin studiul valorilor medii ale indicatorilor de precizie HRMS și VRMS s-a determinat că metoda VRS cu timpul de observație de 10 min oferă rezultatele cele mai bune, s-au folosit coordonatele obținute folosind acest mod de conectare (§. 5.3.3.1 și 5.3.3.2). După inserare, aceștia au apărut în zona studiată fiind materializați distinct și ușor de observat (fig. 5.27).



Fig. 5.27. Poziția reperilor fotogrammetrici redată pe norul inițial de puncte
Position of GCPs given of the initial point cloud

După inserarea reperilor fotogrammetrici s-a realizat suprapunerea poziției acestora din spațiul teren cu cea din spațiul imagine prin așezarea simbolului din imagine pe corespondentul reprezentării din teren (fig. 5.28). Procesul s-a realizat pentru toate imaginile digitale în care apar reperii fotogrammetrici determinați în faza de teren.

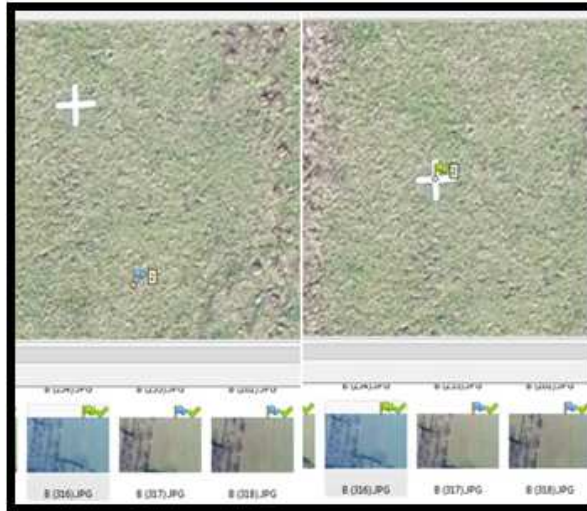


Fig. 5.28. Așezarea reperului în poziția corectă
Placing the GCP in the correct position

Rezultatul acestei etape a fost optimizarea norului de puncte, proces prin care parametrii camerei și poziția 3D a punctelor au fost ajustate în vederea minimizării erorilor. Prin minimizarea erorilor s-a obținut o structură 3D optimă și au fost optimizați parametrii camerei.

Generarea și vizualizarea norului dens a implicat algoritmi de unire a imaginilor folosind MVS aplicați norului rar de puncte, scalat și georeferențiat. În această etapă au fost folosiți parametrii camerei și poziția 3D a punctelor, toate ajustate în etapa anterioară. Astfel, s-a obținut un nor de puncte de aproximativ aceeași densitate, uneori chiar mai mare decât densitatea punctelor preluate cu ajutorul sistemelor LiDAR. Din cele cinci opțiuni de îndesire a norului rar de puncte (Lowest, Low, Medium, High și Ultra high) s-a optat pentru opțiunea High. În acest fel, de la norul de puncte generat anterior (786943 puncte) s-a ajuns la norul dens de puncte (532046044 puncte), durata procesului fiind de 15 ore (fig. 5.29).



Fig. 5.29. Norul dens de puncte obținut prin îndesirea norului rar
Dense point cloud obtained through thickening the sparse cloud

Generarea MDS-ului și al ortomozaicului s-a bazat pe norul dens de puncte obținut în etapa anterioară. Pentru generarea MDS-ului s-a folosit funcția *Build DEM* în urma căreia s-a obținut rețeaua TIN. În urma rulării programului Agisoft Photoscan, folosind ca date de intrare imaginile aeriene orientate, s-a obținut MDS-ul cu o rezoluție spațială de 4.29 cm/pixel și o densitate a punctelor de 544 puncte/m² (fig. 5.30), (Anexa 1).

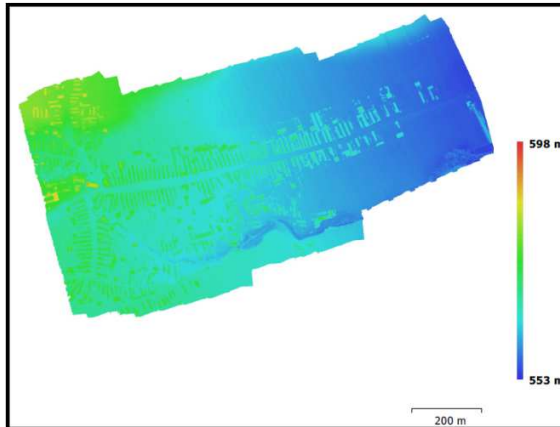


Fig. 5.30. Modelul digital al suprafeței corespunzător suprafeței studiate extras din raportul programului Agisoft Photoscan

Digital surface model appropriate for the surface studied produced from the report of Agisoft Photoscan software

Exportul ortomozaicului s-a făcut prin selectarea fișierelor .tfw și a avut ca scop ușurarea prelucrărilor ulterioare. Fișierele exportate sunt necesare prelucrărilor ulterioare cu alte programe. Exportul raportului s-a realizat în vederea evidențierii informațiilor referitoare la precizii, timpi de procesare, norul dens de puncte, MDS-ul ș.a.

Importul ortofotoplanului în programul Global Mapper s-a realizat în vederea prezentării întregii zone studiate. Etapa este necesară datorită mărimii fișierelor .tfw, care sunt greu de încărcat și utilizat în mediile de lucru (AutoCAD, Bentley, QGIS, ArcGIS ș.a.). Ca atare, pentru o utilizare optimă a produselor obținute cu ajutorul programului Agisoft Photoscan sub aspectul timpului de încărcare al fișierelor .tfw generate în urma exportului s-a procedat la încărcarea acestor fișiere în programul Global Mapper. Fișierul obținut în Global Mapper a fost exportat cu extensia .ecw și cuprinde toată zona studiată (fig. 5.31).

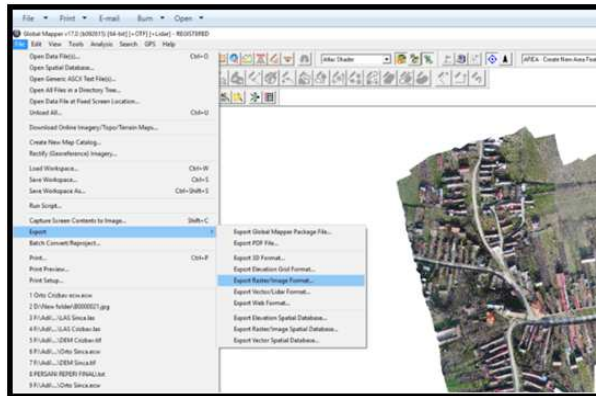


Fig. 5.31. Secvența de lucru în vederea exportării ortofotoplanului folosind programul Global Mapper
Working sequence for exportation of orthophoto using Global Mapper software

În afara procesului prezentat mai sus, care a implicat folosirea reperilor fotogrammetrici, s-a realizat și ortofotoplanul fără folosirea reperilor fotogrammetrici. În acest sens, procesul s-a derulat încă o dată, dar fără a include etapele legate de introducerea coordonatelor reperilor și poziția acestora. În final, au fost obținute două ortofotoplanuri, unul în care s-au folosit reperii fotogrammetrici și unul fără reperi.

5.6. Analiza calității ortofotoplanurilor

Realizarea unor produse cartografice cu o precizie care să corespundă nevoilor cadastrului modern este o temă de actualitate în țara noastră datorită lipsei unei evidențe digitale a tuturor imobilelor.

Ortofotoplanul, ca produs cartografic obținut cu ajutorul sistemului UAV, constituie baza în obținerea planului cadastral, precizia acestuia fiind dependentă de precizia cu care a fost realizat ortofotoplanul.

Pentru zona studiată s-au realizat două ortofotoplanuri, cu și fără folosirea reperilor fotogrammetrici în procesul de orientare al imaginilor digitale (§ 5.5.7.). Pentru ambele ortofotoplanuri s-a evaluat precizia având în vedere că sistemul GNSS de la bordul UAV-ului a fost în simplă frecvență.

Sub raport calitativ, ortofotoplanul a fost verificat în legătură cu înregistrarea detaliilor, în special a celor înalte, al vederii laterale a detaliilor, liniilor întrerupte, radiometriei ș.a. În ceea ce privește imaginea laterală a detaliilor s-a constatat că astfel de situații nu se întâlnesc, acestea fiind proiecții ortogonale, comparativ cu cele din imaginile neprelucrate (fig. 5.32).



Fig. 5.32. Vederea laterală a obiectelor în imaginea neprelucrată (a) și vederea ortogonală a aceluiași detalii pe ortofotoplan (b)

Side view of objects in the raw image (a) and orthogonal view of the same details on orthophoto (b)

În imaginile neprelucrate detaliile înalte apar ca vederi ușor laterale. Având în vedere că în procesul de ortorectificare s-a folosit MDS-ul și nu MDT-ul, aceste imagini laterale au fost transformate în imagini ortogonale, eliminându-se astfel efectele provocate de proiecția perspectivă.

Inspekția vizuală a ortofotoplanurilor a condus totuși la reliefarea unor diferențe legate de textură și culoare. Aceste diferențe au apărut din cauza valorilor radiometrice diferite ale pixelilor înregistrați pe imagini diferite și care nu au fost corectate în procesul de mozaicare. Diferențele sunt provocate de unghiul sub care au fost preluate imaginile în special la îmbinarea blocurilor fotogrammetice și de unghiul de incidență al razelor solare sub care au fost înregistrate detaliile din teren (Ghimbășan et al., 2019b).

În urma inspekției vizuale a întregului ortofotoplan nu au fost sesizate linii întrerupte cauzate de lipsa pixelilor sau deformări ale detaliilor din teren pe anumite direcții. Imaginile au fost clare, lipsite de zgomot, ceea ce arată că nu au existat disfuncționalități ale senzorului sau condiții atmosferice improprie, raportul semnal-zgomot fiind mare.

Sub raport cantitativ, calitatea ortofotoplanului obținut poate fi dată de:

- precizia determinată de programul folosit la întocmirea ortofotoplanului care se bazează în calcul numai pe reperii fotogrammetrici;
- precizia calculată în funcție de poziția detaliilor (punctelor de control) determinate pe teren și comparate cu poziția acestora pe ortofotoplan. Aceasta este precizia efectivă a ortofotoplanului și presupune identificarea și măsurarea unor detalii ușor sesizabile și clar înregistrate pe imagine.

În continuare se vor prezenta preciziile redade în raportul final oferit de programul Agisoft Photoscan în cazul ortofotoplanului obținut prin folosirea reperilor fotogrammetrici, iar prin comparație se vor prezenta și caracteristicile ortofotoplanului obținut fără reperi fotogrammetrici (Anexele 1 și 2).

Rezoluția spațială a ortofotoplanului întocmit pe baza reperilor fotogrammetrici a fost de 2,14 cm, iar RMSE de 1,12 cm.

Poziția fiecărui reper a fost identificată în 11 până la 28 imagini. Eroarea pe axa X a fost de 0,80 cm, pe axa Y de 0,71 cm, iar pe Z de 0,35 cm. Dacă luăm în considerare axele X și Y, eroarea planimetrică a fost de 1,06 cm. Legat de variația erorilor pe verticală având în vedere MDS-ul, acestea au fost între limitele $\pm 0,70$ cm (fig. 5.34) (Anexa 1).

În cazul ortofotoplanului întocmit fără folosirea reperilor fotogrammetrici precizia a fost mult mai mică, de ordinul metrilor (tab. 5.6) (Anexele 1 și 2).

Tabelul 5.6. Precizile obținute pentru cele două ortofotoplanuri
Accuracies obtained for the two orthophotos

Nr. crt.	Eroarea	UAT Crizbav	
		cu reperi fotogrammetrici	fără reperi fotogrammetrici
1	axa X (m)	0,008	1,41
2	axa Y (m)	0,007	3,88
3	axa Z (m)	0,004	1,45
4	axele X și Y (m)	0,011	4,12
5	RMSE (m)	0,011	4,37



Fig. 5.34. Localizarea reperilor fotogrammetrici. Erorile pe axele X și Y sunt reprezentate de forma elipsei. Eroarea pe axa Z este reprezentată de culoarea elipsei. Estimarea locației reperului este marcată printr-un punct.

GCP location. X, Y errors are represented by ellipse shape. Z error is represented by ellipse color. Estimated GCP location are marked with a dot or crossing.

Diferența semnificativă de precizie este dată de modul de realizare a compensării blocului fotogrammetric. În cazul folosirii reperilor fotogrammetrici, coordonatele acestora au fost incluse în procesul de compensare, iar precizia mare cu care au fost determinați pe teren a determinat creșterea preciziei ortofotoplanului. În cel de-al doilea caz, compensarea s-a realizat numai prin includerea coordonatelor

centrelor de perspectivă a imaginilor date de sistemul GNSS care a fost în simplă frecvență (Ghimbășan et al., 2019b). Ca atare, în acest caz precizia ortofotoplanului este dependentă de precizia cu care au fost determinate centrele de perspectivă (fig. 5.35).

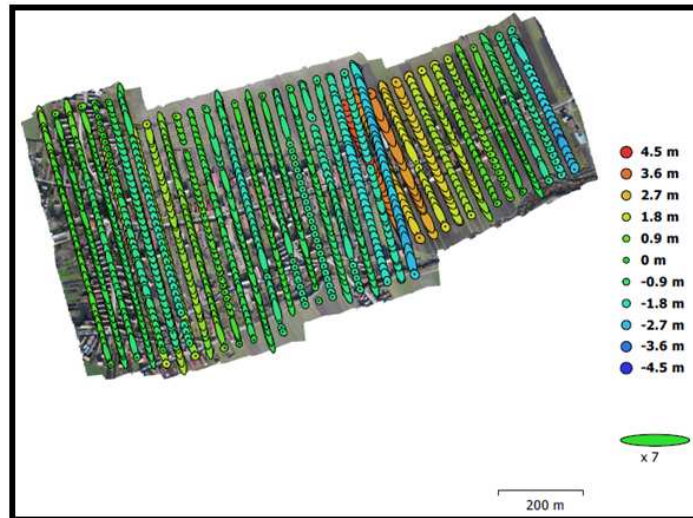


Fig. 5.35. Localizarea poziției camerei în momentul fotografierii și erorile estimate. Eroarea pe axa Z este reprezentată de culoarea elipsei. Estimarea poziției centrului de fotografiere este marcată printr-un punct.

Camera locations and estimates error. X, Y errors are represented by ellipse shape. Z error is represented by ellipse color. Estimated shooting centers of cameras location are marked with a dot or crossing

Pentru a surprinde cât mai corect diferența de precizie dintre cele două ortofotoplanuri s-a realizat și o suprapunere a coordonatelor celor 12 reperi fotogrammetrici pe ortofotoplanul obținut fără folosirea reperilor fotogrammetrici, determinându-se prin calcul o deplasare totală de 1,43 m.

Precizia ortofotoplanului obținut prin folosirea reperilor fotogrammetrici s-a evaluat prin compararea coordonatelor unor detalii determinate pe teren (colțuri de garduri, guri de canale ș.a.) și coordonatele acelorași detalii identificate pe ortofotoplan (fig. 5.36). Detaliile folosite în evaluarea preciziei au fost răspândite pe întreaga zonă, fiind acoperită o suprafață de peste 30% din suprafața totală a ortofotoplanului, depășind prevederile normativelor în vigoare (10% din suprafață).

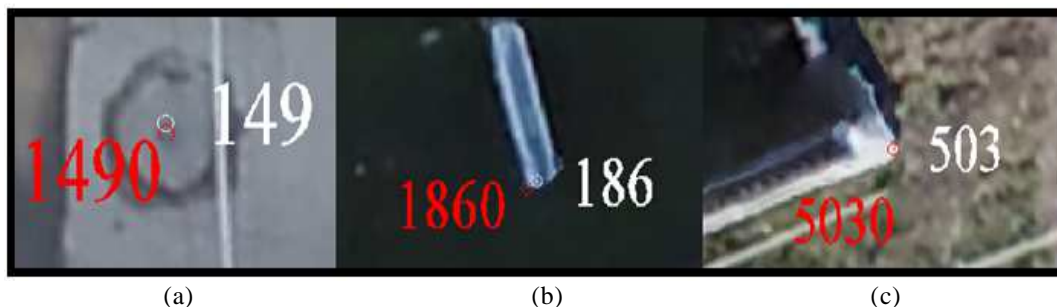


Fig. 5.36. Exemple de detalii folosite în evaluarea preciziei ortofotoplanului (alb- detaliu determinat pe teren; roșu- detaliu determinat pe ortofotoplan)
a – gură de canal; b – colț de pod; c – colț de gard
*Examples of details in assessment the accuracy of orthophoto
(white- detail determined on site; red – detail determined on orthophoto)
a –manhole; b – bridge corner; c –fence corner*

Precizia s-a calculat ca medie a deplasărilor totale pentru 103 detalii determinate pe teren și identificate pe ortofotoplan, rezultatul fiind de 1,60 cm, iar eroare medie pătratică de 2,16 cm. Eroarea medie pătratică pe axa X are valoarea de 1,73 cm, iar pe axa Y de 1,30 cm. Comparativ cu normele tehnice în vigoare care prevăd ca precizia în cazul terenurilor aflate în intravilan și împrejmuite să fie de ± 10 cm (Ordinul 534/2001 și Ordinul 700/2014), precizia obținută satisface aceste cerințe, fiind superioare acestora. Obținerea unei astfel de precizii, de ordin centimetric, constituie un argument incontestabil în folosirea UAV-urilor pentru culegerea de date geospațiale pentru întocmirea ortofotoplanurilor, utilizate la rândul lor ca bază pentru obținerea planului cadastral.

5.7. Realizarea planului cadastral având ca suport ortofotoplanul

5.7.1. Întocmirea planului cadastral prin vectorizare

Vectorizarea ortofotoplanului se realizează prin generarea primitivelor geometrice (punct, linie, poligon) cu ajutorul cărora pot fi definite și poziționate elementele de planimetrie, în speță contururi și alte detalii topografice de interes.

Din punct de vedere practic vectorizarea ortofotoplanului a presupus parcurgerea detaliilor și poziționarea acestora prin vertex-uri ale căror coordonate X și Y sunt înregistrate automat, permițând compararea ulterioară a coordonatelor acestora cu cele determinate pe teren. Operația de vectorizare conferă următoarele avantaje: este simplă, ușor de realizat, poate fi efectuată de un personal fără o pregătire în domeniu, necesită o dotare de hard și soft obișnuită.

Practic, vectorizarea ortofotoplanului s-a realizat cu ajutorul programului AutoCAD 2006 și a presupus parcurgerea detaliilor observabile în imaginea ortofotoplanului (garduri, construcții, răzoare ș.a.) și poziționarea lor prin puncte, linii și poligoane. Detaliile vectorizate sunt construite în formatul imagine sub forma unor segmente de lungime și direcție cunoscută, respectiv sub formă vectorială. Planul cadastral vectorizat s-a întocmit la scara 1:500, dar pentru a surprinde o suprafață de teren reprezentativă studiului realizat, scara de reprezentare a planului în format analogic a fost de 1:1000 (Anexa 3).

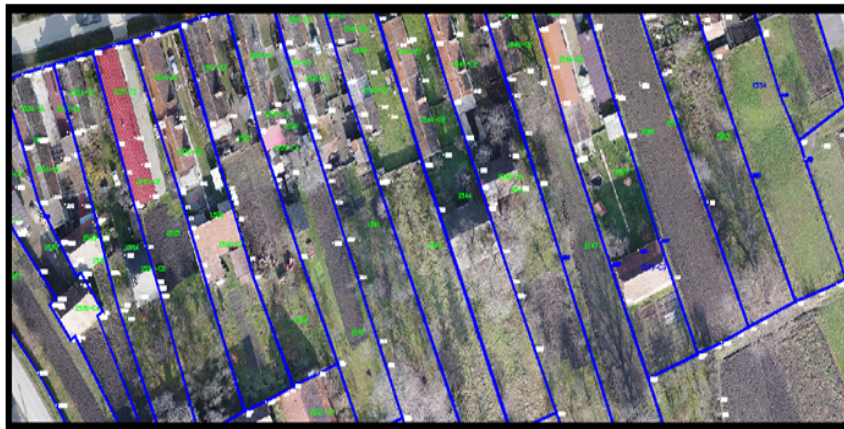


Fig. 5.38. Porțiune din ortofotoplanul vectorizat
Part of the vectorized orthophoto

Vectorizarea ortofotoplanului conduce, în final, la reprezentarea tuturor imobilelor sub forma unor poligoane definite de poziția planimetrică a vertex-urilor. Din asamblarea acestor imobile se obține *planul cadastral vectorizat*. Ca orice reprezentare riguroasă și aceasta s-a definitivat prin aplicarea simbolurilor specifice, a semnelor convenționale și a numerelor cadastrale (fig. 5.38). În urma comparării coordonatelor care definesc poligoanele imobilelor cu cele determinate prin măsurători terestre s-a determinat că precizia planului cadastral, dată ca eroare medie pătratică, este de 5,32 cm.

5.7.5. Compararea planului cadastral cu baza de date eTerra 3

5.7.5.1. Deplasări parțiale, totale și medii

Extragerea coordonatelor plane X și Y s-a realizat pentru fiecare vertex al imobilelor rezultate din vectorizare și din baza de date prin crearea unui număr de ordin distinct în vederea comparării ulterioare. De exemplu, pentru punctele din baza de date oficială s-au folosit numere începând de la 1, 2, 3, ..., n, iar pentru cele rezultate din vectorizare s-au folosit numerele 1', 2', 3', ..., n'. În acest mod coordonatele au putut fi folosite și prelucrate comod și automat. De menționat este faptul că seturile de coordonate sunt date direct în sistemul de proiecție Stereografic 1970, nefiind nevoie de prelucrarea acestora.

Pe lângă coordonatele care definesc imobilele și suprafețele acestora sunt date numerice importante, cu implicații juridice deosebite. Efectiv, ariile s-au obținut apelând funcțiile speciale ale programului AutoCAD și s-au trecut într-o foaie de lucru Excel în vederea comparării lor.

După vectorizarea tuturor limitelor sesizate s-a efectuat o suprapunere a acestora pe limitele oficiale exportate din baza de date a ANCPI (e Terra 3) și s-a făcut o primă inspectare vizuală.

Pentru toate imobilele din cuprinsul ortofotoplanului care au făcut obiectul studiului s-a determinat deplasarea totală d_t . În prima fază s-au calculat deplasările parțiale d_x și d_y , ca diferențe între abscisele și ordonatele fiecărui punct obținute prin vectorizarea ortofotoplanului și cele din baza de date oficială (fig. 5.46):

$$d_x^i = x_v^i - x_t^i \quad \text{respectiv} \quad d_y^i = y_v^i - y_t^i \quad (5.3)$$

$$\text{și} \quad d_t = \sqrt{d_x^2 + d_y^2} \quad (5.4)$$

în care: x_v^i – coordonata X a punctului vectorizat;

x_t^i – coordonata X a punctului de referință;

y_v^i – coordonata Y a punctului vectorizat;

y_t^i – coordonata Y a punctului de referință;

d_x^i – diferența dintre coordonatele vectorizate și cele de referință corespunzătoare axei X;

d_y^i – diferența dintre coordonatele vectorizate și cele de referință corespunzătoare axei Y;

d_t – deplasarea totală.

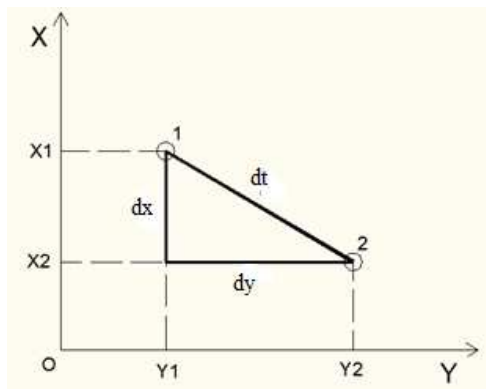
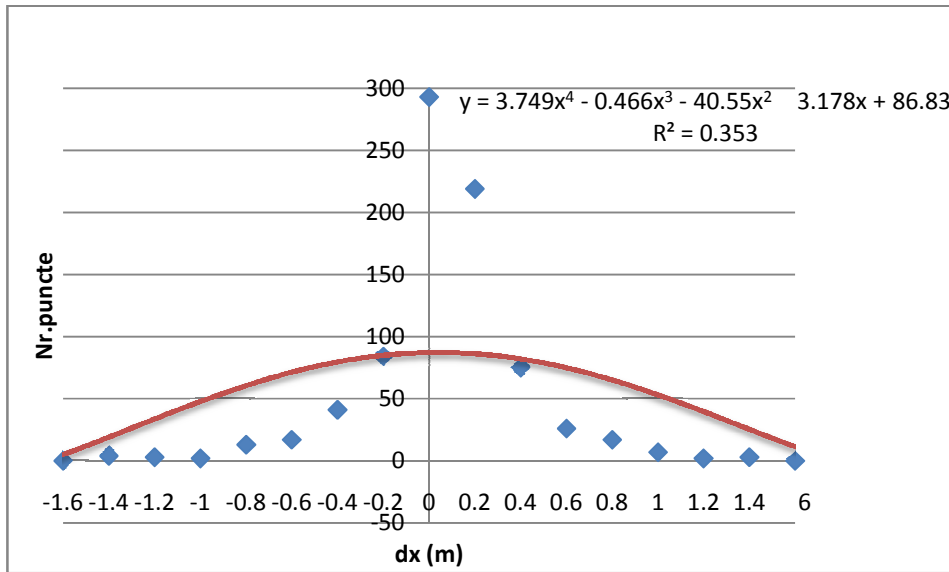
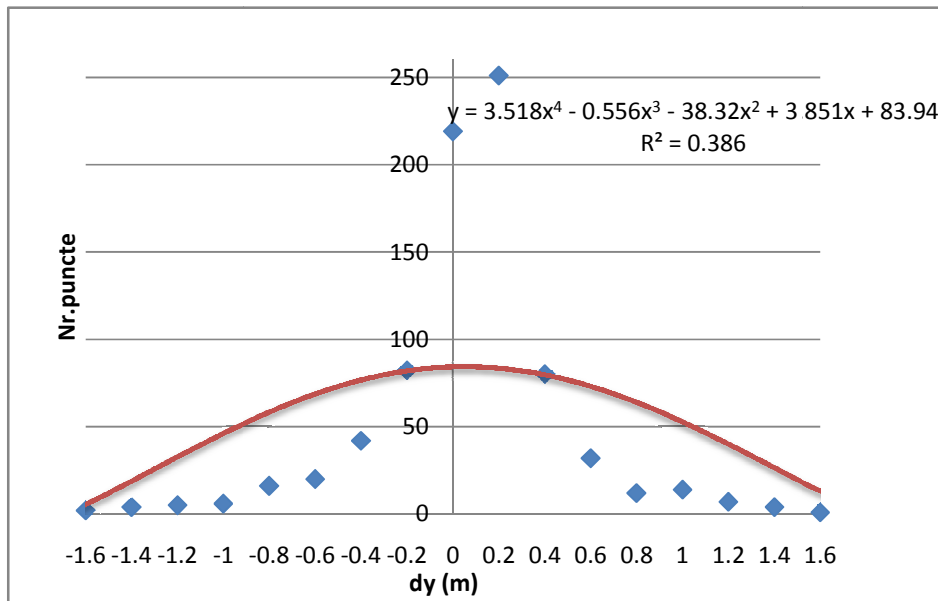


Fig. 5.46. Deplasările parțiale (d_x , d_y) și deplasarea totală (d_t) de poziționare în cazul vectorizării
Partial displacement (d_x , d_y) and total displacement (d_t) of position for vectorization

Pe baza diferențelor dintre coordonatele limitelor în care valoarea de referință a fost considerată cea din baza de date a ANCPI (e Terra 3) s-au calculat deplasările pe axele X și Y, apoi s-au calculat deplasările totale care au fost clasificate pe grupe de 20 cm (fig. 5.47 și 5.48).



(a)



(b)

Fig. 5.47. Distribuția deplasărilor parțiale de orientare
 a. deplasarea d_x b. deplasarea d_y
Distribution of partial displacement of vectorization
 a. displacement d_x b. displacement d_y

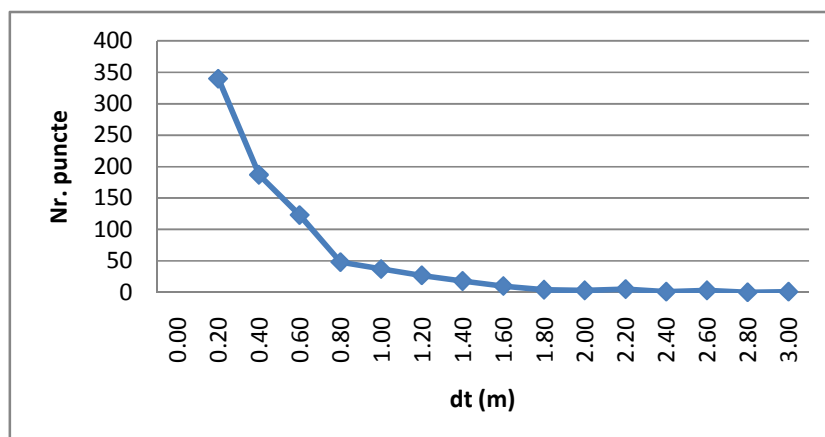


Fig. 5.48. Distribuția deplasărilor totale în urma vectorizării
Distribution of total displacements after the vectorization

Analizând numărul de puncte corespunzător unei anumite grupe s-a remarcat faptul că frecvența cea mai mare corespunde grupelor de 0-20 cm și 20-40 cm, cu procente de 42% și 23% din numărul total de puncte (fig. 5.48). Deplasările pe axele X și Y se aranjează după o curbă Gauss, în general, fără asimetrie (fig. 5.47). Abaterea standard calculată arată că media limitelor stabilite se găsește în intervalul ± 35 cm pentru axa X și ± 49 cm pentru axa Y. Dacă se are în vedere toleranța de ± 10 cm din normele tehnice din România pentru terenurile aflate în zona intravilană se constată că există necorespondențe mari între datele oficiale existente și cele obținute pe baza orofotoplanului realizat cu UAV, doar un procent de 15% din totalul de puncte încadrându-se în toleranța ± 10 cm.

Procentul mic, de 15%, a determinat o verificare mai atentă a măsurătorilor realizate care au stat la baza cercetărilor și a calității ortofotoplanului. Aceasta s-a impus deoarece, pentru referință, adică pentru comparație, s-au folosit date oficiale, recepționate și aflate în baza de date eTerra 3, considerate că reflectă realitatea din teren. În urma verificărilor realizate s-a constatat că ridicările topografice și ortofotoplanul întocmit în prezentul studiu nu sunt afectate de greșeli. În această situație s-au analizat diferențele dintre coordonatele punctelor din baza de date și ale acelorași puncte de pe ortofotoplan în vederea identificării cauzelor.

Rezultatele au arătat că datele din baza de date oficială nu reflectă, în totalitate, realitatea. Diferențele semnificative constatate ar putea fi explicate, în special, de metodologia de lucru adoptată la implementarea programului CESAR. S-a constatat că punctele care descriu frontul la strada principală au deplasări ce se încadrează în toleranțele admise; în schimb, cele aflate pe celelalte laturi ale imobilelor, mult mai numeroase, au deplasări ce pot ajunge la 2 m, iar în anumite situații, chiar mai mult. O posibilă explicație ar fi că s-au executat măsurători precise pentru frontul stradal al imobilelor, în timp ce punctele care formează limitele existente în interiorul imobilului au fost extrase din vechile planuri cadastrale depășite moral și de precizie nesatisfăcătoare pentru cerințele tehnice de azi.

În sprijinul celor constatate este și distribuția procentelor cumulate corespunzătoare grupelor în care au fost clasificate deplasările totale (fig. 5.49). Astfel, deplasările totale de până la 10 cm reprezintă 15%, cele de până la 0,5 m 73%, iar deplasările până la 1 m un procent de 91%. Așadar, numai o mică parte din limitele aflate în baza de date oficială se încadrează în toleranțele tehnice cadastrale admise în prezent în România. Restul limitelor aflate în baza de date a ANCPI nu reflectă situația din teren. Corectarea acestor limite se poate realiza numai prin lucrări cadastrale de actualizare care necesită costuri suplimentare și timp.

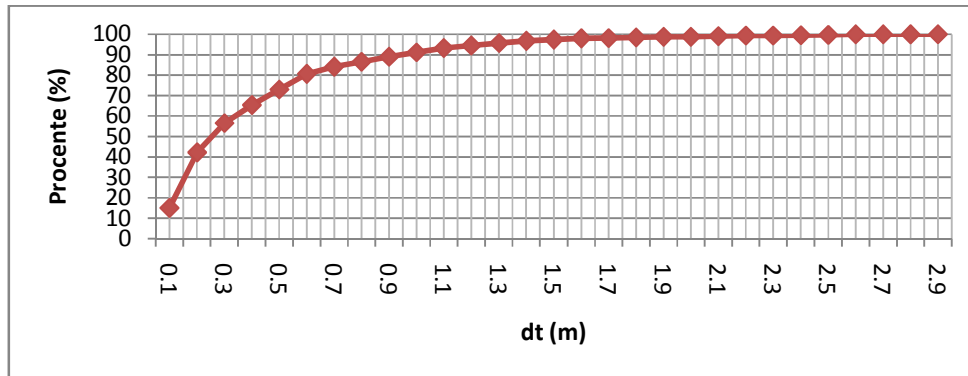


Fig. 5.49. Distribuția procentuală cumulată corespunzătoare grupelor deplasărilor totale
Cumulated percentages distribution of total displacement groups

Pe lângă deplasările parțiale și totale s-a calculat și eroarea medie pătratică a unei singure măsurători (m_0) folosind relația cunoscută din teoria erorilor:

$$m_0 = \pm \sqrt{\frac{[vv]}{n-1}} \quad (5.5)$$

unde: [vv]= suma pătratelor deplasărilor totale individuale;
n = numărul punctelor.

Valoarea obținută în urma efectuării calcului matematic reprezintă eroarea de poziționare prin vectorizare în cazul unei singure măsurători și, în acest caz, este de $\pm 0,60$ m.

În funcție de aceiași termeni poate fi calculată și eroarea medie a mediei măsurătorilor, folosind relația:

$$m = \pm \sqrt{\frac{[vv]}{n(n-1)}} \quad (5.6)$$

Această eroare are valoarea de $\pm 0,02$ m și însoțește întotdeauna media măsurătorilor (M), care din calcul are valoarea de 0,41 m și se prezintă sub forma $M \pm m$. Prin urmare, valoarea adevărată se găsește în intervalul definit astfel: $(M-m) < M < (M+m)$. În cazul de față, intervalul în care se găsește valoarea adevărată este $0,39 \text{ m} < M < 0,43 \text{ m}$.

5.7.5.2. Evaluarea suprafețelor prin vectorizare și corelarea cu deplasările totale

Necoresponența limitelor dintre baza de date oficială și cele vectorizate pe ortofotoplan conduce implicit și la diferențe de suprafață pentru fiecare imobil. Suprafața de bază, considerată referință și de la care s-a pornit analiza, a fost suprafața existentă în baza de date a ANCPPI descărcată de pe platforma *e Terra 3*. Efectiv, au fost comparate suprafețele vectorizate de pe ortofotoplanul întocmit cu cele oficiale ale aceluiași imobil, prin efectuarea de diferențe simple și calcule de procente.

Pe baza rezultatelor obținute din compararea celor două suprafețe pentru imobilele luate în studiu s-a determinat că 30% din totalul imobilelor se încadrează într-un procent de 1%, 59% într-un procent de 2%, iar toate imobilele se încadrează într-un procent de 10% (tab. 5.8).

Tabelul 5.8. Centralizarea diferențelor de suprafață pe clase, număr de imobile și procente
Centralization of areas differences on classes, number of real estates and percentages

Nr. crt.	Clase	Nr. imobile	Nr. cumulat	Procente imobile	Procente cumulate
1	[0-1%]	33	33	30	30
2	(1-2%]	32	65	29	59
3	(2-5%]	37	102	34	93
4	(5-10%]	8	110	7	100

În continuare s-a verificat dacă între deplasările coordonatelor și diferențele de suprafață există o dependență. Astfel, pe baza deplasărilor totale ale fiecărui punct ce descrie lățișul unui imobil s-a calculat o deplasare totală medie care a fost analizată în legătură cu valoarea diferenței de suprafață a aceluiași imobil, considerată în modul. Din reprezentarea grafică a valorilor obținute se deduce faptul că între cele două variabile luate în considerare există o legătură strânsă, cu un coeficient de determinare de 0,56 și un coeficient de corelație de 0,75 (fig. 5.50).

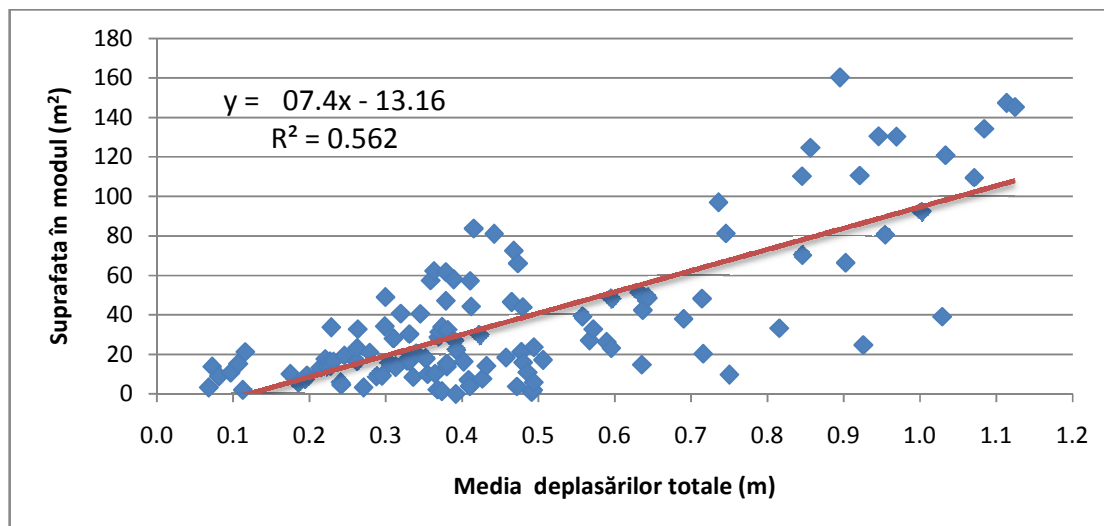


Fig. 5.50 Modelul predictiv dintre deplasările totale medii și diferențele de suprafață (în modul)
Predictive model between the average of total displacement and surface differences (within the module)

Rezultatele arată că diferențele semnificative de coordonate conduc la diferențe de suprafață care sunt direct proporționale cu mărimea acestora. Rotirile și translațiile geometriilor mobile vectorizate față de cele oficiale nu afectează diferențele de suprafață provocate de diferențele de coordonate.

5.8. Concluzii

Obținerea și utilizarea unui ortofotoplan ca bază pentru obținerea planului cadastral presupune parcurgerea unor etape de lucru în teren și efectuarea de operații la birou, care necesită aparatură și programe specializate. În aceeași ordine de idei, nici atenția și pregătirea operatorului nu este de neglijat, având în vedere multitudinea de etape și operații de specialitate care trebuie parcurse. Rezultatele privind obținerea ortofotoplanurilor reliefează diferite aspecte ce caracterizează etapele parcurse.

La stabilirea poziției reperilor fotogrammetrici prin cele trei metode de rețectare (SFGH, FĂGĂ și VRS) rezultatele arată că determinarea coordonatelor unui punct prin metoda VRS asigură cea mai bună precizie, iar timpul de staționare nu influențează cu mult preciziile obținute, care sunt de nivel centimetric și subcentimetric. De asemenea, din analiza indicatorilor de precizie HRMS și VRMS în funcție de poziția din intravilanul și extravilanul localității a reperilor fotogrammetrici a putut fi stabilită influența de ordin subcentimetric pe care o au detaliile din teren (stâlpi electrici, construcții ș.a.) asupra preciziei coordonatelor. Dacă s-au luat în considerare valorile medii și diferențele obținute prin folosirea stațiilor FĂGĂ și SFGH se poate afirma faptul că între mărimea vectorului și precizia obținută există o dependență inversă.

Efectuarea zborului și reluarea de imagini digitale s-au realizat pe baza unui proiect de zbor realizat direct pe teren, deoarece programul PIX 4D a permis stabilirea parametrilor în mod automat, direct pe teren. Zborul s-a realizat în condiții atmosferice și de luminozitate clare, iar calitatea imaginilor s-a apreciat, încă din teren, ca fiind bună.

Prelucrarea imaginilor digitale s-a realizat cu programul Agisoft Photoscan, produsul final fiind ortofotoplanul. Au fost realizat două ortofotoplanuri, unul în rețea și unul folosind reperi fotogrammetrici în procesul de compensare și triangulație și altul fără reperi fotogrammetrici. Aceasta a permis evidențierea

influenței covârșitoare pe care o au reperii fotogrammetrici în cazul folosirii UAV-urilor de mici dimensiuni echipate cu sisteme GNSS în simplă frecvență. În cazul folosirii reperilor fotogrammetrici precizia ortofotoplanului calculată de program a fost de 1,06 cm, iar cea determinată prin corelarea pozițiilor diferitelor detalii de 2.16 cm. Precizia planimetrică a ortofotoplanului obținut fără reperi fotogrammetrici, numai cu datele GNSS, a fost de 4,37 m. Timpii de procesare a imaginilor au fost de 19 ore în cazul folosirii reperilor fotogrammetrici și de 18 ore 17 minute în cazul nefolosirii acestora.

În urma confruntării geometriei imobilelor extrase prin vectorizarea limitelor de pe ortofotoplanul întocmit cu cele oficiale, din baza de date eTerra 3, s-a constatat că doar 15% din coordonate se încadrează în toleranța de ± 10 cm acceptată de normativele în vigoare. În ceea ce privește diferențele procentuale ale suprafețelor, acestea se încadrează în procentul de până la 10%. Prin calcul s-a determinat că eroarea medie pătratică a unei singure măsurători este de $\pm 0,60$ m și că intervalul în care se găsește valoarea adevărată a mediei măsurătorilor este cuprins între 0,39 cm și 0,43 cm. De asemenea, s-a determinat că un procent de 75% din totalul de imobile au putut fi recunoscute, fiind aduse în discuție cazurile favorabile și nefavorabile la identificarea limitelor. Prin analiza deplasărilor totale medii ale unui imobil cu diferența suprafeței, în modul, s-a constatat dependența strânsă între cele două mărimi, coeficientul de corelație fiind de 0,75.

Din compararea celor două seturi de valori provenite din sursele oficiale, respectiv din planul cadastral vectorizat, se mai pot face următoarele precizări:

- au fost numeroase situațiile în care s-au constatat neconcordanțe între limitele oficiale și cele vectorizate, acestea fiind preponderente pe laturile care definesc imobilul, în afară de frontul la stradă, și în cazul construcțiilor, unde deplasările între coordonatele oficiale și cele vectorizate au ajuns și la 2 m;
- în cazul limitelor definite de frontul stradal sau gardurile din spatele grădinilor, diferențele dintre cele două seturi de coordonate au avut valorile cele mai mici (sub 10 cm).

Deși scopul și obiectivele tezei nu au fost de verificare a bazei oficiale de date (acestea constituind de fapt datele de referință), pe parcursul cercetărilor s-au constatat diferite aspecte. Având în vedere că măsurătorile topografice și ridicările aerofotogrammetrice din studiul realizat asupra unei porțiuni din intravilanul localității Crizbav au fost efectuate independent față de cele folosite în cadrul programului CESAR, s-a constatat că baza de date, deși actuală și digitală, nu reflectă în totalitate realitatea din teren. În acest sens apare necesitatea realizării de lucrări topo-cadastrale în vederea actualizării geometriei imobilelor, conform situației din teren. Mai mult, deși lucrările realizate în cadrul programului au fost recepționate, au fost constatate atât neconcordanțe în ceea ce privește limitele cadastrale, cât și al amplasamentelor construcțiilor, parte din acestea fiind ușor rotite și/sau translatate, unele dintre acestea fiind poziționate incorect în totalitate.

VI. ÎNTOCMIREA PLANULUI PARCELAR PENTRU FONDUL FORESTIER DIN ZONA TEST ȘINCA

6.1. Introducere

Actualmente, datorită presiunii directivelor europene, dar și a deținătorilor de drept, retrocedarea terenurilor aflate în extravilanul UAT-urilor și preluate abuziv de către regimul comunist se poate face în două moduri: (1) prin realizarea de planuri parcelare la cererea persoanelor interesate sau a primăriilor din resurse economice proprii și (2) prin întocmirea de planuri cadastrale pe sectoare dacă se urmărește finanțarea prin PNCCF. Între cele două piese cartografice nu există diferențe majore de structură și reprezentare, finalitatea lor fiind înscrierea în cărțile funciare și acordarea unui număr cadastral unic sau eliberarea de titluri de proprietate persoanelor îndreptățite.

În studiul efectuat asupra localității Șinca (§ 2.2.) s-a avut în vedere întocmirea unui plan parcelar pentru terenurile din fondul forestier folosind ca sursă un ortofotoplan realizat în urma achiziționării de imagini digitale cu un UAV. Datele obținute din vectorizarea ortofotoplanului au fost confruntate cu datele din amenajamentul silvic, folosit ca referință. Obiectivele acestor cercetări au fost de a evidenția limitele în care se poate utiliza tehnica UAV în stabilirea graniței dintre fondul forestier și alte categorii de folosință, în speță fondul agricol, dar și compararea suprafețelor trecute dintr-un fond în altul.

Amenajamentul silvic în format digital a fost folosit ca referință datorită prevederilor legislației în vigoare care fac referire expresă la respectarea limitelor din amenajament, cu atât mai mult dacă acestea sunt întocmite în format digital. Se pune un accent deosebit pe monitorizarea intrărilor și ieșirilor de terenuri în și din fondul forestier prin respectarea unei legislații tot mai restrictive și rigide, aceste aspecte având ca implicație directă operarea modificărilor prin continua actualizare a planurilor.

6.3. Proiectarea, marcarea și determinarea reperilor fotogrammetrici

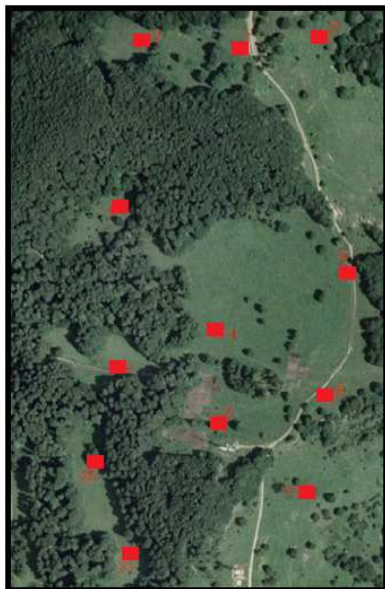


Fig. 6.2. Poziția și distribuția celor 12 reperi fotogrammetrici în cazul zonei de studiu Șinca
Position and distribution of the 12 GCPs for Șinca study

efectuând un singur set de observații, numărul setat de citiri fiind de 50. Sistemul GNSS folosit, modul de lucru adoptat și configurația terenului din zona de lucru au condus la obținerea unor precizii superioare. Precizia de determinare în plan orizontal a fost cuprinsă în intervalul de 0,5-1,2 cm, iar precizia în plan vertical a fost cuprinsă între 1,1-2,2 cm.

Proiectarea amplasării reperilor fotogrammetrici s-a făcut pe baza unui proiect întocmit la birou folosind ortofotoplanul ediția 2006. La alegerea locației reperilor s-a ținut cont de asigurarea unei acoperiri cât mai mare cu semnal, evitându-se suprafețele acoperite cu arbori sau alte tipuri de detalii. De asemenea, la proiectare reperilor s-a mai avut în vedere (Vorovencii, 2010): distribuția uniformă a acestora ținându-se cont de natura neuniformă a reliefului și a detaliilor din zona survolată, obligativitatea amplasării de reperi la marginea suprafeței și la capetele benzilor. În urma proiectării s-a stabilit ca fiind necesari 12 reperi, iar amplasarea acestora s-a făcut în zone cât mai degajate, fără acoperire cu vegetație sau alte detalii (fig. 6.2).

După stabilirea poziției aproximative a punctelor pe ortofotoplan, coordonatele acestora au fost descărcate din proiect și încărcate în sistemul GNSS ASHTECH PROMARK 800 pentru a fi trasate, poziția definitivă a acestora stabilindu-se în funcție de situația întâlnită pe teren. Diferența dintre amplasamentul proiectat la birou și cel din teren nu a fost mai mare de 10 m.

Reperii fotogrammetrici marcați pe teren prin țărșuși de lemn trebuie să poată fi ușor identificați pe imaginile digitale. Marcarea vizibilă

la sol s-a făcut cu saci de rafie decupați astfel încât în centrul acestora să fie țărșul anterior folosit în drumurile realizate cu stația totală. În acest fel, țărșul din centru a fost ușor identificat pe fundalul alb al marcajului în momentul prelucrării imaginilor aeriene datorită diferenței de contrast.

Poziția spațială a celor 12 reperi fotogrammetrici din locația Șinca s-a determinat de-a lungul a două zile corespunzătoare datelor de 09.08.2017 și 10.08.2017. Pentru determinare s-a folosit metoda VRS

6.4. Planificarea zborului și achiziționarea imaginilor cu UAV-ul

Intravilanul unei localități prezintă avantajul unor înălțimi relativ uniforme ale detaliilor și o altitudine aproximativ constantă a terenului, iar folosirea UAV-ului deasupra unei astfel de zone este lipsită de riscuri majore. Utilizarea UAV-ului deasupra zonelor cu fond forestier, care de cele mai multe ori sunt caracterizate de diferențe de nivel mari și pante abrupte, plus curenți de aer imprevizibili, implică adoptarea unor măsuri care să sporească gradul de siguranță a efectuării zborului.

Zona de studiu luată în considerare prezintă caracteristicile enunțate mai sus referitoare la orografia terenului și la existența curenților de aer imprevizibili și din acest motiv s-a stabilit ca înălțimea de zbor să fie de 150 m. Având în vedere că UAV-ul folosit nu poate efectua zboruri pe suprafețe mari, suprafața de studiu a fost survolată prin efectuarea a două zboruri realizate cu zone de suprapunere între ele.

Achiziționarea imaginilor digitale cu ajutorul UAV-ului s-a realizat în data de 26.11.2017, în condiții de vânt și luminozitate optime pentru realizarea zborului și preluarea de imagini. Zborul s-a realizat în urma primirii autorizației de la AACR pentru survolarea la o altitudine cuprinsă între 100 și 200 m. Alegerea efectuării zborului în luna noiembrie este motivată de starea vegetației și în special a lipsei frunzișului care ar fi putut acoperi detalii care să ajute la identificarea și delimitarea limitelor.

Parametrii tehnici de zbor setați în programul PIX 4D au fost: înălțimea de zbor de 150 m, acoperirea longitudinală între imagini de 80%, acoperirea transversală între benzi de 70%, viteza de zbor de 14 m/s. În urma efectuării celor două zboruri, care au avut punct comun de lansare a UAV-ului, imaginile digitale au fost descărcate

în vederea verificării vizuale (fig. 6.5). Primul bloc fotogrammetric a fost format din 266 imagini, iar cel de-al doilea din 180 imagini, mărimea imaginilor variind între 8 Mb și 9 Mb.

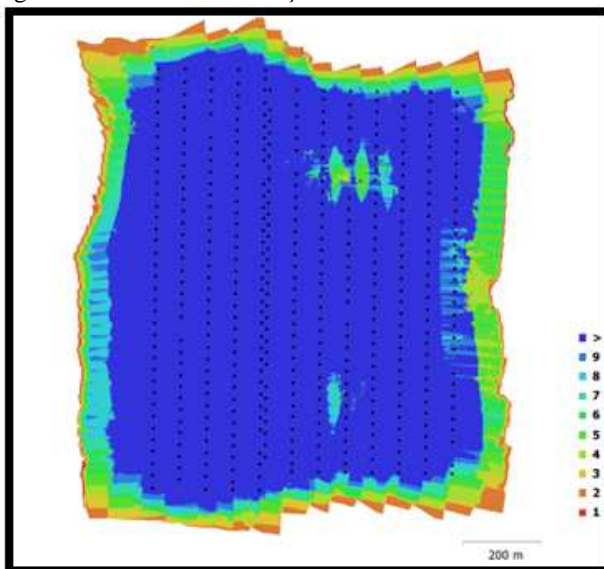


Fig. 6.5. Poziția centrelor de perspectivă ale camerei digitale în momentul înregistrării și acoperirile dintre imagini

The position of the digital camera's perspective centers at the time of recording and the overlaps between images

În cea mai mare parte a zonei studiate, același detaliu din teren a fost înregistrat în peste 9 imagini (fig. 6.5). Totuși, au fost semnalate câteva zone în care înregistrarea s-a realizat în mai puține imagini (3-6) datorită nerespectării suprapunerilor longitudinale și transversale proiectate (fig. 6.5). Zonele în care s-au identificat astfel de deficiențe corespund unor culmi a căror înălțime considerabil mai ridicată față de restul terenului a condus la nerespectarea procentelor de acoperire și datorită înălțimii de zbor mai mică.

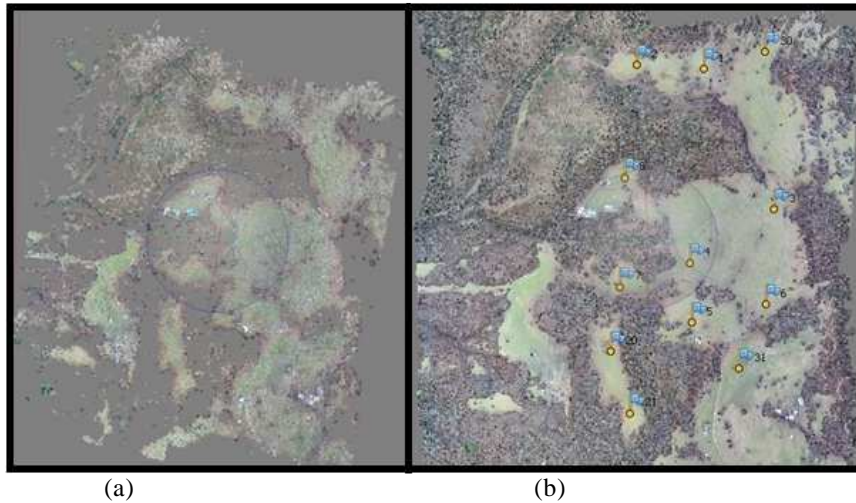
6.5. Prelucrarea imaginilor aeriene și întocmirea ortofotoplanurilor

Procesul de prelucrare s-a bazat pe tehnica SfM, prezentată anterior (§ 5.5.1.) și pe o serie de etape prin care geometria rețelei de imagini este reconstruită. Etapele care au fost parcurse în vederea obținerii ortofotoplanului, cu sau fără reperi fotogrammetrici, au fost tratate pe larg în cazul cercetărilor realizate pentru locația Crizbav (§ 5.5.1 – § 5.5.7). Datorită faptului că nu au existat diferențe în ceea ce privește modul de lucru, programul folosit sau utilizarea parametrilor de prelucrare, în continuare se vor prezenta doar elementele distincte care au stat la baza obținerii ortofotoplanurilor.

În procesul de reconstruire a rețelei celor 446 imagini digitale, folosind tehnica SfM și MVS, programul Agisoft Photoscan a construit un nor rar format din 304711 puncte și un nor dens format din 170455258 puncte (fig. 6.6). Procesul de obținere a norului rar a durat aproximativ 16 minute, iar cel de obținere al norului dens aproximativ 6 ore. Timpul mult mai mic, în cazul obținerii norului rar de puncte s-a datorat faptului că, în cazul pădurii, nu au fost identificate multe trăsături comune în imagini în timpul alinierii acestora. Acest fapt, al lipsei trăsăturilor comune, se va resfrânge într-o oarecare măsură, așa cum se va constata ulterior, asupra preciziei produsului cartografic.

Din analiza norilor de puncte s-a constatat că textura slabă a suprafeței a determinat o descreștere a trăsăturilor comune din imagine. Uniformitatea suprafeței acoperite de pășune și lipsa detaliilor a făcut dificilă identificarea trăsăturilor comune din imagini. Pentru a găsi o corespondență clară dintre imagini se folosesc trăsături sub formă de colțuri (marginii cu gradienti în mai multe direcții), care sunt urmărite de la o imagine la alta. Vegetația este cunoscută ca fiind o cauză a reprezentării slabe a suprafeței pe cale fotogrammetrică (Lane, 2000; Marzloff și Poesen, 2009), deoarece aceasta prezintă puține trăsături de acest fel. De asemenea, s-a constatat o și mai slabă identificare a trăsăturilor comune în suprafețele acoperite cu pădure (fig. 6.6. a). Performanța scăzută a identificării

trăsăturilor comune pentru aceste suprafețe s-a datorat aspectului variabil determinat și de posibilele mișcări ale coroanelor arborilor provocate de vânt în timpul preluării imaginilor.



(a) norul rar de puncte (b) norul dens de puncte cu poziția reperilor fotogrammetrici
Point clouds obtained after the application of SfM and MVS technique
(a) sparse point cloud (b) dense point cloud with GCPs position

Prin rasterizarea norului dens de puncte cu o densitate de 107 puncte/m² s-a obținut MDS-ul (fig. 6.7). Rezoluția spațială a MDS-ului a fost de 9,69 cm/pixel comparabilă cu cea obținută în alte studii realizate în condiții apropiate. De exemplu, Tonkin et al. (2014) au realizat un MDS cu o rezoluție spațială de 8,8 cm pe baza imaginilor preluate de la o înălțime de zbor de 117 m folosind o cameră digitală de 18 MP. De asemenea, Agüera-Vega et al. (2016) au folosit imagini preluate de la diferite înălțimi de zbor (50–120 m), pe baza cărora s-au obținut MDS-uri cu o rezoluție spațială de la 1,2 cm la 2,7 cm.

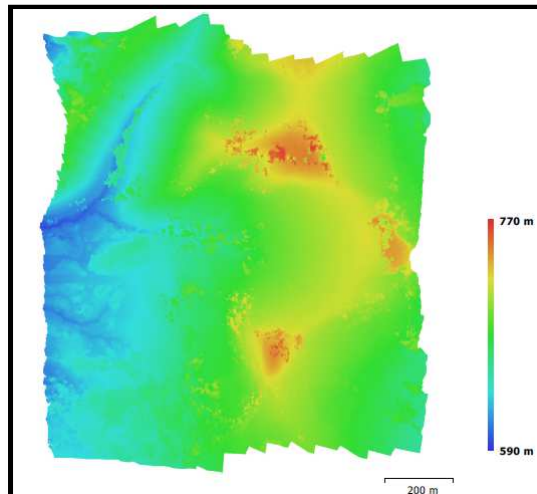


Fig. 6.7. Modelul digital al suprafeței obținut în cazul locației Șinca
Digital surface model of the surface obtained for Șinca place

În final, prin alegerea MDS-ului în vederea ortorectificării imaginilor, proces prin care proiecția perspectivă este transformată în proiecție ortogonală, și folosirea reperilor fotogrammetrici, s-a obținut ortofotoplanul de precizie. În vederea constatării influenței pe care o au reperii fotogrammetrici asupra preciziei s-a obținut și un ortofotoplan fără folosirea acestora, procesul fiind asemănător locației Crizbav (§ 5.5.7.).

6.6. Analiza calității ortofotoplanurilor

6.6.1. Analiza vizuală a calității ortofotoplanurilor

Evaluarea calității ortofotoplanului obținut a presupus, în primul rând, o inspecție vizuală în vederea urmării efectului pe care procesul de ortorectificare îl are asupra imaginilor digitale folosite. Ortofotoplanul a fost verificat în ceea ce privește vederea laterală a detaliilor înalte, liniile întrerupte, dar și din punct de vedere radiometric. În urma vizualizării ortofotoplanului s-a constatat că nu se întâlnesc vederi laterale ale detaliilor, acestea fiind în totalitate proiecții ortogonale, comparativ cu cele din imaginile originale, neprelucrate (fig. 6.8).



Fig. 6.8. Vederea laterală a obiectelor în imaginea neprelucrată (a) și vederea ortogonală a aceluiași detalii pe ortofotoplan (b)

Side view of objects in raw image (a) and orthogonal view of the same details on orthophoto (b)

Având în vedere că în procesul de ortorectificare s-a folosit MDS-ul și nu MDT-ul, imaginile laterale au fost transformate în imagini ortogonale, eliminându-se astfel efectele provocate de proiecția perspectivă. Astfel, dacă în imaginile inițiale detaliile au vederi ușor laterale, în ortofotoplan acestea au fost eliminate.

În urma inspecției vizuale s-au mai constatat diferențe legate de textură și culoare. Acestea se datorează în special valorilor radiometrice diferite ale pixelilor înregistrați pe imagini diferite, dar apropiate, și care nu au fost corectate în procesul de mozaicare. La rândul lor, variațiile radiometrice sunt provocate de unghiul de incidență al razelor solare sub care au fost înregistrate detaliile din teren, dar și datorită unghiului sub care au fost preluate imaginile. De asemenea, după rularea algoritmului de interpolare care a stat la baza obținerii MDS-ului, nu s-au întâlnit muchii sau colțuri rotunjite în cazul construcțiilor existente.

Din inspectarea vizuală a imaginilor s-a dedus că acestea au fost clare, lipsite de zgomot, ceea ce arată că nu au existat disfuncționalități ale senzorului sau condiții atmosferice improprii în momentul înregistrării, raportul semnal-zgomot fiind mare. Astfel, în urma prelucrării imaginilor cu programul Agisoft Photoscan s-a obținut un ortofotoplan pentru care nu au fost identificate probleme majore de tipul liniilor întrerupte, cauzate de lipsa pixelilor sau deformărilor detaliilor din teren pe anumite direcții, detaliile liniare păstrându-și conformația din teren.

6.6.2. Analiza preciziei ortofotoplanurilor

În analiza preciziei obținute în cazul celor două ortofotoplanuri au fost luate în discuție două cazuri: (1) fără folosirea reperilor fotogrammetrici și (2) cu folosirea reperilor fotogrammetrici determinați pe teren.

În primul caz ortofotoplanul s-a obținut prin orientarea imaginilor digitale numai pe baza datelor GNSS de la bordul UAV-ului. Această abordare constituie, în fapt, un indicator al preciziei, care poate fi generalizat pentru cazurile în care avem de-a face cu suprafețe întinse de pădure, unde reperii fotogrammetrici nu pot fi marcați și

determinați. În acest caz, prin folosirea exclusivă a echipamentului GNSS de pe UAV, se poate stabili precizia ortofotoplanului obținut folosind numai aceste date. Această procedură poate fi folosită pentru cartografierea suprafețelor unde se acceptă precizie mai scăzută.

În urma orientării imaginilor numai pe baza datelor GNSS s-a obținut un ortofotoplan cu un RMSE de 0,39 m pe axa X, 6,60 m pe axa Y, corespunzând unei precizii planimetrice de 6,61 m (Anexa 4) (fig. 6.10). Rezultatele obținute sunt asemănătoare altor studii care au folosit UAV-ul pentru preluarea de imagini în vederea întocmirii de ortofotoplanuri. Astfel, preciziile raportate folosind doar sistemul GNSS de la bordul UAV-ului sunt de 0,80 m pentru o înălțime de zbor de 50 m (Koeva et al., 2016) și 1 m (Skarlatos et al., 2013), de 2-4 m pentru o înălțime de zbor cuprinsă între 50–100 m (Eugster și Nebiker, 2007), de 2-8 m pentru o înălțime de zbor cuprinsă între 130– 900 m (Küng et al., 2012) și de 10 m (Kim et al., 2014).

Precizia mai scăzută a ortofotoplanului se datorează, în principal, preciziei mai slabe a datelor furnizate de unitatea GNSS/IMU folosită la înregistrarea poziției fiecărui centru de perspectivă din momentul preluării imaginilor. Precizia mai scăzută pe axa Z se poate datora faptului că UAV-ul înregistrează înălțimea relativă de zbor deasupra zonei de lucru și nu altitudinea absolută dată față de nivelul mării (Ghimbășan și Vorovencii, 2019c).

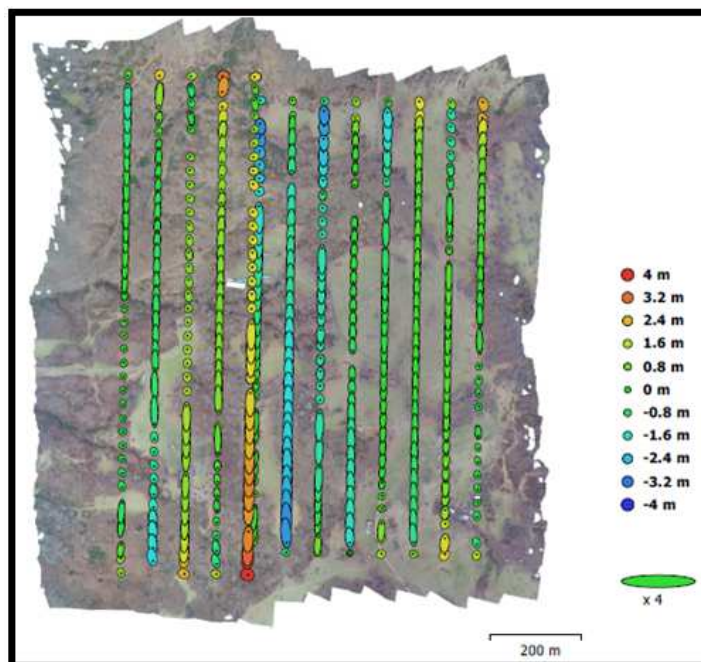


Fig. 6.10. Localizarea poziției camerei în momentul preluării imaginilor și erorile estimate. Eroarea pe axele X și Y sunt reprezentate de forma elipsei. Eroarea pe axa Z este reprezentată de culoarea elipsei. Estimarea poziției centrului de fotografiere este marcată printr-un punct.

Camera locations and estimates error. X, Y errors are represented by ellipse shape. Z error is represented by ellipse color. Estimated shooting centers of cameras location are marked with a dot or crossing

În al doilea caz pentru orientarea imaginilor s-au inclus reperii fotogrammetrici determinați cu precizie ridicată pe teren prin tehnica GNSS. După includerea celor 12 reperii fotogrammetrici în orientarea imaginilor și, implicit la compensarea blocului fotogrammetric, precizia a crescut simțitor, obținându-se un RMSE pe X de 0,82 cm și pe Y 1,18 cm. Dacă luăm în considerare axele X și Y, eroarea planimetrică a fost de 1,43 cm. Legat de variația erorilor pe verticală având în vedere MDS-ul, acestea au fost între limitele $\pm 2,1$ cm (Anexa 5), (fig. 6.11).

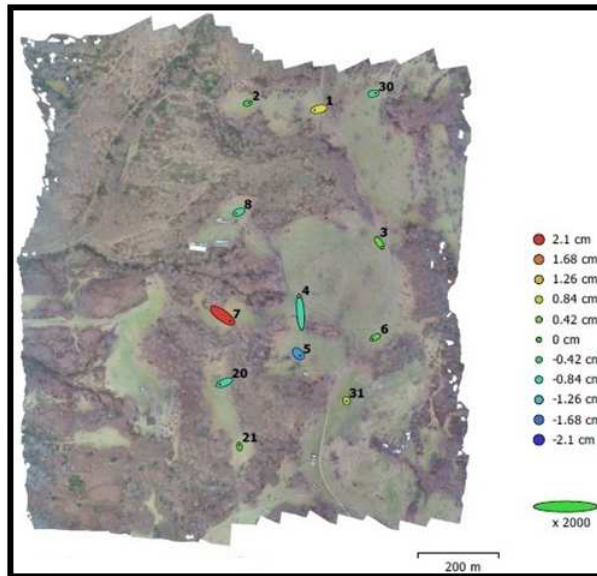


Fig. 6.11. Localizarea reperilor fotogrammetrici și estimarea erorilor. Erorile pe axele X și Y sunt reprezentate de forma elipsei. Eroarea pe axa Z este reprezentată de culoarea elipsei. Estimarea locației reperului este marcată printr-un punct.
GCP location and error estimates. X, Y errors are represented by ellipse shape. Z error is represented by ellipse color. Estimated GCP location are marked with a dot or crossing.

Din rapoartele oferite de programul Agisoft Photoscan la sfârșitul procesării imaginilor s-au centralizat preciziile obținute în cazul celor două ortofotoplanuri (Anexele 4 și 5) (tab. 6.2).

Tabelul 6.2. Preciziile obținute pentru ortofotoplanurile întocmite
Accuracies obtained for the orthophoto

Nr. crt.	Eroarea (m)	Localitatea Crizbav	
		cu reperi fotogrammetrici	fără reperi fotogrammetrici
1	axa X	0,008	0,39
2	axa Y	0,012	6,60
3	axa Z	0,009	1,24
4	axele X și Y	0,014	6,61
5	RMSE	0,017	6,73

Asemănător studiului realizat pentru locația Crizbav (§ 5.6.) și în acest caz a putut fi analizată precizia ortofotoplanului prin compararea coordonatelor detaliilor din imaginea ortofotoplanului cu cele determinate pe cale terestră, numărul lor fiind mai redus datorită inexistenței pe teren. Pe suprafața studiată s-au identificat 18 detalii reprezentate de colțuri de garduri, aerisiri de gaz ș.a. Acestea au fost măsurate pe cale terestră și au folosit la calculul preciziei. Eroarea medie pătratică pe axa X a fost de 6,21 cm, pe axa Y de 5,27 cm, iar eroarea medie pătratică totală în plan orizontal a fost de 8,14 cm.

Din cauza lipsei reperilor fotogrammetrici pentru zona de vest din suprafața studiată nu s-a putut realiza o ajustare corectă a punctelor care formează norul inițial de puncte, georeferențierea și aducerea în scară a norului dens de puncte realizându-se pe baza reperilor aflați la distanțe mari. Această deficiență s-a identificat la compararea

coordonatelor punctelor de control la sol cu coordonatele aceluiași puncte din zona vestică, diferențele fiind cuprinse între 10 cm și 15 cm.

De asemenea, s-au comparat preciziile celor două ortofotoplanuri. Coordonatele aceluiași 18 detalii au fost comparate cu coordonatele extrase din ortofotoplanul obținut fără reperi fotogrammetrici și în acest caz deplasarea totală a fost de 4,45 m.

6.7. Realizarea planului parcelar având ca suport ortofotoplanul

6.7.1. Întocmirea planului parcelar

Conform legislației în vigoare, planul parcelar este reprezentarea grafică a unei tarlale sau a unei porțiuni din aceasta, care conține limitele tuturor parcelelor din tarla, precum și detaliile stabile care o definesc (Ord. 700/2014). După recepționarea acestuia de către inspectorul din cadrul OCPI și atribuirea de numere cadastrale parcelelor cuprinse în plan și înscrierea acestora în Cartea Funciară, acesta se integrează în planul cadastral. În momentul înscrierii, dimensiunile perimetrice ale imobilelor sunt coroborate cu aspectele juridice urmărite de publicitatea imobiliară, care se referă la menționarea actului care a stat la baza dobândirii dreptului de proprietate, numelui deținătorului dreptului de proprietate ș.a.

Metodologia practică pentru a întocmi dosarul documentației planului parcelar nu a fost prezentată în întregime, deoarece din practica curentă se cunoaște faptul că sunt multe aspecte care pot fi aduse în discuție, dar conform celor expuse, prin parcurgerea tuturor etapelor, pentru suprafața studiată s-a întocmit planul parcelar la scara 1:1000. Pentru a surprinde o suprafață mai extinsă s-a considerat ca fiind necesară reprezentarea unui extras din planul parcelar la scara 1:2000 (Anexa 6). Acest plan a fost obținut prin vectorizarea ortofotoplanului urmărind limitele și bazându-ne, în special, pe nuanțele diferite de culoare.

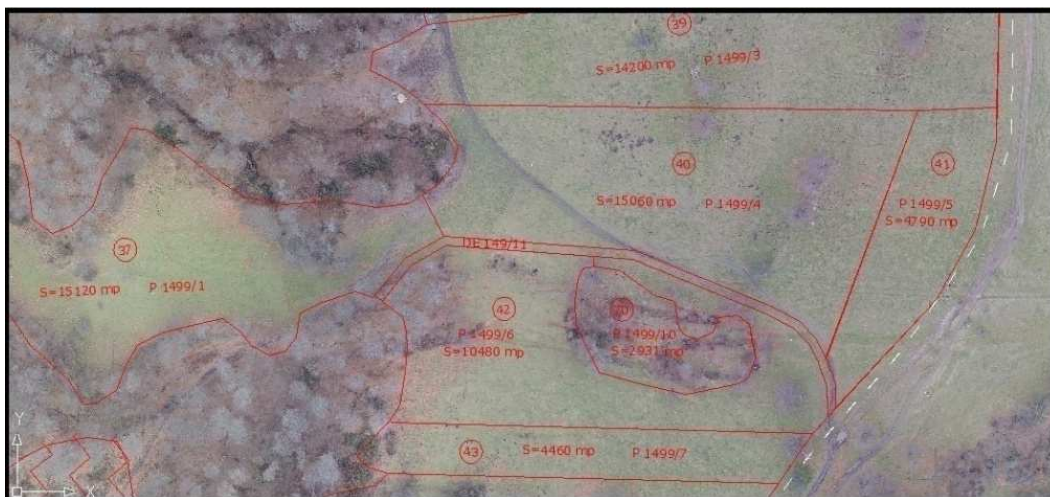


Fig. 6.12. Extras din planul parcelar suprapus pe imaginea ortofotoplanului
Excerpt from the parcelled plan overlapped on the image of orthophotos

Având în vedere anotimpul în care s-a efectuat zborul, au putut fi identificate limitele descrise de arborii dominanți vizibili în imaginea ortofotoplanului datorită lipsei frunzișului (fig. 6.12). Planul obținut în urma vectorizării a fost folosit la compararea coordonatelor punctelor rezultate din vectorizare cu cele din baza de date GIS, considerată de referință. În urma comparării coordonatelor detaliilor vectorizate cu cele determinate pe cale terestră s-a determinat că precizia planului parcelar, dată ca eroare medie pătratică, este de 15,72 cm.

6.7.3. Compararea planului parcelar cu baza de date GIS din amenajamentul silvic

6.7.3.1. Deplasări parțiale, totale și medii

Stabilirea limitelor în care poate fi folosit ortofotoplanul obținut folosind reperi fotogrammetrici necesită o referință clară, a cărei veridicitate să poate fi susținută și de legislația în vigoare. Referința folosită în cazul studiului realizat pentru zona Șinca a fost baza de date GIS a ocolului silvic. Aspectele legate de importanța respectării bazei de date GIS la stabilirea limitei dintre fondul forestier și cel agricol sau terenuri cu altă destinație au fost aduse în discuție și în alte capitole (§ 6.1 și § 6.7.1.).

Din practica curentă se cunoaște faptul că la baza realizării bazei grafice a amenajamentului silvic au stat planurile de bază la scara 1:5000 obținute prin metoda stereorestituției corespunzătoare tehnologiei și metodologiei de lucru a anilor '70. Prin digitizarea acestor planuri s-au stabilit limitele fondului forestier și, implicit, suprafețele acoperite de pădure, dar și de terenurile cu diferite subcategorii de folosință (pepiniere, cantoane ș.a.). Este evident faptul că, în decursul celor aproape 50 de ani, datorită evoluției naturale a vegetației și activității umane, au avut loc modificări, uneori semnificative, a limitelor fondului forestier. Totuși, în unele cazuri aceste modificări au fost surprinse și operate în amenajamentele silvice prin realizarea de măsurători terestre, folosindu-se de cele mai multe ori sisteme GNSS în simplă frecvență cu o precizie nesatisfăcătoare nevoilor cadastrale. Astfel de lucrări au fost locale, digitizarea și vectorizarea planurilor de bază rămânând sursa principală de date la stabilirea limitei.

Baza de date GIS folosită ca referință în realizarea comparației cu planul parcelar vectorizat a fost obținută în mod oficial de la Ocolul Silvic Făgăraș, aceasta fiind realizată pentru Composesoratul de Pădure Mira-Perșani. Planul a fost obținut prin vectorizarea planurilor de bază cu linii de nivel și, pentru anumite porțiuni, unde schimbările erau evidente, s-au realizat măsurători expeditive cu aparatură GNSS în simplă frecvență.

Datorită legislației tot mai restrictive care privește intrările și ieșirile de suprafețe din fondul forestier în fondul altor categorii de terenuri, s-a stabilit ca limita amenajamentului silvic să fie considerată prioritară indiferent de modul de obținere al acesteia, chiar dacă, în multe situații, aceasta nu mai reflectă situația din teren. Mai mult, este reglementat faptul că la întocmirea planurilor parcelare pentru terenurile aflate în fondul forestier sau în fonduri care se învecinează cu acesta, în vederea restituirii suprafețelor preluate în perioada comunistă, să se realizeze o corespondență deplină între limitele din amenajament (analogic sau digital) și cele din planul parcelar. Astfel, limitele din amenajamentul silvic au fost considerate ca referințe în compararea cu limitele stabilite prin vectorizarea ortofotoplanului.

Pentru toate porțiunile din cuprinsul ortofotoplanului în care nu s-au sesizat diferențe considerabile între limita amenajistică și imaginea ortofotoplanului s-a calculat deplasarea totală d_t . În prima fază s-au dedus deplasările parțiale d_x și d_y , folosind aceleași relații ca în cazul studiului realizat pentru locația Crizbav (5.3. și 5.4.), (fig. 5.46).

Deplasările obținute pe cele două axe (X, Y) au fost grupate pe categorii cu intervalul din 20 în 20 cm. Rezultatele obținute au fost reprezentare grafic, acestea distribuindu-se după curba Gauss, asemănător studiului anterior

Pe lângă deplasările parțiale și totale s-a calculat și eroarea medie pătratică a unei singure măsurători (m_0) (5.5.), care are valoarea de $\pm 0,77$ m. De asemenea, s-a calculat eroarea medie a mediei măsurătorilor (m) (5.6.) care are valoarea de $\pm 0,05$ m. Această eroare însoțește întotdeauna media măsurătorilor (M), care din calcul are valoarea de 0,66 m și se prezintă sub forma $M \pm m$. Prin urmare, s-a definit intervalul în care se găsește valoarea adevărată și anume $0,61 \text{ m} < M < 0,71 \text{ m}$.

Limitele dintre pădure și pășune deduse în urma vectorizării ortofotoplanului întocmit și aceleași limite aflate în baza de date a ocolului silvic, în mare parte, nu corespund. Pe baza diferențelor dintre coordonatele limitelor s-au calculat deplasările totale care au fost clasificate pe grupe de 10 cm (fig. 6.19). Folosind aceste grupe s-au determinat numărul de puncte care se încadrează într-o anumită grupă, procentul numărului de puncte care se încadrează într-o anumită grupă și procentul cumulativ corespunzător unei anumite grupe.

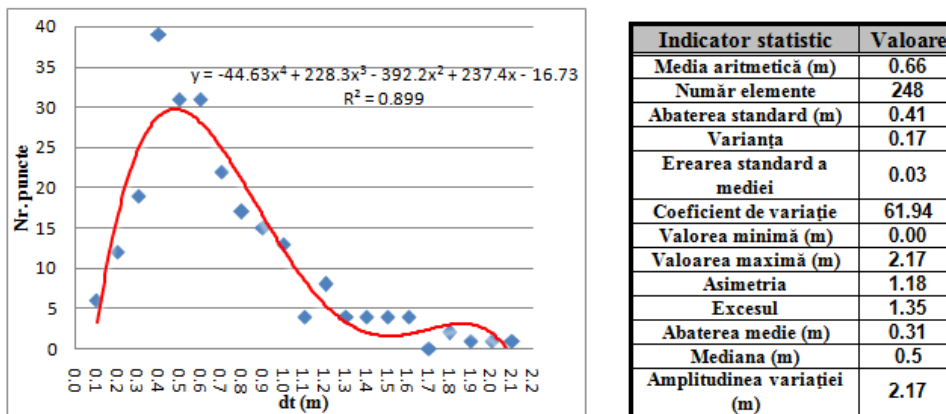


Fig. 6.19. Distribuția deplasărilor totale și parametrii distribuției în cazul identificării limitelor cadastrale dintre pădure și pășune

Distribution of total displacements and distribution parameters for the identification of cadastral boundaries between the forest and grazing lands

Analizând numărul de puncte corespunzător unei anumite grupe și procentul numărului de puncte s-a remarcat faptul că frecvența cea mai mare corespunde grupelor de 30-40 cm, 40-50 cm și 50-60 cm (fig. 6.19). Deplasările totale se aranjează după o curbă Gauss, cu asimetrie de stânga datorită valorii mai ridicate a mediei aritmetice față de valoarea mediane. Valoarea relativ ridicată a coeficientului de variație, de 62%, indică faptul că între limitele deduse prin cele două modalități există variații mari. Dacă se are în vedere toleranța ± 50 cm din normele tehnice din România pentru terenurile din extravilan, primele două grupe nu ar ridica probleme în privința necorespondenței limitelor. În schimb, punctele care se găsesc în cea de-a treia grupă și peste aceasta indică necorespondențe destul de mari între limite. Prin raportare la baza de date GIS, considerată de referință, detaliile au fost vectorizate cu o RMSE de 49 cm pe axa X și de 60 cm pe Y, eroarea planimetrică fiind de 77 cm.

În figura 6.20 este reprezentată distribuția procentelor cumulate corespunzătoare grupelor în care au fost clasificate deplasările totale. Astfel, deplasările totale de până la 50 cm reprezintă 44,77%, cele de până la 1 m 85,77%, iar deplasările până la 2 m un procent de 99,16%. Așadar, numai o parte (44,77%) din limitele aflate în baza de date a ocolului silvic ar putea fi considerate că mai reprezintă situația actuală din teren. Pentru cealaltă parte (55,23%) limitele aflate în baza de date a ocolului silvic nu mai reflectă realitatea ceea ce exprimă necesitatea actualizării limitelor bazei de date folosind produse cartografice recent întocmite, respectiv ortofotoplanuri noi.

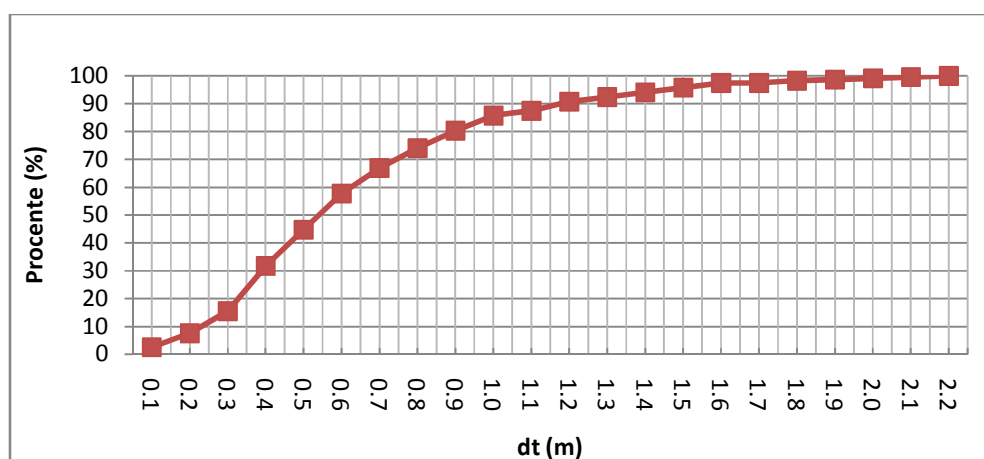


Fig. 6.20. Distribuția procentelor cumulate corespunzătoare grupelor deplasărilor totale

Distribution of percentages cumulated according total displacement groups

6.7.3.2. Identificarea și analiza suprafețelor

Necorespondența limitelor între baza de date a ocolului silvic și cele vectorizate pe ortofotoplan conduce implicit și la diferențe de suprafață dintre terenurile acoperite cu pădure și cele cu pășuni aflate în vecinătate. Suprafața considerată de referință și de la care s-a pornit în determinarea procentuală a schimbărilor dintre cele două categorii de terenuri a fost considerată cea din amenajamentul silvic (21,53 ha) (fig. 6.21 și 6.22).

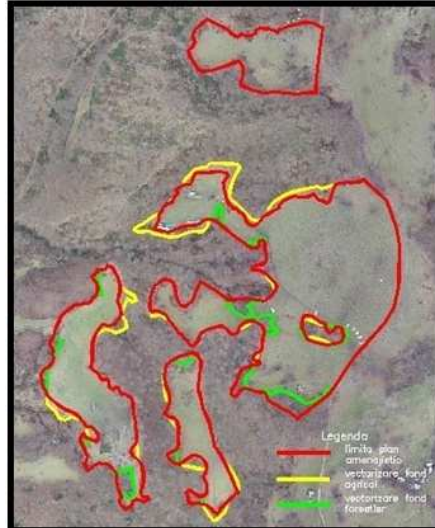


Fig. 6.21. Limitele dintre fondul forestier și terenul agricol deduse din baza de date GIS a ocolului silvic (roșu), prin vectorizarea terenului agricol (galben) și prin vectorizarea fondului forestier (verde)
Boundaries between forestry fond and agricultural land deducted from GIS data base of the forest district (red), by vectorizing the agricultural land (yellow) and by vectorizing the forestry fond (green)

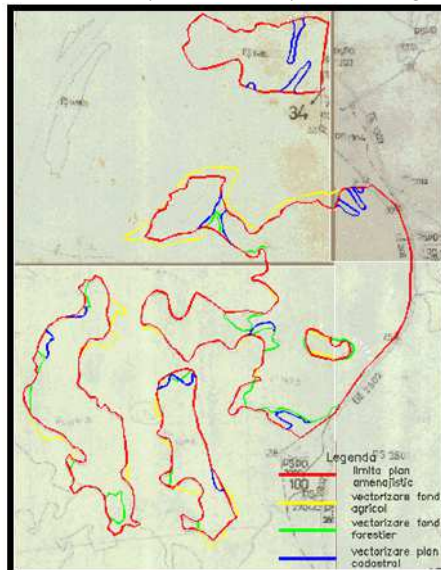


Fig. 6.22. Limitele dintre fondul forestier și terenul agricol deduse din baza de date GIS a ocolului silvic (roșu), prin vectorizarea terenului agricol (galben), prin vectorizarea fondului forestier (verde) și prin vectorizarea planului cadastral (albastru)
Boundaries between forestry fond and agricultural land deducted from GIS data base of the forest district (red), by vectorizing the agricultural land (yellow) and by vectorizing the forestry fond (green) and by vectorizing the cadastral plan (blue)

Suprafața cumulată a tuturor terenurilor în care pădurea s-a extins în defavoarea pășunilor este de 1,23 ha (5,77% din cele 21,53 ha), iar suprafața în care pășunea s-a extins în pădure, datorită intervenției antropice, este de

1,43 ha (6,71% din cele 21,53 ha). În urma analizelor s-a constatat că pășunea s-a extins cu 0,2 ha (0,94% din cele 21,53 ha) în fondul forestier, mărindu-și suprafața de la 21,53 ha la 21,73 ha.

Prin luarea în considerare a suprafețelor medii corespunzătoare celor două situații întâlnite s-a constatat că pentru suprafețele trecute din fondul forestier în pășune s-a calculat o suprafață medie de 685 m², iar pentru suprafețele trecute din pășune în fondul forestier s-a calculat o suprafață medie de 682 m². Aceasta indică faptul că suprafețele ocupate cu pășune în defavoarea pădurii sunt fragmentate, fiind mai mici și mai numeroase.

Pentru comparație cu rezultatele din alte studii, s-a calculat suprafața ocupată cu pășune pe hectar în defavoarea suprafeței ocupate de pădure. Astfel, s-a constatat că, în perioada 1973-2017, la nivelul zonei studiate, evoluția pășunii a fost de 420 m²/ha. Evoluția pășunilor în detrimentul pădurilor a fost de 9,54 m²/ha anual. Rezultatele obținute sunt apropiate altor studii realizate (Molen și Mitchell, 2016), care au stabilit o pierdere anuală de 13 m²/ha la nivel global. America Latină și Africa au suferit cea mai mare pierdere netă a pădurilor, estimată la 43 m² și, respectiv, 40 m²/ha anual, în perioada 2000 – 2005 (FAO, 2005).

6.8. Concluzii

Rezultatele obținute în urma analizării celor două ortofotoplanuri obținute prin folosirea reperilor fotogrammetrici și fără folosirea lor, precum și compararea limitelor vectorizate cu cele oficiale din baza de date GIS a ocolului silvic, au condus la evidențierea unor aspecte importante.

Precizia ortofotoplanului obținut fără folosirea reperilor fotogrammetrici a fost de 6,73 m, iar cu folosirea reperilor fotogrammetrici a fost de 8,14 cm. Așadar, includerea reperilor fotogrammetrici, pe lângă datele GNSS care au determinat poziția fiecărei imagini, în procesul de compensare a blocului fotogrammetric, a crescut simțitor precizia ortofotoplanului. În urma cercetărilor realizate s-a constatat că, indiferent de amplasamentul terenurilor (intravilan sau extravilan), folosirea reperilor fotogrammetrici este absolut necesară. Timpii totali necesari obținerii ortofotoplanurilor au fost de 7 ore 35 minute în cazul folosirii reperilor fotogrammetrici și de 6 ore 58 minute în cazul nefolosirii reperilor fotogrammetrici.

În urma comparării coordonatelor care delimitează fondul forestier din baza de date GIS a ocolului silvic, considerate de referință, cu cele determinate din vectorizarea aceluiași limite s-a constatat că deplasările parțiale pe axele X și Y se distribuie după curba Gauss. Eroarea medie pătratică a unei singure măsurători are valoarea de ±0,77 m, eroarea medie a mediei măsurătorilor de ±0,05 m, iar intervalul în care se găsește valoarea adevărată a mediei este cuprins între 0,61 m și 0,71 m.

Deplasările totale de până la 50 cm reprezintă 44,77%, cele de până la 1 m 85,77%, iar deplasările până la 2 m un procent de 99,16%. Având în vedere că numai un procent de 44,77% din limitele vectorizate se încadrează în limita a 50 cm, acceptată conform legislației în vigoare, se poate deduce faptul că limitele aflate în baza de date a ocolului silvic nu mai reflectă realitatea, ceea ce impune necesitatea actualizării bazei de date folosind produse cartografice actualizate, în speță ortofotoplanuri de dată recentă.

Suprafața cumulată a tuturor terenurilor în care pădurea s-a extins în defavoarea terenurilor cu pășune este de 1,23 ha (5,77% din cele 21,53 ha), iar suprafața în care pășunea s-a extins în pădure, datorită intervenției antropice, este de 1,43 ha (6,71% din cele 21,53 ha). Pentru perioada 1973-2017 s-a înregistrat o evoluție a terenului agricol în detrimentul celui forestier de 9,54 m²/ha anual.

VII. CONCLUZII ȘI CONTRIBUȚII PERSONALE

7.1. Concluzii privind rezultatele obținute

Realizarea planurilor cadastrale pe baza imaginilor achiziționate cu ajutorul sistemelor UAV implică costuri reduse, iar folosirea acestora se impune din ce în ce mai mult date fiind și schimbările socio-economice care au avut loc în România după 1989. În urma acestor schimbări terenurile agricole și forestiere au fost fragmentate foarte mult, ajungând chiar și la până la câteva sute de metri pătrați pentru un imobil. În acest sens, realizarea unei evidențe digitale, folosind tehnici actuale de culegere a datelor geospațiale din teren, cu ajutorul UAV-urilor combinată cu tehnicile terestre, poate constitui o alternativă viabilă. Planurile cadastrale digitale, ca produse finale ale acestor tehnici, realizate la scări mari și cu precizie tot mai ridicată, sunt din ce în ce mai folosite, asigurând atât metritatea produsului cât și posibilitatea folosirii în diferite aplicații. Mai mult decât atât, prin folosirea acestei tehnologii se poate verifica rapid și eficient starea de fapt a unei anumite zone și surprinderea modificărilor apărute în vederea actualizării continue a planurilor cadastrale.

Pentru studiu au fost alese două zone localizate în UAT-uri diferite, Crizbav și Șinca, care surprind două situații distincte reprezentate de o zonă de intravilan din mediul rural și una de extravilan cu fond forestier, pentru care există date oficiale, reprezentative, cu care au fost comparate rezultatele cercetărilor. În ambele cazuri studiate datele au fost culese din teren cu ajutorul tehnicii UAV, pe baza unor planuri de zbor care au cuprins parametri principali din fișa tehnică. UAV-ul a fost un quadcopter de dimensiuni mici, dotat cu o cameră digitală nemetrică care a necesitat o abordare diferită comparativ cu camerele aerofotogrammetrice metrice. Prelucrarea datelor s-a realizat cu programul Agisoft Photoscan care are la bază tehnica SfM. Folosirea acestei tehnici a eliminat necesitatea identificării manuale a punctelor de legătură înaintea prelucrării, bazându-se pe algoritmi de estimare a poziției 3D a camerei pe baza structurilor invariante, simultan cu rezolvarea geometriei imaginilor.

Produsele cartografice pentru ambele locații au fost obținute prin ortorectificarea imaginilor aeriene. Pentru ortorectificare s-a folosit MDS-ul, fapt ce a permis realizarea unei „ortorectificări adevărate”, inclusiv a detaliilor naturale și artificiale de pe suprafața terestră. Așadar, procedeele de prelucrare a imaginilor au permis înlăturarea efectelor produse atât de diferențele de nivel, cât și pe cele de înclinarea axei de fotografiere a camerei.

Precizia ortofotoplanurilor a crescut simțitor în cazul folosirii reperilor fotogrammetrici, pe lângă observațiile GNSS/IMU. De aici se deduce rolul important pe care îl au reperii fotogrammetrici în creșterea preciziei ortofotoplanului, deși determinările din teren necesită timp și costuri suplimentare. Ortofotoplanurile de precizie obținute au fost exploatare în vederea transformării din format raster în format vectorial, sub formă de planuri, și de extragere a datelor calitative și cantitative. În ambele locațiile au putut fi extrase de pe ortofotoplanurile obținute date calitative sau descriptiv-tribute, reprezentate de categorii de terenuri și categorii de folosință, prezentându-se atât cazurile cu identificări sigure cât și cele dificile.

În urma analizelor realizate asupra observațiilor GNSS, a ortofotoplanurilor și a planurilor cadastrale, precum și din compararea datelor extrase, sub formă de coordonate și suprafețe, cu cele de referință, reprezentate de baza de date oficială a ANCPI (în cazul UAT Crizbav) și baza de date GIS a Ocolului Silvic (pentru UAT Șinca), s-au desprins o serie de concluzii.

- Pentru locația Crizbav au fost analizate date geospațiale culese de pe o suprafață din intravilan de aproximativ 45 ha și au fost studiate aproximativ 150 imobile, constatându-se următoarele:
 - Determinarea coordonatelor reperilor fotogrammetrici prin metoda VRS cu durata de înregistrare de 10 minute oferă precizia cea mai bună, dar diferențele de ordin subcentimetric determinate prin comparația cu celelalte metode indică faptul că este suficient un timp de observare de 2 minute pentru a atinge precizile impuse prin normativele în vigoare. Amplasamentul reperilor fotogrammetrici a influențat precizia de poziționare, astfel că reperii amplasați în terenul agricol au fost determinați cu precizie mai ridicată decât cei din intravilan datorită orizontului liber. Numărul reperilor (12) s-a dovedit suficient pentru mărimea suprafeței luate în considerare, iar distribuția acestora a fost aproximativ uniformă. Folosirea acestora la obținerea ortofotoplanului a condus la o precizie calculată de program de 1,06 cm, ceea ce evidențiază că numărul și distribuția lor au fost bine alese.
 - Ortofotoplanul întocmit are o rezoluție spațială de 2,14 cm și o precizie de 2,16 cm și s-a obținut pe baza imaginilor digitale aeriene preluate cu UAV-ul în cadrul a 4 blocuri fotogrammetrice de la înălțimea de zbor de 80 m. Precizia ortofotoplanului s-a stabilit prin folosirea unui număr de 103 puncte de control determinate pe cale terestră. Ortofotoplanul obținut a constituit baza pentru întocmirea planului cadastral. Pe lângă aceasta, ortofotoplanul poate fi arhivat și păstrat, deoarece asigură un dublu rol, de suport cartografic pentru planul cadastral și de imagine a terenului;

- Planul cadastral s-a întocmit la scara 1:500, prin vectorizarea detaliilor din cuprinsul ortofotoplanului care delimitau imobilele la data preluării imaginilor. Precizia planului cadastral este de 5,32 cm și a fost calculată pe baza detaliilor vectorizate și aceleași detalii ridicate în plan pe cale terestră. Realizarea planului cadastral digital vectorizat la scara 1:500 pentru intravilanul terenurilor rurale, comparativ cu planul întocmit la scara 1:1000 sau 1:2000, constituie un mare avantaj prin precizia ridicată asigurată, acuratețea redării detaliilor și efectuarea de măsurători precise după aceste produse cartografice. Suprafața pe care a fost întocmit este limitată deocamdată din cauza tehnicilor de prelucrare a imaginilor care necesită capacitate de stocare și timpuri mari de procesare.
- Analiza comparativă a planului cadastral cu datele oficiale din baza de date eTerra 3 a arătat că numai 15% dintre diferențele între coordonatele obținute după conturul planului cadastral și cele din baza de date oficială se încadrează în toleranța de ± 10 cm acceptată de normativele în vigoare. În ceea ce privește compararea suprafețelor, rezultatele au arătat că diferențele procentuale dintre suprafața calculată după planul cadastral vectorizat și datele oficiale se încadrează în limita a 10%.
- *Pentru locația Șinca* au fost analizate și prelucrate date culese de pe o suprafață de aproximativ 72 ha care aparțin extravilanului și în care se găsește fond forestier, ajungându-se la următoarele concluzii:
 - Ortofotoplanul obținut are o rezoluție spațială de 4,48 cm și o precizie de 8,14 cm. Imaginile au fost preluate de la înălțimea de zbor de 150 m, în cadrul a 2 blocuri fotogrammetrice cu acoperire transversală între ele. Comparativ cu ortofotoplanul întocmit pentru locația Crizbav, ortofotoplanul obținut în cazul locației Șinca are o precizie mai scăzută. Aceasta se datorează, în principal, faptului că nu au existat structuri invariante evidente care să permită alinierea mai sigură a imaginilor în procesul de prelucrare.
 - Planul parcelat s-a obținut după același procedeu folosit la întocmirea planului cadastral. Scara planului parcelar a fost de 1:1000, foarte bună pentru terenurile din extravilan având în vedere faptul că planurile actuale după care se lucrează sunt la scara 1:5000. Precizia planului a fost de 15,72 cm, limitele cadastrale urmărite fiind mai greu de identificat.
 - Analiza planului parcelar în comparație cu datele oficiale din baza de date GIS a ocolului silvic a evidențiat diferențe semnificative în privința limitelor cadastrale. Rezultatele arată că deplasările totale de până la 50 cm reprezintă 44,77%, cele de până la 1 m sunt de 85,77%, iar deplasările până la 2 m de 99,16%. În această situație se poate considera că limitele din baza de date a ocolului silvic nu mai reflectă realitatea, acestea bazându-se pe planurile întocmite în perioada 1972-1986, fiind necesară actualizarea acestora. Neconcordanța acestor limite cu cele din planul parcelar întocmit pe baza imaginilor preluate cu UAV-ul se resfrânge și asupra suprafețelor conducând în final la diferențe între acestea.

Zonele studiate au fost limitate ca întindere datorită tehnicii de culegere a datelor de care s-a dispus. Deși UAV-urile pot prelua multe imagini, numărul trebuie stabilit în funcție de mărimea și complexitatea suprafeței studiate, având în vedere că performanțele calculatorului folosit la procesarea lor constituie factorul limitativ. Pe viitor, odată cu creșterea performanțelor calculatoarelor care prelucrează imaginile, dar și a dezvoltării UAV-urilor și senzorilor de pe acestea se așteaptă ca suprafețele de studiu să fie din ce în ce mai mari. Ortofotoplanurile obținute în ambele locațiile sunt de precizie ridicată, putând fi folosite la întocmirea planurilor cadastrale, la stabilirea limitelor dintre parcele și la surprinderea modificărilor survenite în timp. Planurile cadastrale întocmite pe baza ortofotoplanurilor sunt la scară mare, asigură precizia necesară și satisfac pe deplin nevoile cadastrului din țara noastră.

În final, din cuantificarea tuturor rezultatelor obținute în locația Crizbav și având în vedere că determinările au fost realizate independent față de cele folosite în programul CESAR, se impune necesitatea realizării de lucrări topo-cadastrale în vederea actualizării geometriei imobilelor. Pentru actualizarea limitelor fondului forestier în cazul locației Șinca, conform situației din teren, sunt necesare lucrări geo-topo-fotogrammetrice, ponderea cea mai mare având-o fotogrammetria ca singura tehnică intensivă de întocmire a planurilor cadastrale pe suprafețe întinse, cu precizie ridicată și la costuri reduse.

7.2. Contribuții personale

În urma cercetărilor realizate în cele două zone studiate au fost aduse următoarele contribuții personale:

1. Analiza stării de fapt a situației cadastrului din România și din alte țări europene, precum și prezentarea tendințelor de modernizare a sistemelor cadastrale.

2. Prezentarea, în sinteză, a principalelor sisteme UAV cu referire la tipul acestora, senzorii cu care pot fi echipate și aplicațiile din domeniul cadastrului.
3. Realizarea unei sinteze a sistemelor GNSS folosite în lucrările cadastrale cu referire la tipul acestora, principiile și metodele de determinare a poziției punctelor.
4. Stabilirea metodei de determinare care asigură precizia cea mai ridicată în cazul observațiilor GNSS în timp real și analiza preciziilor în situația conectării la o stație de referință și metodei VRS.
5. Realizarea de zboruri cu tehnica UAV de la înălțimi mici, ca alternativă la zborurile clasice, în vederea preluării de imagini digitale în intravilan și extravilan, care să servească la întocmirea ortofotoplanurilor, ca suport în realizarea planurilor cadastrale.
6. Obținerea de ortofotoplanuri cu rezoluții spațiale și precizii ridicate pe suprafețe restrânse din intravilan și extravilan, în urma prelucrării modelului 3D, folosind tehnicile SfM și MVS.
7. Analiza calității ortofotoplanurilor și a factorilor care influențează tehnicile SfM și MVS în obținerea acestora.
8. Analiza preciziei ortofotoplanurilor obținute cu și fără folosirea reperilor fotogrammetrici în procesul de compensare a blocului fotogrammetric și evidențierea necesității folosirii reperilor pentru georeferențierea imaginilor aeriene, în vederea creșterii preciziei.
9. Întocmirea de planuri cadastrale și parcelare cu o precizie ridicată prin vectorizarea ortofotoplanurilor și extragerea de date descriptiv-atribute și de date cantitative, la scări mai mari decât cele folosite azi, necesare lucrărilor de cadastru.
10. Compararea produselor cartografice obținute, în speță planul cadastral și planul parcelar, cu datele oficiale și evidențierea clară a necesității actualizării suportului cartografic pe care se bazează datele oficiale.
11. Stabilirea unei variante de lucru privind obținerea de planuri cadastrale și parcelare pe suprafețe restrânse și la scări mari, care să vină în sprijinul programelor derulate de ANCP, în vederea introducerii unui număr cât mai mare de imobile în baza de date națională.

BIBLIOGRAFIE

1. Adam J., Banyai L., Borza T., Busics G., Kenyeres A., Krauter A., Takacs B., 2004, *Muholdas Helymeghatározás*, Muegzetemi Kiado, Ungaria, 458 pag.
2. Agarwal S., Snavely N., Simon I., Seitz S.M., Szeliski R., 2009, *Building Rome in a day*. In: 2009 IEEE 12th International Conference on Computer Vision, Sept. 29 2009-Oct. 2 2009, pp.72–79. <http://dx.doi.org/10.1109/ICCV.2009.5459148>.
3. Agüera-Vega F., Carvajal-Ramírez F., Martínez-Carricondo P., 2017, *Accuracy of digital surface models and orthophotos derived from unmanned aerial vehicle photogrammetry*. Journal of Surveying Engineering, 143(2), 04016025.
4. Aykut O.A., Güllal E., Akpınar B., 2015, *Performance of Single Base RTK GNSS Method versus Network RTK*. Earth Sciences Research Journal, 19(2) 135 - 139. <https://doi.org/10.15446/esrj.v19n2.51218>.
5. Barnes G. et al., 2014. *Drones for peace : Part 1 of 2 design and testing of a UAV-based cadastral surveying and mapping methodology in Albania*. In: World bank conference on land and poverty, Washington DC, USA, 24–27 March 2014.
6. Bay H., Ess A., Tuytelaars, T., van Gool L., 2008, *Speeded-up robust features (SURF)*. Comput. Vision Image Understand. 110, 346–359, Similarity Matching in Computer Vision and Multimedia.
7. Birjaru C., 2011, *Cercetări privind utilizarea tehnologiei LiDAR în lucrările de silvicultură*, Rezumat teză doctorat, Braşov, 60 pag.
8. Boş N., 2003a, *Cadastru general*, Editura All Beck, Bucureşti, 362 pag.
9. Boş N., 2003b, *Cartea funciară și expertiza tehnică topo-cadastrală*, Editura All Beck, Bucureşti, 233 pag.
10. Boş, N., Iacobescu, O., 2007, *Topografie modernă*, Ed. C.H. Beck, Bucureşti, 539 pag
11. Boş N., Iacobescu O., 2009, *Cadastru și Cartea funciară*, Editura C.H. Bech, Bucureşti, 401 pag.
12. Brown D., 1971, *Close range camera calibration*. Photogramm. Eng. 37, 855–866.
13. Calonder M., Lepetit V., Strecha C., Fua, P., 2010, *BRIEF: binary robust independent elementary features*. In: Daniilidis, K., Maragos, P., Paragios, N. (Eds.), *Computer Vision—ECCV 2010, Lecture Notes in Computer Science*, vol. 6314. Springer, Berlin Heidelberg, pp. 778–792.
14. Chandraratne G.W., 2016, *Comparative study on Cadastral Surveying using Total Station and High Resolution UAV Image (HRUAVI)*, Institute of surveying and mapping (Diyatalawa) Survey Department of Sri Lanka, Research project.
Available at:
http://a-a-r-s.org/acrs/administrator/components/com_jresearch/files/publications/Ab%200082.pdf
15. Chişea Gh., Kiss A., 2001, *Cadastru general și forestier*, Editura Universităţii Transilvania, Braşov, 242 pag.
16. Chişea G., Kiss A., Vorovencii I., 2003, *Fotogrametrie și Teledetecție*, Editura Universităţii Transilvania, Braşov, 234 pag.
17. Chişea G., Iordache E., Chişea G. C., 2009, *Tehnologii geodezice spațiale. Partea I. Sisteme de poziționare globală (GPS)*, Editura Lux Libris, Braşov.
18. Chişea Gh., Vorovencii I., Mihăilă M., Chişea C.G., 2011, *Topografie. Metode de ridicare în plan*, Editura Lux Libris, 346 pag.
19. Colomina I., Aigner E., Agea A., Pereira M., Vitoria T., Jarauta R., Pascual J., Ventura J., Sastre J., Brechbühler de Pinho G., Derani A., Hasegawa J., 2007, *The uVISION project for helicopter-UAV photogrammetry and remote-sensing*. In: Proceedings of the VII International Geomatic Week, Institute of Geomatics, Barcelona, Spain.
20. Colomina I., Molina P., 2014, *Unmanned Aerial Systems for Photogrammetry and Remote Sensing: A Review - ISPRS Journal of Photogrammetry and Remote Sensing* 92, pp. 79-97.
21. Cramer M., 2013a. *RPAS im Einsatz für die Datenerfassung beim LGL BW*. In: Presentation slides from the UAV Dach meeting, held in Rostock, Germany, 2013.
22. Cramer M., 2013b. *The UAV LGL BW project—a NMCA case study*. In: 54th Photogrammetric Week. Institut für Photogrammetrie, Universität Stuttgart, pp. 165–179.

23. Cramer M., Bovet S., Gültlinger M., Honkavaara E., McGill A., Rijdsdijk M., Tabor M., Tournadre V., 2013, *On the use of RPAS in national mapping—the EuroSDR point of view*. ISPRS – Int. Arch. Photogramm. Remote Sens. Spatial Inform. Sci. XL-1/W2, pp. 93–99.
24. Crommelinck S. C., Bennett, R. H., Gerke, M., Yang, Y., & Vosselman, G., 2017, *Contour detection for UAV-based cadastral mapping*. Remote sensing, 9(2), pp. 1-13. [171]. DOI: 10.3390/rs9020171
25. Crommelinck S. C., Höfle B., Koeva M. N., Yang M. Y., Vosselman G., 2018, *Interactive cadastral boundary delineation from uav data*, ISPRS Annals of the Photogrammetry, Remote Sensing and Spatial Information Sciences, Volume IV-2, 2018 ISPRS TC II Mid-term Symposium “Towards Photogrammetry”, 4–7 June 2018, Riva del Garda, Italy, pp. 81-88. Available at: <https://doi.org/10.5194/isprs-annals-IV-2-81-2018>
26. Cunningham K., Walker G., Stahlke E., Wilson R., 2011, *Cadastral audit and assessments using unmanned aerial systems*. ISPRS – Int. Arch. Photogramm. Remote Sens. Spatial Inform. Sci. XXXVIII-1/C2, pp. 213–216.
27. Deok-In Kim, Yeong-Sun Song, Gihong Kim, Chang-Woo Kim, 2014, *A Study on the Application of UAV for Korean Land Monitoring*, Journal of the Korean Society of Surveying Geodesy Photogrammetry and Cartography 32(1), DOI: 10.7848/ksgpc.2014.32.1.29
28. Esri, 2011, *European Cadastres and National Mapping Agencies*. Available at: <http://www.esri.com/news/arcnews/spring11/articles/european-cadastres-and-national-mapping-agencies.html>
29. Essen H., Johannes W., Stanko S., Sommer R., Wahlen A., Wilcke J., 2012, *High resolution W-band UAV SAR*. In: 2012 IEEE International Geoscience and Remote Sensing Symposium (IGARSS), 22-27 July 2012, pp. 5033–5036. [http:// dx.doi.org/10.1109/IGARSS.2012.6352480](http://dx.doi.org/10.1109/IGARSS.2012.6352480).
30. Eugster H., Nebiker S., 2007, *Geo-registration of video sequences captured from Mini UAVs approaches and accuracy assessment*. In: The 5th international symposium on mobile mapping technology, Padua, Italy, 29–31 May.
31. EuroGeographics, 2011, *Cadastrale iNSPIREd! - Ci! The benefits of Cadastral Information for themes in INSPIRE Annexes II and III*. Available at: http://www.eurogeographics.org/sites/default/files/Cadastrale%20iNSPIREd_%20Final_report_032011_1%5B1%5D.pdf
32. EuroGeographics, 2012a. *Vision document cadastre and land registration in Europe 2012*. Available at: http://www.eurogeographics.org/sites/default/files/EuroGeographics_introductory%20leaflet_A4_2sided_v62.pdf
33. EuroGeographics, 2012b, *Cadastrale and land registry*, Available at: <http://www.eurogeographics.org/about/cadastrale-and-land-registry>
34. Eyndt T., Volkman W., 2013, *UAS as a tool for surveyors: from tripods and trucks to virtual surveying*. GIM Int. 27, pp. 20–25.
35. Food and Agriculture Organization (FAO), 2005, *The state of the world's forests*. Rome, Italy: FAO.
36. Furukawa Y., Ponce J., 2010, *Accurate, dense, and robust multiview stereopsis*. IEEE Transactions on Pattern Analysis and Machine Intelligence, 32 (8), 1362–1376
37. Francisco A. V., Fernando C. R., Patricio M. C., 2017, *Assessment of photogrammetric mapping accuracy based on variation ground control points number using unmanned aerial vehicle*, Measurement, Volume 98, February 2017, pp. 221-227. Available at: <https://doi.org/10.1016/j.measurement.2016.12.002>
38. Ghimbășan A.C., 2013a, *Aspects regarding the using of orthophotomaps in cadastral works*. Journal of Young Scientist, Vol.I, ISSN 2344 - 1283, pp. 211-216.
39. Ghimbășan A.C., Tereșneu C.C., Vorovencii I., 2013b, *Processing LiDAR data to obtain a highly accurate digital model of the terrain*, Studia Universitatis “Vasile Goldiș” Arad, Seria Științe ingineresti și agro-turism, vol. 8, issue 2, pp. 29-33.
40. Ghimbășan A.C., Tereșneu C.C., Vorovencii I., 2015, *Pre-processing and post-processing LiDAR data*, Studia Universitatis “Vasile Goldiș” Arad, Seria Științe ingineresti și agro-turism, vol. 10, issue 1, pp. 7-14.

41. Ghimbășan A.C., 2016, *Determinarea volumului părții inferioare a fusului arborilor pe picior și stivelor de lemn prin procedee specifice fotogrammetriei digitale terestre*, *Revista Pădurilor*, Mai-Aug. 2016, nr. 3-4, pp. 33-40.
42. Ghimbășan A.C., Vorovencii I., Borz S.A., 2017, *Terrestrial photogrammetry applications in the study of different volumes located in the forest fund*, *Proceedings of the Biennial International Symposium Forest and Sustainable Development, Brașov, 7-8 of October 2016*, pp. 47-54.
43. Ghimbășan A.C., Vorovencii I., 2017, *Situation of cadaster and land registry at european and national level*, *Studia Universitatis "Vasile Goldiș" Arad, Seria Științe inginerești și agroturism*, vol. 12, issue 1, pp. 27-32.
44. Ghimbășan A.C., Vorovencii I., 2019a, *Applying GNSS technology for the determination of ground control points used for obtaining the orthophotomaps*, *Studia Universitatis "Vasile Goldiș" Arad, Seria Științe inginerești și agroturism*, în curs de publicare.
45. Ghimbășan A.C., Vorovencii I., Cățeanu M., 2019b, *Using images acquired from a rural area with unmanned aerial vehicle in order to achieve the land and constructions cadaster*, *Bulletin of the Transilvania University of Brașov, Series II: Forestry, Wood Industry, Agricultural Food Engineering*, Vol. 11 (60) No. 2 – 2019, în curs de publicare.
46. Ghimbășan A.C., Vorovencii I., 2019c, *Orthophotos creation using UAV images and SfM – an option for cadaster in Romania*, *Survey Review*, under review.
47. Graça N., Mitishita E., Gonçalves J., 2014, *Photogrammetric mapping using unmanned aerial vehicle*, *The International Archives of the Photogrammetry, Remote Sensing and Spatial Information Sciences*, Volume XL-1, ISPRS Technical Commission I Symposium, 17 – 20 November 2014, Denver, Colorado, USA.
48. Grischa G., Thomas B., Lucilene A. C. M. de Sá, 2007, *Development in the german cadastre*, *Bol. Ciênc. Geod.*, sec. Comunicações, Curitiba, v. 13, no 2, pp. 423-432.
49. Grünreich D., 2000, *Spatial Data Infrastructures and Geoinformation Engineering – Germany's Approach and Experiences*, *United Nations Regional Cartographic Conference for Asia and the Pacific* Available at: <http://www.gsi.go.jp/PCGIAP/kl/germany1.pdf>
50. Gülch E., 2012, *Photogrammetric measurements in fixed wing UAV imagery*. *ISPRS – Int. Arch. Photogramm. Remote Sens. Spatial Inform. Sci.* XXXIX-B1, pp. 381–386.
51. Hawerk W., 2002, *Cadastre 2020 – New Trends in Germany's Cadastre*, *FIG XXII International Congress*, Washington, D.C. USA, April 19-26
52. Harwin S., Lucieer A., 2012, *Assessing the accuracy of georeferenced point clouds produced via multi-view stereopsis from unmanned aerial vehicle (UAV) imagery*. *Remote Sens.* 4, pp. 1573–1599.
53. Hirschmuller H., 2008, *Stereo processing by semiglobal matching and mutual information*. *IEEE Transactions on Pattern Analysis and Machine Intelligence*, 30 (2), pp. 328–341.
54. Kędzierski M., Fryškowska A., Wierzbicki D., Deliś P., 2015, *Cadastral Mapping Based on UAV Imagery*, 15 th International Scientific and Technical Conference "From imagery to map: digital photogrammetric technologies", October 26-29, 2015, Yucatan, Mexico, pp. 12-15. Available at: <http://conf.racurs.ru/images/abstracts/2015/Delis.pdf>
55. Kim D.I., et al., 2014, *A study on the application of UAV for korean land monitoring*. *Journal of the Korean Society of Surveying Geodesy Photogrammetry and Cartography*, 32 (1), 29–38.
56. Koeva M., Muneza M., Gevaert C., Gerke M., Nex F., 2016, *Using UAVs for map creation and updating. A case study in Rwanda*. *Survey Review*, 50 (361), pp. 312–325.
57. Kostrzewa J., Meyer W., Laband S., Terre W., Petrovich P., Swanson K., Sundra C., Sener W., Wilmott J., 2003, *Infrared microsensor payload for miniature unmanned aerial vehicles*. In: *Proc. SPIE 5090, Unattended Ground Sensor Technologies and Applications*, vol. 265. <http://dx.doi.org/10.1117/12.500712>.
58. Khairul Nizam Tahar, Anuar Ahmad, Wan Abdul Aziz Wan Mohd Akib, Wan Mohd Naim Wan Mohd, 2012, *Assessment on Ground Control Points in Unmanned Aerial System Image Processing for Slope Mapping Studies*, *International Journal of Scientific & Engineering Research*, Volume 3, Issue 11, November-2012 ISSN 2229-5518 Available at: <https://pdfs.semanticscholar.org/5774/d5e8fcb1e2e05d24352d03984b26b56e0a77.pdf>

59. Küng O. et al., 2012. *The accuracy of automatic photogrammetric techniques on ultra-light UAV imagery*. In: UAV-g: conference on unmanned aerial vehicle in geomatics. Zurich, Switzerland, 14–16, September 2011.
60. Kurczynski Z., Bakula K., Karabin M., Kowalczyk M., Markiewicz J. S., Ostrowski W., Podlasiak P., Zawieska D., 2016, *The possibility of using images obtained from the UAS in cadastral works*, Int. Arch. Photogramm. Remote Sens. Spatial Inf. Sci., XLI-B1, 909-915, doi:10.5194/isprs-archives-XLI-B1-909-2016
61. Labant S., Kalatovičová L., Kukučka P., Weiss E., 2009, *Precision of GNSS instruments by static method comparing in real time*, ActaMontanisticaSlovaca 14(1), pp. 55-61.
62. Lane S.N., 2000, *The measurement of river channel morphology using digital photogrammetry*. Photogrammetric Record, 16 (96), pp. 937–961.
63. Lillesand T., Kiefer R., 2000, *Remote sensing and Image Interpretation*, Wiley and Sons, New York, 725 pag.
64. Lowe D., 2004, *Distinctive image features from scale-invariant keypoints*. Int. J. Comput. Vision60, pp. 91–110.
65. Manyoky M., Theiler P., Steudler D., Eisenbeiss H., 2011, *Unmanned aerial vehicle in cadastral applications*. Int. Arch. Photogramm. Remote Sens. Spatial Inf. Sci. XXXVIII-1/C22, pp. 57–62.
66. Marzolf I., Poesen, J., 2009, *The potential of 3D gully monitoring with GIS using high-resolution aerial photography and a digital photogrammetry system*. Geomorphology, 111 (1-2), pp. 48–60.
67. Meilin H., Yuanjin P., Hongyan W., Manjian L., 2012, *Based on a single-base station RTK control survey and precision analysis*, World Automation Congress (WAC), Conference Location: Puerto Vallarta, Mexico.
68. Meouche R. E., Hijazi I., Poncet P. A., Mohammed A. N., Rezoug M., 2016, *UAV photogrammetry implementation to enhance land surveying, comparisons and possibilities*, Conference: 3d geo info, Volume: Arch. Photogramm. Remote Sens. Spatial Inf. Sci., XLII-2-W2, pp. 107-114. DOI: 10.5194/isprs-archives-XLII-2-W2-107-2016
69. Molen P., Mitchell D., 2016, *Climate change, land use and land surveyors*, Survey Review, 48:347, 148-155, DOI: 10.1179/1752270615Y.0000000029
70. Morel, J., Yu, G., 2009, *ASIFT: A new framework for fully affine invariant image comparison*. SIAM J. Imaging Sci. 2, pp. 438–469.
71. Motcov A., 2017, *The role of the cadastre and land registration in the interaction with its partners*, Case Study from Moldova Bratislava, 17-18 November 2016.
72. Muntean D.M., 2012, *Cercetări privind utilizarea ortofotoplanurilor ca bază pentru introducerea cadastrului în România*. Teză de doctorat, Universitatea Transilvania din Braşov.
73. Nagai M., Shibasaki R., Manandhar D., Zhao H., 2004, *Development of Digital Surface and Feature Extraction by Integrating Laser Scanner and CCD Sensor with IMU*. ISPRS – Int. Arch. Photogramm. Remote Sens. Spatial Inform. Sci. XXXV-B5, pp. 655–659.
74. Nex F., Remondino F., 2014, *UAV for 3D mapping applications: a review*. Applied Geomatics, 6 (1), pp. 1–15.
75. Oniga V. E., Breaban A. I., Statescu F., 2018, *Control Points for Obtaining High Precision Results Based on UAS Images*, International Electronic Conference on Remote Sensing, 22 March–5 April 2018; Available at: <https://sciforum.net/conference/ecrs-2>.
76. Ordonez Galan C., Rodriguez Perez J.R., Martinez Tores J., Garcia Nieto P.J., 2011, *Analysis of the influence of forestry environments on the accuracy of GPS measurements by using genetic algorithms*. Mathematical and Computer Modelling, Volume 54, Issues 7-8, pp. 1829-1834.
77. Palamariu M., Peuna E. I., Dreghici A. S., 2015, *The use of UAV's in topo-cadastral measurements*, Universitatea “1 Decembrie 1918” din Alba Iulia, RevCAD 18/2015 http://www.uab.ro/geocad/upload/37_459_7_Palamariu_M.pdf
78. Păunescu C., Mocanu V., Dimitriu S.G., 2006, *Sistemul global de poziționare GPS*, Editura Universității din București, 120 pag.
79. Permanent Committee on Cadastre in the European Union (P.C.C.), 2009, *Cadastral information system, a resource for the U.E. policies*. Available at: http://www.eurocadastre.org/pdf/Cadastral%20systems_III_2009.pdf

80. Przybilla H., Wester-Ebbinghaus W., 1979, *Bildflug mit ferngelenkte Kleinflugzeuge*. *Bildmessung und Luftbildwissen* 47, pp. 137–142.
81. Rehak M., Mabillard R., Skaloud J., 2013, *A micro-UAV with the capability of direct georeferencing*. *ISPRS – Int. Arch. Photogramm. Remote Sens. Spatial Inform. Sci.* XL-1/W2, pp. 317–323.
82. Remetey-Fülöpp G., 2004, *Cadastral geographic information systems in Europe*. Available at: <http://www.gsdidocs.org/gsdiconf/GSDI-7/papers/NIgrf.pdf>
83. Remondino F., Barazzetti L., Nex F., Scaioni M., Sarazzi D., 2011, *UAV photogrammetry for mapping and 3D modelling—current status and future perspectives*. *ISPRS – Int. Arch. Photogramm. Remote Sens. Spatial Inform. Sci.*, pp. 25–31.
84. Remy M., de Macedo K., Moreira J., 2012, *The First UAV-based P- and X-band Interferometric SAR System*. *IEEE*, München, Germany, pp. 5041–5044.
85. Rothermel M. et al., 2012, *SURE: photogrammetric surface reconstruction from imagery*. In *Proceedings LC3D workshop*, Berlin (Vol. 8).
86. Rufino G., Moccia A., 2005, *Integrated VIS-NIR Hyperspectral/thermal-IR Electrooptical Payload System for a Mini-UAV*. American Institute of Aeronautics and Astronautics, Arlington, VA, USA, pp. 647–664.
87. Russu A., 1974, *Topografie cu elemente de geodezie și fotogrammetrie*, Editura “CERES”, București, 512 pag.
88. Sang Min, Jae One, 2016, *Accuracy of Parcel Boundary Demarcation in Agricultural Area Using UAV-Photogrammetry*, *Journal of the Korean Society of Surveying, Geodesy, Photogrammetry and Cartography*, Korean Society of Surveying, Geodesy, Photogrammetry, and Cartography, Volume 34, Issue 1, 2016, pp. 53-62.
DOI : 10.7848/ksgpc.2016.34.1.53
89. Seifert M., 2006, *AAA – the Contribution of the AdV in an Increasing European Spatial Data Infrastructure – The German Way*. In: *Shaping the Change XXIII, FIG Congress Munich, Germany, October 8-13*. Available at : http://www.fig.net/pub/fig2006/papers/ts59/ts59_03_seifert_0449.pdf
90. Scherer S., Singh S., Chamberlain L., Elgersma M., 2008, *Flying fast and low among obstacles: methodology and experiments*. *Int. J. Robot. Res.* 27, pp. 549–574.
91. Scholtz A., Kaschwich C., Kruger A., Kufieta K., Schnetter P., Wilkens C., Kruger T., Vorsmann P., 2011, *Development of a new multi-purpose UAS for scientific application*. *ISPRS – Int. Arch. Photogramm. Remote Sens. Spatial Inform. Sci.* XXXVIII-1/C22, pp. 149–154.
92. Schulz H., 2011, *The unmanned mission avionics test helicopter—a flexible and versatile VTOL-UAS experimental system*. *ISPRS – Int. Arch. Photogramm. Remote Sens. Spatial Inform. Sci.* XXXVIII-1/C22, pp. 309–314.
93. Sheilla Ayu R., 2016, *Using unmanned aircraft system images to support cadastral boundary data acquisition in Indonesia*, Phd Thesis, 86 pag.
94. Skarlatos D., Procopiou E., Stavrou G., Gregoriou M., 2013, *Accuracy assessment of minimum control points for UAV photography and georeferencing*, *Proceedings of SPIE - The International Society for Optical Engineering* 8795:14 DOI: 10.1117/12.2028988
Available at:
https://www.researchgate.net/publication/260565124_Accuracy_assessment_of_minimum_control_points_for_UAV_photography_and_georeferencing
95. Smith M.W., Carrivick J.L., Quincey D.J., 2016, *Structure from motion photogrammetry in physical geography*. *Progress in Physical Geography*, 40 (2), pp. 247–275.
96. Snavely N., Seitz S.M., Szeliski R., 2008, *Modeling the world from internet photocollections*. *Int. J. Comput. Vision* 80, pp. 189–210.
97. Statens Kartverk Norwegian Mapping and Cadastre Authority, 2012, *Land administration in Norway*, Available at:
<http://www.kartverket.no/globalassets/om-kartverket/centre-for-property-rights/20120816-land-administration-in-norway-accessible.pdf>
98. Stoter J., Zevenbergen, J., 2001, *Changes in the Definition of Property: A Consideration for a 3D Cadastral Registration System*, *FIG Working Week 2001, TS 27*.
99. Tachiki Y., Yosimura T., Hasegawa H., Mita T., Sakai T., Nakamura F., 2005, *Effects of polyline simplification of dynamic GPS data under forest canopy on area and perimeter estimation*. *Journal of Forest Research* 10: pp. 419-427.

100. Tamaş Ş., Tereşneanu C., 2010, *Concepte și tehnici ale sistemelor de informații geografice*, Editura Lux Libris, Brașov, 268 pag.
101. Tămăioagă Ghe., Tămăioagă D., 2008, *Cadastrul general și Cadastrele de specialitate*, Editura Matrix Rom București, 407 pag.
102. Tonkin T.N. et al., 2014, *The potential of small unmanned aircraft systems and structure-from-motion for topographic surveys: A test of emerging integrated approaches at Cwm Idwal, North Wales*. *Geomorphology*, 226, pp. 35–43.
103. Tereşneanu C.C., 2011, *Some aspects of accuracy of determining the coordinates points in forestry*. În *Studia Universitatis "Vasile Goldiș" Arad, Seria Științe Inginerești și Agro-Turism*, vol. 6, Issue 2, "Vasile Goldiș" University Press, Arad, pp. 7-10.
104. Tereşneanu C.C., Vorovencii I., Vasilescu M.M., 2014, *Statistical study on the accuracy of determining points coordinates in mountain forests from Bran-Brasov, Romania*. In 14th SGEM Geoconference on Informatics, Geoinformatics and Remote Sensing, Conference Proceedings, Vol. 3, pp. 893-900.
105. Tereşneanu C.C., Vasilescu M.M., 2015, *Testing the accuracy of the GPS locations as a pre-requisite of forest cadastre related bordering issues*. În *Lucrările sesiunii științifice naționale "Pădurea și dezvoltarea durabilă"*, Editura Universității Transilvania din Brașov, pp. 348-355.
106. Tetracam, 2012. *MiniMCA*.
107. Triggs B. et al., 2000, *Bundle adjustment - A modern synthesis*. In: Triggs, B., Zisserman, A., Szeliski, R., (Eds). *Vision Algorithms: Theory and Practice*, 21-22 September 1999 Corfu. Berlin: Springer, pp. 298–372.
108. Valstad Tor, 2008, *The Cadastral System of Norway*, Stockholm, Sweden 14-19 June.
109. van Hinsberg W., Rijdsdijk M., Witteveen W., 2013, *UAS for cadastral applications: testing suitability for boundary identification in urban areas*. *GIM Int.* 27, pp. 20– 25.
110. Vorovencii I., 2010, *Fotogrammetrie*, Editura MATRIX ROM, București 2010, 530 pag.;
111. Wallace L., Lucieer A., Watson C., Turner C., 2012, *Assessing the feasibility of UAV based LiDAR for high resolution forest change detection*. *ISPRS – Ann. Photogramm. Remote Sens. Spatial Inform. Sci.* XXXIX-B7, pp. 499–504.
112. Wenzel K., Rothermel M., Fritsch D., 2013, *SURE–The ifp software for dense image matching*. *Photogrammetric Week'13*. Belin: Wichmann/VDE Verlag
113. Wester-Ebbinghaus W., 1980, *Aerial photography by radio controlled model helicopter*. *Photogramm. Rec.* 10, pp. 85–92.
114. Yusoff A. R., Darwin N., Majid Z., Ariff M. F. M., Idris K. M., 2018, *Comprehensive analysis of flying altitude for high resolution slope mapping using UAV technology*, *The International Archives of the Photogrammetry, Remote Sensing and Spatial Information Sciences*, Volume XLII-3/W4, 2018 GeoInformation For Disaster Management (Gi4DM), 18–21 March 2018, Istanbul, Turkey. pp. 583-589.
115. Zhou G., Yang J., Li X., Yang X., 2012, *Advances of flash LiDAR development onboard UAV*. *ISPRS – Ann. Photogramm. Remote Sens. Spatial Inform. Sci.* XXXIX-B3, pp. 193–198.

SITE-URI WEB ACCESATE

116. www.agisoft.com
117. www.ancpi.ro
118. www.astronomy.ro
119. www.aviationchief.com
120. www.cadastre.md/
121. www.clima.md/public/files/Mocreac_Prezentare_cadastrul_funciar.pdf
122. www.dji.com
123. www.e-education.psu.edu
124. www.geografilia.blogspot.com
125. <http://geoportaal.maaamet.ee/eng/Services/Map-Applications/Land-Information-Application-p343.html>
126. <http://geoportal.ancpi.ro/geoportal/catalog/main/home.page?forceLocale=ro>
127. www.gim-international.com/content/news/germany-s-progress-towards-a-multi-dimensional-cadastre
128. www.gps.gov

129. www.helicam.ro
130. www.intechopen.com
131. www.leica-geosystems.com
132. www.meteoweb.eu
133. www.russianspaceweb.com
134. www.scrigroup.com/sanatate/Stereorestitutia-analogica93619.php
135. www.teamnet.ro
136. www.wikipedia.ro

LEGISLAȚIE

- *Legea nr. 7/1996, a cadastrului și publicității imobiliare*, republicată în 2006 și actualizată în 2011;
- *Legea 18/1991, a fondului funciar*, actualizată prin Legea nr. 169/1997;
- *Hotărârea Guvernului nr. 1210/2001*, privind *organizarea și funcționarea Agenției Naționale de Cadastru și Publicitate Imobiliară* cu modificările ei ulterioare;
- *Ordinul MAP nr. 534/2001* privind *probarea Normelor tehnice* pentru introducerea cadastrului general cu numeroase completări și actualizări începute din anul 2004 și continuate în prezent;
- *Ordinul 700/2014* privind aprobarea Regulamentului de avizare, recepție și înscriere în evidențele de cadastru și carte funciară;
- *HG nr. 294/2015* - aprobarea Programului national de cadastru si carte funciara 2015-2023
- *O.U.G. nr. 35/2016* privind modificarea și completarea Legii cadastrului și a publicității imobiliare nr. 7/1996 – modificări (Legea nr. 243/2016);
- *Ordinul 1280/2016 al ANCPI* cu privire la închiderea vechilor evidențe de cadastru și publicitate imobiliară cu privire la imobilele situate în unitatea administrativ-teritorială Crizbav, județul Brașov, ca urmare a finalizării lucrărilor sistematice de cadastru și deschiderii noilor cărți funciare
- *legea nr. 247/2005* privind reforma în domeniile proprietății și justiției, precum și unele măsuri adiacente;
- *legea 165/2013* privind măsurile pentru finalizarea procesului de restituire, în natură sau prin echivalent, a imobilelor preluate în mod abuziv în perioada regimului comunist în România
- *H.G. nr.890/2005* pentru aprobarea Regulamentului privind procedura de constituire, atribuțiile și funcționarea comisiilor pentru stabilirea dreptului de proprietate privată asupra terenurilor, a modelului și modului de atribuire a titlurilor de proprietate, precum și punerea în posesie a proprietarilor

Rezumat

Evidența cadastrală a terenurilor și a dinamicii acestora constituie o cerință esențială în realizarea activităților socio-economice ale unei țări. În cadrul tezei de doctorat s-a analizat modul de întocmire al ortofotoplanurilor utilizând imagini aeriene preluate cu Unmanned Aerial Vehicle (UAV) și prelucrate cu programul Agisoft Photoscan bazat pe principiul Structurii din Mișcare (Structure from Motion-SfM). Zonele studiate fac parte din terenuri din fondul forestier (Șinca) și din intravilanul localităților rurale (Crizbav). Dată fiind diversitatea situațiilor existente la noi în țară, au fost alese spre studiere cele mai complexe probleme datorită gradului mare de detalii din zona intravilană și a dificultăților întâlnite în fondul forestier.

În ambele locații au fost preluate imagini cu UAV-ul DJI Phantom 4 PRO pe suprafețe de ordinul zecilor de hectare și s-au întocmit ortofotoplanuri cu precizia de 2,16 cm (Crizbav) și de 8,14 cm (Șinca), acestea fiind folosite ca bază pentru întocmirea planurilor cadastrale. Ortofotoplanurile obținute au fost analizate calitativ și cantitativ, fiind studiați factorii care influențează precizia acestora, deformațiile observate în imaginea ortofotoplanurilor și modul cum pot fi reduse. De asemenea, au fost analizate diferențele dintre datele obținute prin vectorizarea ortofotoplanurilor întocmite și datele de referință existente în baza de date oficială a ANCPI (Crizbav) și baza de date GIS a Ocolului Silvic (Șinca). Rezultatele au arătat că tehnica UAV constituie o nouă oportunitate în preluarea de imagini aeriene pentru obținerea ortofotoplanurilor cu rezoluție spațială și precizie ridicată, folosite ca bază la întocmirea planurilor cadastrale necesare implementării și derulării programelor de cadastru și carte funciară în vederea introducerii unui număr cât mai mare de imobile în baza de date digitală națională.

Summary

Cadastral evidence of lands and their dynamic is an essential request in achieving the economic-social activities of a country. The PhD thesis analyzed the way of obtaining orthophotos using aerial images taken with Unmanned Aerial Vehicle (UAV) and processed with the Agisoft Photoscan software based on the principle Structure from Motion-SfM. The areas studied are part of the forestry fond (Șinca) and the build-up area of rural locality (Crizbav). Given the diversity of situations from our country, I chose to research the most complex issues due to the high degree of details from the build-up area and the difficulties encountered in the forestry fond.

In both localities images have been taken with UAV DJI Phantom 4 PRO on surfaces of tens of hectares and orthophotos have been made with an accuracy of de 2,16 cm (for Crizbav) and 8,14 cm (for Șinca), being used as foundation for making the cadastral plans. The orthophotos obtained have been analyzed from the qualitative and quantitative point of view, being studied the factors that influenced their accuracy, the deformations observed in the orthophotos' image and the way they can be reduced. Also, the differences have been analyzed between the data obtained by vectorization of made orthophotos and the existent reference data from the official database of ANCPI (Land Registry Office) (Crizbav) and the database of Forestry GIS (Șinca). The results have shown that UAV techniques are a new opportunity to process aerial images in order to obtain orthophotos with space resolution and high accuracy, used as foundation for cadastral plans necessary for the implementation and performance of cadaster programs and land register for the purpose of introducing a high number of real estates in the national digital database.

CURRICULUM VITAE

1. **Nume:** GHIMBĂȘAN
2. **Prenume:** ADRIAN-COSMIN
3. **Data și locul nașterii:**
4. **Cetățenie:** ROMÂNĂ
5. **Studii:**
Universitare/postuniversitare/doctorat



Instituția	Univ. Transilvania	Univ. Transilvania	Univ. Transilvania
Perioada:	2009-2013	2013-2015	2015-prezent
Grade sau diplome obținute	INGINER GEODEZ	INGINER DIPLOMAT	-

6. Experiența profesională și didactică

Funcția	Inginer geodez	Inspector cadastru	Doctorand
Perioada	2013-2018	2018-prezent	2015-prezent
Instituția	S.C. GEO TOP S.R.L.	OCPI Brașov	Univ. Transilvania
Locul	S.C. GEO TOP S.R.L.	OCPI Brașov	Facultatea de Silvicultură

7. Limbi străine cunoscute

ENGLEZĂ ȘI FRANCEZĂ

8. Lucrări publicate în reviste de specialitate

1. Ghimbășan A.C., 2013a, *Aspects regarding the using of orthophotomaps in cadastral works*. Journal of Young Scientist, Vol.I, ISSN 2344 - 1283, pp. 211-216.
2. Ghimbășan A.C., Tereșneu C.C., Vorovencii I., 2013b, *Processing LiDAR data to obtain a highly accurate digital model of the terrain*, Studia Universitatis "Vasile Goldiș" Arad, Seria Științe inginerești și agro-turism, vol. 8, issue 2, pp. 29-33.
3. Ghimbășan A.C., Tereșneu C.C., Vorovencii I., 2015, *Pre-processing and post-processing LiDAR data*, Studia Universitatis "Vasile Goldiș" Arad, Seria Științe inginerești și agro-turism, vol. 10, issue 1, pp. 7-14.
4. Ghimbășan A.C., 2016, *Determinarea volumului părții inferioare a fusului arborilor pe picior și stivelor de lemn prin procedee specifice fotogrammetriei digitale terestre*, Revista Pădurilor, Mai-Aug. 2016, nr. 3-4, pp. 33-40.
5. Ghimbășan A.C., Vorovencii I., Borz S.A., 2017, *Terrestrial photogrammetry applications in the study of different volumes located in the forest fund*, Proceedings of the Biennial International Symposium Forest and Sustainable Development, Brașov, 7-8 of October 2016, pp. 47-54.
6. Ghimbășan A.C., Vorovencii I., 2017, *Situation of cadaster and land registry at european and national level*, Studia Universitatis "Vasile Goldiș" Arad, Seria Științe inginerești și agro-turism, vol. 12, issue 1, pp. 27-32.
7. Ghimbășan A.C., Vorovencii I., 2019a, *Applying GNSS technology for the determination of ground control points used for obtaining the orthophotomaps*, Studia Universitatis "Vasile Goldiș" Arad, Seria Științe inginerești și agro-turism, în curs de publicare.
8. Ghimbășan A.C., Vorovencii I., Cățeanu M., 2019b, *Using images acquired from a rural area with unmanned aerial vehicle in order to achieve the land and constructions cadaster*, Bulletin of the Transilvania University of Brașov, Series II: Forestry, Wood Industry, Agricultural Food Engineering, Vol. 11 (60) No. 2 – 2019, în curs de publicare.
9. Ghimbășan A.C., Vorovencii I., 2019c, *Orthophotos creation using UAV images and SfM – an option for cadaster in Romania*, Survey Review, under review.

CURRICULUM VITAE

1. Surname:

GHIMBĂȘAN

2. First name:

ADRIAN-COSMIN

3. Date and place of birth:

4. Nationality:

ROMANIAN

5. Studies:

Bachelor/Master/PhD



Institution	“Transilvania” University	“Transilvania” University	“Transilvania” University
Period: from (year) until (year)	2009-2013	2013-2015	2015-present
Degrees or Diplomas obtained	GEODETIC ENGINEER	DIPLOMATE ENGINEER	-

6. Professional and educational experience

Position	Geodetic Engineer	Cadaster Inspector	PhD-candidate
Period	2013-2018	2018-present	2015-present
Institution	S.C. GEO TOP S.R.L.	Land Registry Office of Brașov	“Transilvania” University
Place	S.C. GEO TOP S.R.L.	Land Registry Office of Brașov	Faculty of Silviculture

7. Foreign languages known

ENGLISH AND FRENCH

8. Works published in specialty magazines

1. Ghimbășan A.C., 2013a, *Aspects regarding the using of orthophotomaps in cadastral works*. Journal of Young Scientist, Vol.I, ISSN 2344 - 1283, pp. 211-216.
2. Ghimbășan A.C., Tereșneu C.C., Vorovencii I., 2013b, *Processing LiDAR data to obtain a highly accurate digital model of the terrain*, Studia Universitatis “Vasile Goldiș” Arad, Seria Științe inginerești și agro-turism, vol. 8, issue 2, pp. 29-33.
3. Ghimbășan A.C., Tereșneu C.C., Vorovencii I., 2015, *Pre-processing and post-processing LiDAR data*, Studia Universitatis “Vasile Goldiș” Arad, Seria Științe inginerești și agro-turism, vol. 10, issue 1, pp. 7-14.
4. Ghimbășan A.C., 2016, *Determinarea volumului părții inferioare a fusului arborilor pe picior și stivelor de lemn prin procedee specifice fotogrammetriei digitale terestre*, Revista Pădurilor, Mai-Aug. 2016, nr. 3-4, pp. 33-40.
5. Ghimbășan A.C., Vorovencii I., Borz S.A., 2017, *Terrestrial photogrammetry applications in the study of different volumes located in the forest fund*, Proceedings of the Biennial International Symposium Forest and Sustainable Development, Brașov, 7-8 of October 2016, pp. 47-54.
6. Ghimbășan A.C., Vorovencii I., 2017, *Situation of cadaster and land registry at european and national level*, Studia Universitatis “Vasile Goldiș” Arad, Seria Științe inginerești și agro-turism, vol. 12, issue 1, pp. 27-32.
7. Ghimbășan A.C., Vorovencii I., 2019a, *Applying GNSS technology for the determination of ground control points used for obtaining the orthophotomaps*, Studia Universitatis “Vasile Goldiș” Arad, Seria Științe inginerești și agro-turism, în curs de publicare.
8. Ghimbășan A.C., Vorovencii I., Cățeanu M., 2019b, *Using images acquired from a rural area with unmanned aerial vehicle in order to achieve the land and constructions cadaster*, Bulletin of the Transilvania University of Brașov, Series II: Forestry, Wood Industry, Agricultural Food Engineering, Vol. 11 (60) No. 2 – 2019, în curs de publicare.
9. Ghimbășan A.C., Vorovencii I., 2019c, *Orthophotos creation using UAV images and SfM – an option for cadaster in Romania*, Survey Review, under review.